

เครื่องเปลี่ยนเสียงโทรศัพท์

Voice Telephone Changer

โดย



พงศธร เจริญเนติศาสตร์
สุวัฒน์ พิเศษชีพ

เลขหมู่.....
เลขทะเบียน... 42660
วัน, เดือน, ปี... 6 ส.ย. 2545

| |
|---------|
| .b..... |
| .i..... |

ปริญญาบัตรนี้เป็นส่วนหนึ่งของศึกษาตามหลักสูตรปริญญาอุตสาหกรรมศาสตรบัณฑิต
สาขาเทคโนโลยีอิเล็กทรอนิกส์
ภาควิชาเทคนิคอุตสาหกรรม
คณะวิศวกรรมศาสตร์
สถาบันเทคโนโลยีพระจอมเกล้าเจ้าคุณทหารลาดกระบัง
ปีการศึกษา 2543

หัวข้อปริญญานิพนธ์

เครื่องเปลี่ยนเสียงโทรศัพท์

Voice Telephone Changer

นักศึกษา

นายพงศธร เจริญเนติศาสตร์

เลขประจำตัว

41013454

นายสุวัฒน์ พิเศษชีพ

เลขประจำตัว

41013476

อาจารย์ที่ปรึกษา

อาจารย์วิรัช สุรพัฒน์

ภาควิชา

เทคนิคอุตสาหกรรม

ปีการศึกษา

2543

คณะวิศวกรรมศาสตร์ สถาบันเทคโนโลยีพระจอมเกล้าเจ้าคุณทหารลาดกระบัง อนุมัติให้นับปริญญานิพนธ์ฉบับนี้เป็นส่วนหนึ่งของการศึกษาตามหลักสูตรอุตสาหกรรมศาสตรบัณฑิต

คณะกรรมการสอบปริญญานิพนธ์

.....(ประธานกรรมการ)

(.....)

.....(กรรมการ)

(.....)

.....(กรรมการ)

(.....)

.....(กรรมการ)

(.....)

.....(กรรมการ)

(.....)

ลิขสิทธิ์ของคณะวิศวกรรมศาสตร์ สถาบันเทคโนโลยีพระจอมเกล้าเจ้าคุณทหารลาดกระบัง

| | | |
|------------------|-----------------------------|----------------------|
| หัวข้อปริญญาบัตร | เครื่องเปลี่ยนเสียงโทรศัพท์ | |
| | Voice Telephone Changer | |
| นักศึกษา | นายพงศธร เจริญเนติศาสตร์ | เลขประจำตัว 41013454 |
| | นายสุวัฒน์ พิเศษชีพ | เลขประจำตัว 41013476 |
| อาจารย์ที่ปรึกษา | อาจารย์วิชัย สุรพัฒน์ | |
| ภาควิชา | เทคนิคอุตสาหกรรม | |
| ปีการศึกษา | 2543 | |

บทคัดย่อ

ปริญญาบัตรฉบับนี้ ได้นำเสนอวิธีการในการสร้างเครื่องโทรศัพท์ให้มีความสามารถพิเศษเพิ่มขึ้น คือสามารถเปลี่ยนเสียงพูด ทำให้คู่สนทนาไม่สามารถจำเสียงได้ว่ากำลังพูดอยู่กับใคร ในโครงงานนี้ ประกอบไปด้วยการทำงานของวงจรอยู่ 2 ส่วน

ส่วนที่ 1 เป็นส่วนของวงจรที่ทำหน้าที่รับส่งสัญญาณเสียง และส่วนที่ 2 เป็นส่วนที่ทำหน้าที่เปลี่ยนเสียงพูด โครงงานนี้สามารถเลือกส่งสัญญาณเสียงปกติ หรือเสียงที่ถูกทำให้เปลี่ยนไปได้ โดยเสียงที่ถูกเปลี่ยนจะมีความถี่และความเร็วเปลี่ยนไปจากเสียงพูดเดิม

จากการทดลองพบว่าวงจรที่ออกแบบสามารถทำงาน ได้ตรงตามวัตถุประสงค์

| | | |
|----------------------|-------------------------------|-------------|
| Thesis Title | Voice Telephone Changer | |
| Student | Mr.Pongsathon Charoennatisart | ID 41013454 |
| | Mr.Suwat Phisatechep | ID 41013476 |
| Advisor | Mr.Wichai Surapat | |
| Academic Year | 2000 | |

ABSTRACT

This project present an invention of special function telephone which is capable for performing the change of voice which person on the other end would not recognize who is speaking. This project consists of 2 parts of circuit : Part 1 ; Receiver Part 2 ; Voice changer This project has the choices of transmit normal voice or transmit voice that have been changed with frequency and speed from original voice.

กิตติกรรมประกาศ

ปริญญาานิพนธ์ฉบับนี้สำเร็จลุล่วงได้ดี ด้วยคำแนะนำและคำปรึกษาเกี่ยวกับการเขียน
ปริญญาานิพนธ์จาก อาจารย์วิรัช สุรพัฒน์ และทางภาคเทคนิคอุตสาหกรรม ซึ่งเป็นอาจารย์ที่ปรึกษา
คณะผู้จัดทำรู้สึกซาบซึ้งในความอนุเคราะห์จากท่าน และขอกราบขอบพระคุณเป็นอย่างสูง

ขอขอบคุณครูอาจารย์ทุกท่านที่ประสิทธิ์ประสาทวิชา

ขอบคุณเพื่อน ๆ ทุกคนที่ให้กำลังใจและให้ความช่วยเหลือ ด้วยดีตลอดมา

ขอบคุณบิดา มารดา ผู้ให้กำเนิด และโอบอุ้มเลี้ยงดู ส่งเสริมเล่าเรียน

คุณค่าและประโยชน์อันพึงมีจากคู่มือฉบับนี้ ผู้จัดทำขอขอบแต่ผู้มีพระคุณทุกท่าน

นายพงศธร เจริญเนติศาสตร์

นายสุวัฒน์ พิเศษชีพ

สารบัญ

| | หน้า |
|---|------|
| บทคัดย่อภาษาไทย | ก |
| บทคัดย่อภาษาอังกฤษ | ข |
| กิตติกรรมประกาศ | ค |
| สารบัญ | ง |
| สารบัญตาราง | จ |
| สารบัญรูป | ฉ |
| บทที่ 1. บทนำ | 1 |
| บทที่ 2. ทฤษฎีและหลักการ | 2 |
| 2.1 ระบบโทรศัพท์ | 2 |
| 2.2 สัญญาณพื้นฐานในระบบโทรศัพท์ | 2 |
| 2.3 เครื่องโทรศัพท์ | 6 |
| 2.4 การเปลี่ยนเสียง | 23 |
| บทที่ 3 แนวทางการออกแบบและการสร้าง | 32 |
| 3.1 ส่วนของตัวเครื่องโทรศัพท์ | 32 |
| 3.2 ส่วนของวงจรเปลี่ยนเสียง | 36 |
| 3.3 การเชื่อมต่อวงจรเปลี่ยนเสียงกับวงจรโทรศัพท์ | 37 |
| บทที่ 4 การทดลองและผลการทดลอง | 38 |
| 4.1 การทดลองชุดเครื่องโทรศัพท์ | 38 |
| 4.2 การทดลองชุดเปลี่ยนเสียง | 40 |
| บทที่ 5 บทสรุปและวิจารณ์ | 43 |
| บรรณานุกรม | 44 |
| ภาคผนวก ก รายละเอียดของวงจร | 46 |
| ภาคผนวก ข คู่มือไอซี | 50 |

สารบัญตาราง

| ตารางที่ | หน้า |
|--|------|
| 2.1 แสดงความสัมพันธ์ระหว่างโหมดการทำงานกับลอจิกของ MUTE และ MS | 16 |
| 2.2 แสดง 4 บิตดิจิตอลทูอนาล็อก | 26 |
| 2.3 Truth – table for D/A Converter | 29 |
| 2.4 Truth – table for A/D Converter | 31 |

สารบัญรูป

| รูปที่ | หน้า |
|---|------|
| รูปที่ 2.1 การเชื่อมต่อระหว่างเครื่องโทรศัพท์กับคู่สายโทรศัพท์ | 3 |
| รูปที่ 2.2 แสดงพื้นฐานของเครื่องโทรศัพท์ | 5 |
| รูปที่ 2.3 ผังของเครื่องรับโทรศัพท์ | 6 |
| รูปที่ 2.4 แสดงค่าป้องกันค่าแรงดันสูงๆและการกลับขั้ว | 8 |
| รูปที่ 2.5 ผังภายในของ MC34114 | 9 |
| รูปที่ 2.6 วงจรสมมุติของการอินเตอร์เฟสกับคู่สายโทรศัพท์ | 10 |
| รูปที่ 2.7 กราฟแสดงความสัมพันธ์ระหว่าง V_r, I_r, V_{cc} | 10 |
| รูปที่ 2.8 กราฟแสดงความสัมพันธ์ระหว่างอัตราขยายของ AGC และแรงดันที่ขา 9 | 11 |
| รูปที่ 2.9 กราฟแสดงความสัมพันธ์ระหว่าง V_{dd} และ I_{dd} | 12 |
| รูปที่ 2.10 วงจรส่วนอินพุทของ MC34114 | 12 |
| รูปที่ 2.11 ผังและอุปกรณ์ภายนอกของ MC34114 | 14 |
| รูปที่ 2.12 เครื่องโทรศัพท์และการเชื่อมต่อชุมสาย | 18 |
| รูปที่ 2.13 การกำเนิดสัญญาณหมายเลขแบบ Dial Pulse | 18 |
| รูปที่ 2.14 วงจรผลิตสัญญาณ DTMF โดยไอซี TCM5087 | 20 |
| รูปที่ 2.15 วงจรกระดิ่ง | 21 |
| รูปที่ 2.16 Electronic Ringer | 22 |
| รูปที่ 2.17 ผังการทำงานของชุดเปลี่ยนเสียง | 23 |
| รูปที่ 2.18 การใช้ A/D และ D/A Converter ในระบบอิเล็กทรอนิกส์ | 23 |
| รูปที่ 2.19 D/A Converter | 25 |
| รูปที่ 2.20 Binary ladder | 27 |
| รูปที่ 2.21 Op-Amp | 28 |
| รูปที่ 2.22 วงจร D/A Converter | 30 |
| รูปที่ 2.23 A/D Converter | 30 |

สารบัญรูป (ต่อ)

| รูปที่ | หน้า |
|--|------|
| รูปที่ 3.1 ผังของโครงการที่ได้สร้าง | 32 |
| รูปที่ 3.2 วงจรเสียงพูด | 33 |
| รูปที่ 3.3 วงจรกระดิ่ง | 34 |
| รูปที่ 3.4 วงจรรวมของเครื่องโทรศัพท์ | 35 |
| รูปที่ 3.5 วงจรรวมชุดเปลี่ยนเสียงพูด | 36 |
| รูปที่ 3.6 ผังแสดงการเชื่อมต่อระหว่างชุดเปลี่ยนเสียงพูดกับวงจรโทรศัพท์ | 37 |
| รูปที่ 4.1 เอาท์ของวงจรเสียงพูดเมื่อป้อนสัญญาณขาเข้าแอมพลิจูด 2 KHz | 38 |
| รูปที่ 4.2 สัญญาณความถี่คู่ที่ได้จากการกดหมายเลข 1 | 39 |
| รูปที่ 4.3 กราฟเปรียบเทียบระหว่างอินพุตกับเอาท์พุท ที่ความถี่ 400 Hz VR ต่ำสุด | 40 |
| รูปที่ 4.4 กราฟเปรียบเทียบระหว่างอินพุตกับเอาท์พุท ที่ความถี่ 400 Hz VR สูงสุด | 41 |
| รูปที่ 4.5 กราฟเปรียบเทียบระหว่างอินพุตกับเอาท์พุท ที่ความถี่ 2 KHz VR ต่ำสุด | 42 |
| รูปที่ 4.6 กราฟเปรียบเทียบระหว่างอินพุตกับเอาท์พุท ที่ความถี่ 2 KHz VR สูงสุด | 42 |

บทที่ 1

บทนำ

ในปัจจุบันความต้องการใช้โทรศัพท์ที่มีความจำเป็นเพิ่มมากขึ้นเนื่องจากความเจริญ ทางด้าน สังคมและธุรกิจ ตลอดจนเทคโนโลยีใหม่ๆซึ่งการทำให้โทรศัพท์ที่มีความสามารถหลายๆทางย่อม เกิดประโยชน์และสะดวกในการติดต่อสื่อสาร เช่นเครื่องรับโทรศัพท์สามารถตอบรับได้เองโดย อัตโนมัติ มีการป้องกันการดักฟัง ตลอดจนสามารถบันทึกข้อความต่างๆได้

ส่วนที่ยังไม่ค่อยมีใช้กัน ก็คือ โทรศัพท์ที่สามารถเปลี่ยนเสียงได้ เนื่องจากเกรงว่าจะมีการ นำไปใช้ในทางมิชอบ ซึ่งผิดจรรยาบรรณของนักประดิษฐ์ แต่ในทางกลับกัน โทรศัพท์ที่เปลี่ยนเสียง ได้จะมีประโยชน์ ทางด้านการป้องกันการคุกคามทางโทรศัพท์กรณีที่มีพวกโรคจิตโทรมาก่อทวน หรือ กรณีที่ไม่ต้องการให้บุคคลอื่นจำเสียงได้ โครงการงานนี้จึงเหมาะที่จะนำไปใช้ เพื่อความสบายใจ ของผู้รับโทรศัพท์ที่เป็นสุภาพสตรี กรณีที่มีผู้ที่ไม่รู้จักโทรมา

บทที่ 2

ทฤษฎีและหลักการ

2.1 ระบบโทรศัพท์

ระบบโทรศัพท์ คือ ระบบสื่อสารที่มีโครงข่ายชุมสายบริการระหว่างสมาชิกและผู้รู้หมายเลขหมายของสมาชิกให้สมาชิกเรียกสลับคู่สนทนาธุระต่าง ๆ โดยลดการเดินทางโดยไม่จำเป็นลงได้

ผู้เรียก (Calling Subscriber) หรือสมาชิกผู้เรียก คือ ผู้เริ่มต้นการเรียกจะด้วยการแจ้งให้พนักงาน ช่วยต่อกับผู้รับ หมุนหรือกดหมายเลขของผู้รับเมื่อเครื่องโทรศัพท์นั้นเป็นคู่สายของเครื่องโทรศัพท์อัตโนมัติ

ผู้รับ (Called Subscriber) หรือ ผู้ถูกเรียก คือ ผู้ตอบรับการเรียกทางโทรศัพท์เมื่อได้ยินสัญญาณกริ่งเรียก (Ringing Signal)

คู่สายสมาชิก (Subscriber Line) คือ คู่คว้านกระแสไฟฟ้าที่เปลี่ยนจากเสียงพูด แจกจ่ายออกมาจากสถานีที่ติดตั้งเครื่องชุมสายโทรศัพท์ ท้องถิ่น ไปยังบ้านของผู้เช่าหรือสมาชิกแต่ละรายอย่างอิสระ

เครื่องชุมสายโทรศัพท์อัตโนมัติ (Automatic Telephone Switching) คือ เครื่องที่ทำหน้าที่ต่อสลับคู่สายระหว่างสมาชิกผู้รับ โดยอัตโนมัติ

การเชื่อมต่อระหว่างเครื่องโทรศัพท์กับคู่สายโทรศัพท์จะเป็นดังรูป ที่ 2.1

2.2 สัญญาณพื้นฐานในระบบโทรศัพท์

สัญญาณ (Signaling) คือ ข่าวดสารที่ใช้ติดต่อระหว่างเครื่องรับโทรศัพท์ กับชุมสายหรือข่าวดสารที่ใช้ติดต่อระหว่างชุมสายกับชุมสาย

หน้าที่ทั่วไป ของสัญญาณที่ใช้กับโทรศัพท์ในปัจจุบันมีอยู่ 4 หน้าที่ คือ

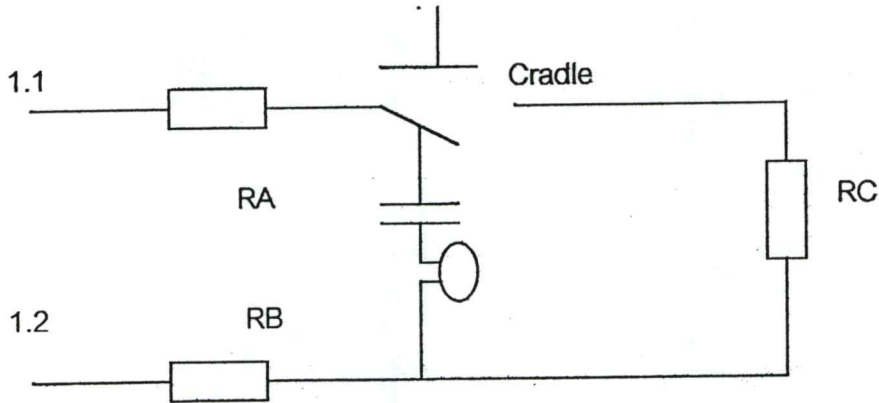
1. การเตรียมพร้อม (Alerting)
2. การส่งที่อยู่ของข่าวดสาร (Transmitting Address Information)
3. การตรวจตรา (Supervising)
4. ส่งสัญญาณ ข่าวดสาร (Transmitting Information Signaling)

2.2.1 สัญญาณระหว่างผู้เช่ากับชุมสาย (Subscriber Signaling)

2.2.1.1 สัญญาณที่ส่งมาจากผู้เช่า

- Off Hook คือ สภาพผู้เช่ายกหู โทรศัพท์จะมีสภาพ Closed Loop (Low Impedance)

On Hook คือ สภาพผู้เช่าวางหู หรือสภาพว่างโทรศัพท์จะมีสภาพ Open Loop (High Impedance)



รูปที่ 2.1 การเชื่อมต่อระหว่างเครื่องโทรศัพท์กับคู่สายโทรศัพท์

RA, RB = ค่าความต้านทานของสายโทรศัพท์

RC = ค่าความต้านทานของเครื่องโทรศัพท์ กับคู่สายโทรศัพท์

. Dialing คือ สภาพที่ผู้เช่าหมุนหมายเลข ถ้าเครื่องเป็นแบบโรตารี (Rotary dialer) สัญญาณที่ได้จะเป็นพัลส์ ค่าอิมพีแดนซ์ จะสูงค่าสลับกันไปตามการหมุนของเลขหมาย และถ้า เครื่องเป็นแบบ ทัช โทน (Touch tone) สัญญาณที่ได้ จะเป็นความถี่ DTMF ส่งออกไปชุมสาย

2.2.1.2 สัญญาณที่ส่งมาจากชุมสาย

. Dialing Tone คือสัญญาณที่ถึงบอกถึงสภาพการ ว่างของอุปกรณ์ชุมสาย และชุมสายพร้อมที่จะรับ Code ที่ทำการหมุนเข้ามา สัญญาณไดอัล โทน (Dial Tone) นี้จะเป็นสัญญาณต่อเนื่องความถี่ 425 Hz มอดูเลตด้วยความถี่ 50 Hz ผู้เช่าจะได้ยินเมื่อทำการยกหูโทรศัพท์

. Busy Tone คือ สัญญาณที่บอก ให้ทราบว่างอุปกรณ์ ชุมสายไม่ว่าง ถ้ายกหูแล้วได้ยินสัญญาณนี้แสดงว่า อุปกรณ์ชุมสายไม่ว่าง และถ้าได้ยินสัญญาณนี้หลังจากการ หมุนเลขหมายแล้ว แสดงว่าผู้เช่าฝ่ายถูกเรียกไม่ว่าง ลักษณะสัญญาณที่จะเป็นสัญญาณที่ขาดตอนเป็นช่วง ๆ คือ ส่ง 0.3 วินาที หยุด 0.5 วินาที โดยมีความถี่ของสัญญาณเท่ากับ 425 Hz Sine Wave

. Ringing Tone เป็นสัญญาณที่ผู้เรียกได้ยินหลังจากหมุนหมายเลขครบแล้วเพื่อบอกให้ทราบว่า การต่อกระทำสำเร็จ ในขณะที่ชุมสายจะส่งสัญญาณเรียก (Ringing Signal)

ไปยังผู้เรียก โดยมีความถี่ของสัญญาณเท่ากับ 425 Hz sine Wave โดยจะส่งไปยังผู้เข้าฝ่าย ถูกเรียกโดยจะมีการส่ง 1 นาที หยุด 4 วินาที

. Ringing Signal เป็นสัญญาณต่อเนื่องความถี่ 25 Hz มีค่าแรงดัน 70 - 90 V rms โดยส่งไปยังผู้เข้าฝ่ายถูกเรียกโดยจะมีการส่ง 1 วินาที หยุด 4 วินาที

. สัญญาณโทนอื่น ๆ เช่น Nu Tone (Number Tone) บอกให้ทราบว่าเลขหมายที่หมุนมา ไม่มีการใช้งานอยู่

รูปที่ 2.2 แสดงถึงลักษณะรูปคลื่นของสัญญาณ Dial Tone, Busy Tone , Ring Back Tone และ Ringing Tone

2.2.2 สัญญาณติดต่อกันระหว่างชุมสายกับชุมสาย (Inter Exchange Signaling)

สัญญาณพื้นฐานมีอยู่ 5 ประเภท คือ

2.2.2.1 สัญญาณจับวงจร (Seizure) เป็นสัญญาณให้ชุมสายปลายทางทราบว่า คู่สายขณะนี้ถูกใช้งานอยู่ ชุมสายปลายทางจะทำการจัดเตรียมอุปกรณ์ที่รับเลขหมายของผู้ถูกเรียกที่ส่งมา

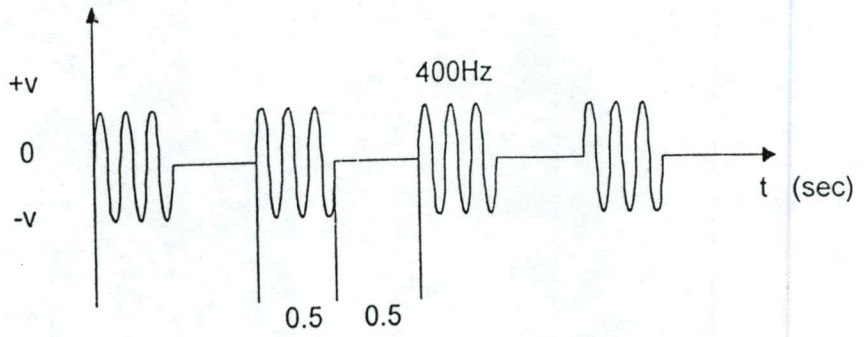
2.2.2.2 Address Information เป็นสัญญาณบอกเลขหมายหรือประเภทของผู้เช่า

2.2.2.3 สัญญาณตอบรับ (Answer Signal) สัญญาณนี้ถูกส่งเมื่อผู้เช่าฝ่าย B ยกหูรับ
หน้าที่หลักของสัญญาณนี้คือ

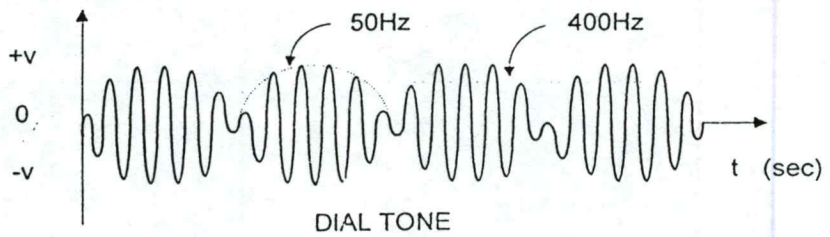
- . เริ่มต้นคิดเงิน
- . ส่งสัญญาณคิดเงิน
- . คัดวงจรการจับเวลาการใช้อุปกรณ์

2.2.2.4 สัญญาณยกเลิกการต่อตรง(Clear - Forward)จะถูกส่งเมื่อฝ่าย A วางหูผลของสัญญาณนี้จะทำให้วงจรทางด้านปลายทางทำการยกเลิกการต่อวงจรต่าง ๆ

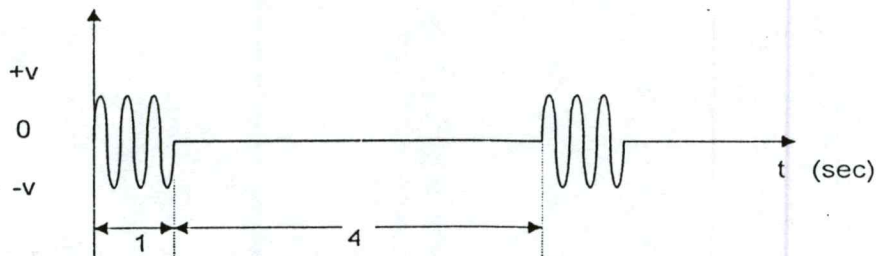
2.2.2.5 สัญญาณยกเลิกการต่อกลับ (Clear - Back) จะถูกส่งเมื่อผู้เช่าฝ่าย B วางหูผลของสัญญาณนี้จะทำให้ชุมสายต้นทาง เริ่มต้นการจับเวลา เมื่อเวลาผ่านไป 90 - 120 วินาที ชุมสายต้นทางจะยกเลิกการติดต่อมาพร้อมกับส่งสัญญาณ Clear - Forward ออกไปเพื่อให้ชุมสายปลายทางยกเลิกเช่นกัน



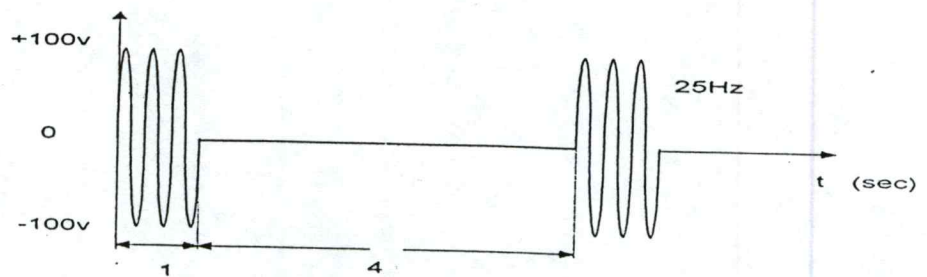
BUSY TONE



DIAL TONE



RING BACK TONE

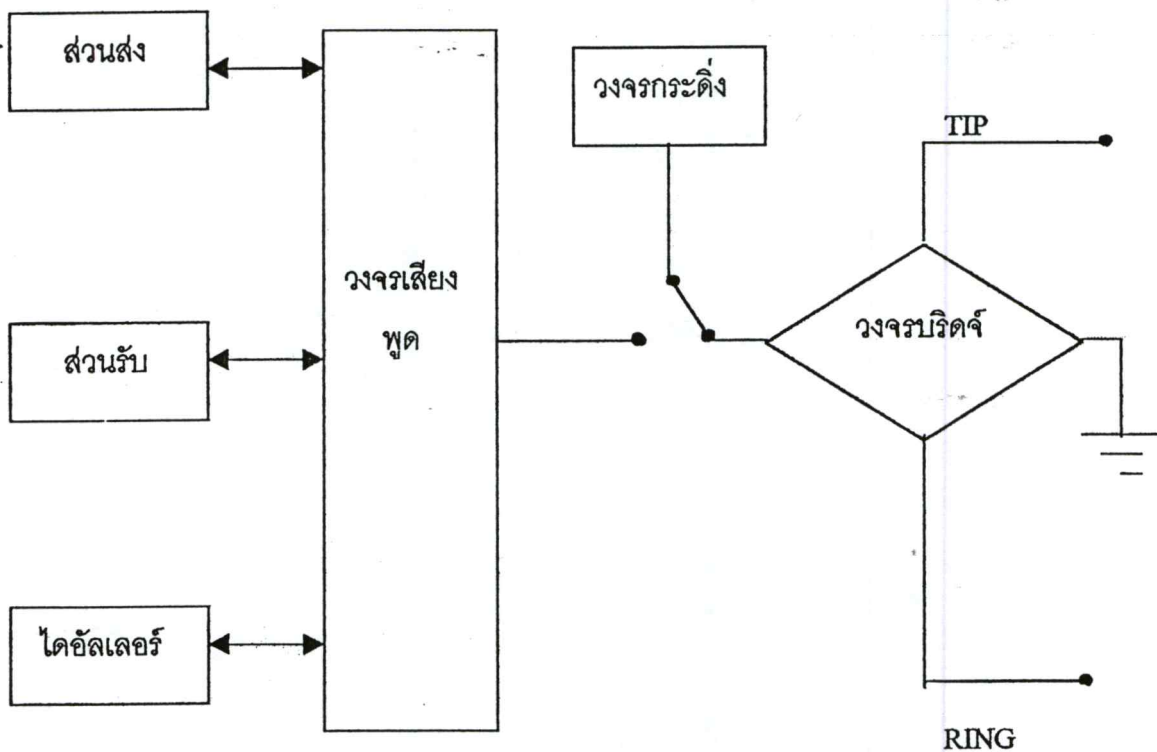


RINGING TONE

รูปที่ 2.2 แสดงสัญญาณพื้นฐานของโทรศัพท์

2.3 เครื่องโทรศัพท์

เครื่องโทรศัพท์ (Telephone Set) คือ อุปกรณ์ที่ทำหน้าที่ ส่งเสียงพูดของผู้เข้าให้ผ่านคู่สายโทรศัพท์ไปยังคู่สนทนา และรับเสียงของคู่สนทนา จากคู่สายโทรศัพท์ มาขยายออกหูฟัง ให้ผู้ใช้ได้ยิน นอกจากนี้ยังทำหน้าที่ ส่งสัญญาณหมายเลขโทรศัพท์ไปยังชุมสายโทรศัพท์ เพื่อแจ้งให้ชุมสายทราบว่า ผู้มาใช้ต้องการติดต่อไปยังคู่สายใด เมื่อชุมสายทำการติดต่อไปยังคู่สายปลายทาง ได้ผลประการใด ก็จะมีสัญญาณจาก ชุมสายแจ้งมาให้ทราบ ส่วนประกอบต่างของเครื่องโทรศัพท์ จะเป็นดังรูปที่ 2.3



รูปที่ 2.3 ผังของเครื่องรับโทรศัพท์

เครื่องรับโทรศัพท์ที่มีส่วนประกอบที่สำคัญดังนี้

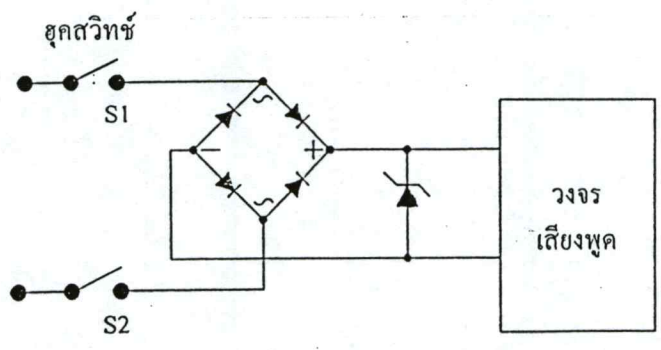
1. วงจรเสียงพูด (Speech network) ทำหน้าที่แปลงสัญญาณจากระบบทวิวัฏจักรเป็นระบบโพร์ไวร์ ขยายสัญญาณทางด้านรับและด้านส่ง ควบคุมระดับ ไซค์โทน
2. ไดอัลเลอร์ (Dialer) ทำหน้าที่กำเนิดสัญญาณ เลขหมายโทรศัพท์ เพื่อส่งไปยังชุมสายโทรศัพท์
3. วงจรส่งเสียงพูด (Transmitter) ทำหน้าที่ส่งสัญญาณ เสียงพูดของผู้ใช้ไปยังคู่สนทนาโดยใช้ ไมโครโฟนแปลงเสียงพูดไปเป็นสัญญาณไฟฟ้าผ่านวงจรเสียงพูดไป
4. วงจรรับเสียงพูด (Receiver) ทำหน้าที่แปลงสัญญาณไฟฟ้า ที่มาจากคู่สายโทรศัพท์ ให้เป็นเสียง (Voice) ตามเดิม
5. วงจรกระดิ่ง (Ringer) ทำหน้าที่ตรวจจับสัญญาณเรียกจากชุมสายโทรศัพท์แล้วแปลงเป็นสัญญาณเสียงเพื่อให้ผู้ใช้ทราบว่ามีผู้ต้องการติดต่อด้วย
6. สุกสวิทช์ (Hook Switch) ทำหน้าที่ตัดต่อเครื่องโทรศัพท์เข้ากับคู่สาย มีสองสถานะคือ สถานะยกหู (Off Hook) และสถานะการวางหู (On Hook)
7. วงจรบริดจ์ (Polar Guard Bridge) ทำหน้าที่ผ่านกระแสไฟตรงจากคู่สายไปเลี้ยงวงจรและป้องกันการสลับขั้วของกระแสไฟ นอกจากนี้ยังทำหน้าที่ผ่านสัญญาณไฟฟ้าทั้งบวกและลบไปในวงจร รวมทั้งเป็นส่วนสร้างกราวด์ให้กับเครื่องโทรศัพท์

วงจรในการป้องกันไฟจากสายโทรศัพท์ (Protection Circuit)

ในวงจรอิเล็กทรอนิกส์ทั่ว ๆ ไป สัญญาณทรานเซียนต์ (Transient) ที่มีระดับแรงสูง ๆ จะสามารถทำลายอุปกรณ์จำพวกทรานซิสเตอร์และ ไอซีต่าง ๆ ได้สำหรับสาเหตุที่ทำให้เกิดสัญญาณทรานเซียนต์มีหลายประการ อาทิ เช่นฟ้าผ่า การสวิทช์ของอุปกรณ์สวิทช์ซิ่งหรือผลอันเนื่องมาจากขดลวดเหนี่ยวนำที่แฝงอยู่ในสายส่งสัญญาณ ดังนั้นวงจรป้องกันสัญญาณทรานเซียนต์ จึงมีความสำคัญเป็นอันมากเพราะเหตุที่ว่าในปัจจุบันนี้เรายังไม่สามารถผลิต ไอซีที่มีแรงดันพังทลาย (Voltage breakdown) ค่าสูงได้ ทาง ป้องกันทางหนึ่งก็คือการเลือก ใช้ซีเนอร์ไดโอดมาช่วยในการป้องกันสัญญาณ ทรานเซียนต์ค่าสูง ๆ เมื่อระดับแรงดันอินพุททรานเซียนต์มีค่าสูงกว่าแรงดันพังทลายของซีเนอร์ไดโอดซีเนอร์ไดโอดก็จะนำกระแสและ รักษาแรงดันตกคร่อมตัวมันให้คงที่ สำหรับในวงจรใดที่มีการสลับขั้ว ของสัญญาณอินพุท ก็จะใช้ ซีเนอร์ ไดโอด 2 ตัวมาต่อแบบหลังชนหลัง (back to back)

ในการทำงานของวงจรโทรศัพท์ทั่วไป หากมีการสลับขั้วของสัญญาณอินพุท ที่มีไฟตรงจะก่อให้เกิดผิดพลาดขึ้น แก่การทำงาน ของวงจรได้ จึงมีการใช้วงจรบริดจ์เรกติไฟร์ เข้ามาช่วยในการทำงานให้สัญญาณไฟตรงมีขั้วเดิมตลอดเวลา

วงจรบริดจ์เรกติไฟร์ นั้นสามารถสร้างได้โดยการใช้ไดโอด 4 ตัวต่อกันตามรูปที่ 2.4 เนื่องจากซิลิกอนไดโอดสามารถทนต่อแรงดันสูง ๆ ได้ดี จึงใช้ซีเนอร์ไดโอดป้องกันเฉพาะวงจรเสียงพูดเท่านั้น

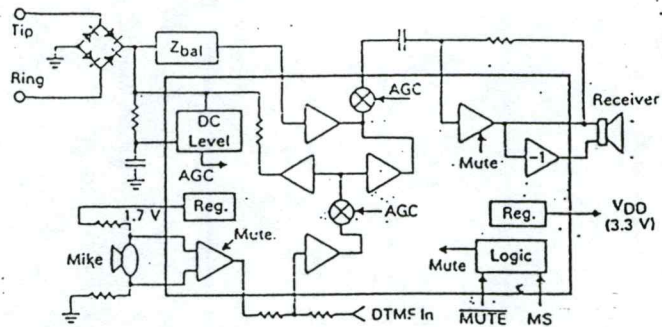


รูปที่ 2.4 แสดงการป้องกันแรงดันค่าสูง ๆ และการกลับขั้ว

ในวงจรบริดจ์เรกติไฟร์ ที่ใช้ซิลิกอนไดโอดนั้น มีแรงดันฟอร์เวิร์ดไบอัสตกคร่อมประมาณ 1.5 โวลท์ ถ้าในวงจรควบคุมเสียงพูด ถูกออกแบบให้ทำงานได้ที่ไฟเลี้ยง อย่างต่ำ 3.5 โวลท์ ดังนั้นแรงดันไฟเลี้ยงอย่างต่ำที่สุด ที่เข้าสู่วงจรบริดจ์เรกติไฟร์จะต้องเป็น 5 โวลท์ จึงจะสามารถทำให้วงจรควบคุมเสียงพูดทำงานได้

วงจรควบคุมเสียงพูด

วงจรควบคุมเสียงพูดแบบสองทิศทาง (Two way Speech circuit) เป็นอีกส่วนหนึ่งภายในเครื่องโทรศัพท์ที่จัดว่ามีความสำคัญ ต่อการทำงานของตัวเครื่องโทรศัพท์ เพราะเป็นส่วนที่จะต้องทำงานเกี่ยวกับสัญญาณเสียงพูดที่เราพูดผ่านไมโครโฟน หรือสัญญาณเสียงที่จะได้ยินจากคู่สนทนา ข้อสำคัญของการออกแบบวงจรนี้คือ การแมตซ์อิมพีแดนซ์ของสายส่งสัญญาณ จากชุมสายกับอิมพีแดนซ์ของวงจร ซึ่งจะต้องมีความใกล้เคียงกันมากที่สุดเพื่อประสิทธิภาพของการส่งสัญญาณ

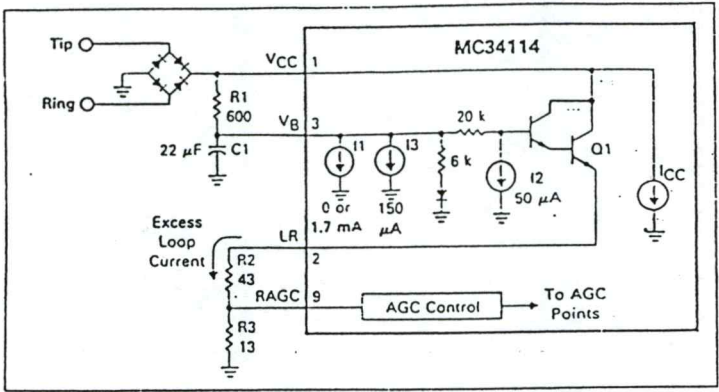


รูปที่ 2.5 ผังภายในของ MC 34114

รูปที่ 2.5 เป็นวงจรรายภายในของไอซี MC34114 ซึ่งประกอบด้วยวงจรเสียงพูดที่มีวงจรไฮบริดจ์ (วงจรแยกระบบสายส่งจาก ทูไวร์ เป็น โฟร์ไวร์) วงจรเชื่อมต่อกับกระแสไฟตรงที่อยู่กับสายทิปกับริง สามารถปรับแต่งอัตราการขยายสัญญาณของด้านส่ง ด้านรับและไซด์โทน (Sidetone) การที่เสียงพูดของผู้พูดสามารถได้ยินในส่วนของหูฟัง เพื่อให้ทราบได้ว่าเราควรจะพูดดังค่อยขนาดไหน ในการติดต่อกัน) และมีส่วนวงจรชดเชยผลอันเนื่องมาจากความยาวของสายส่งสัญญาณ (Line Length compensation) ที่อัตราการขยายเปลี่ยนแปลงตามกระแสในรูป รวมทั้งวงจรขยายไมโครโฟนแบบผลต่างเพื่อที่จะลดการรบกวนเนื่องจากความถี่วิทยุ

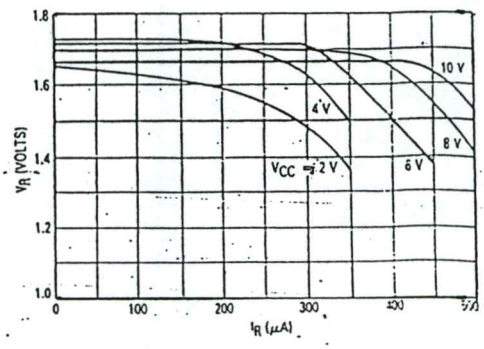
วงจรเชื่อมต่อกับไฟตรงของ MC34114

วงจรเชื่อมต่อกับไฟตรง (ขา 1,2,3) จะกำหนดคุณสมบัติของไฟตรงจากกระแสในรูป จากรูปที่ 2.6 ระดับแรงดันไฟตรงที่ V_{cc} ถูกจำกัดโดยการขจัดระดับแรงดันของขา 1 กับขา 2 บวกแรงดันตกคร่อม R2 และ R3 ไอซี MC34114 ต้องการ I_{cc} เป็นกระแสไบอัสภายใน ซึ่งปกติมีค่าประมาณ 10 mA เราสามารถที่จะลดกระแส I_{cc} หากจำเป็น โดยการเพิ่มค่า R12



รูปที่ 2.6 วงจรสมมูลของการอินเตอร์เฟสกับคู่สายโทรศัพท์

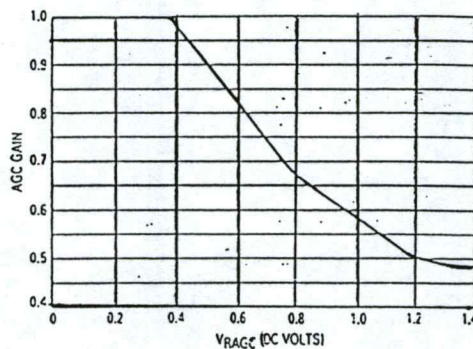
ในระหว่างการพูดและการส่งสัญญาณแบบพัลส์ ตัวกำเนิดกระแส I1 ไม่ทำงาน การขยับระดับแรงดันจะตกลงไปเนื่องจากขา B และ E ของทรานซิสเตอร์ Q1 (ประมาณ 1.4 โวลต์) 1 โวลต์ ครอบ ความต้านทาน 20 กิโลโอห์ม และแรงดันตกคร่อม R1 ซึ่งทำให้ Vcc จะเปลี่ยนแปลงตั้งแต่ 0.15 ไปจนถึงประมาณ 1.0 โวลต์ เมื่อกระแสรูปที่มาจากขั้วที่ปกับขั้วจริงมีค่าเกินกว่า Icc จะต้องการกระแสที่เกินจะไหลผ่าน Q1 ,R2,R3 เพื่อให้เป็นไปตามคุณสมบัติของ V - I ตามรูปที่ 2.7



รูปที่ 2.7 กราฟแสดงความสัมพันธ์ระหว่าง VR , IR และ Vcc

ในการส่งสัญญาณแบบโทน แหล่งจ่ายกระแส I1 ทำงาน ทำให้มีกระแสไหลผ่าน R1 เพิ่มขึ้น 1.7 mA ขยับระดับแรงดันขึ้นอีกประมาณ 1.0 โวลต์ (เมื่อ R1 มีค่า 600 โอห์ม) คุณสมบัติพิเศษนี้

เป็นการประกันได้ว่าเมื่อกระแสลูปมีค่าน้อย จะมีแรงดันที่ V_{CC} มากสำหรับสัญญาณ DTMF และ แหล่งจ่ายแรงไฟ V_{DD} จะสามารถจ่ายแรงดันที่พอเพียงไปให้ส่วนเป็นกคสัญญาณภายนอก กระแส I_{CC} ในการทำงานแบบนี้จะเพิ่มขึ้นประมาณ 1.3 mA ความต้านทาน R_1 ใช้ได้ตั้งแต่ 100 ไปจนถึง 1800 โอห์ม ถ้าใช้ค่าที่มากเกินไปกระแสที่ไหลไปยัง V_B จะมีค่าไม่เพียงพอ แต่ถ้ามีค่าน้อยเกินไป การกรองที่ V_B จะไม่เป็นผล ถึงแม้ว่าจะมีการเพิ่มค่า C_1 ก็ตาม (สัญญาณเสียงพูดจะถูกกรองโดย V_B) แรงดันคคคร่อม R_3 เป็นตัวควบคุมการทำงาน ของ AGC (เป็นส่วนชดเชยผลอันเนื่องมาจาก ความยาวของสายส่งสัญญาณ) เมื่อความต้านทานที่คร่อม R_{AGC} เพิ่มขึ้นจากประมาณ 0.4 โวลท์ ไปเป็น 1.2 โวลท์ ส่วนควบคุมการทำงานของ AGC จะเปลี่ยนอัตราขยายของกระแสของ AGC ตั้งแต่ 1.0 ไปถึง 0.5 ซึ่งจะลดอัตราขยายของส่วนรับและส่งประมาณ 6 dB ตามรูปที่ 2.8



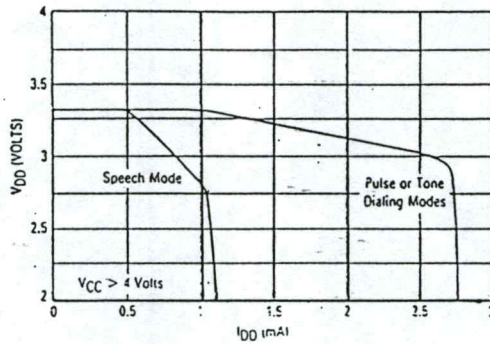
รูปที่ 2.8 กราฟแสดงความสัมพันธ์ระหว่างอัตราขยาย ของ AGC และแรงดันที่ขา 9

ค่าของ R_2 และ R_3 สามารถที่จะเปลี่ยนแปลงได้ เมื่อมีการเพิ่มเติมวงจรที่ใช้กระแสจากรูปอาทิ เช่น ไมโครโปรเซสเซอร์ต่าง ๆ หรือเพื่อเปลี่ยนแปลงจุดเริ่มต้นการทำงาน ของ AGC ถ้าหากจะไม่ใช้งาน AGC ควรจะต่อขา 9 ลงกราวด์ เพื่อจะให้ได้อัตราขยายที่สูงที่สุด หรือต่อเข้ากับ V_g เพื่อให้ได้อัตราขยายต่ำสุด

ตัวจ่ายแรงดันคคที่

ไอซี MC34114 มีตัวจ่ายแรงดันคคที่ สองตัว เพื่อจ่ายแรงดันให้ทั้งวงจรภายในและวงจรภายนอก ตัวจ่ายแรงดันคคที่ V_g จ่ายแรงดัน 1.7 โวลท์ ที่กระแสสูงสุด 500 μA (ตามรูป 2.5) ซึ่งผลที่ได้คั้งนี้จะนำไปใช้ไบอัสขา 10 (TXI) และไบอัสไมโครโฟนโดยปกติ V_g มีค่าน้อย กว่า V_{CC} ประมาณ 0.3 โวลท์ เมื่อ V_{CC} มีค่าน้อยกว่า 2.0 โวลท์ ตัวจ่ายแรงดันคคที่ V_{DD} จ่ายแรงดัน 3.3 โวลท์ที่กระแสสูงสุด 1.0 mA ในขณะที่ใช้พุดแบบปกติและกระแสสูงสุด 2.5 mA ในการส่งสัญญาณ

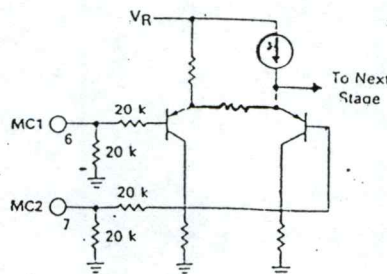
แบบพัลส์หรือโทนตาม รูปที่ 2.9 ปกติเราใช้ V_{DD} ในการจ่ายพลังงานให้กับวงจรเป็นปกติที่อยู่ภายนอก รวมทั้งวงจรอื่นที่ต่ออยู่ด้วยกัน ปกติ V_{DD} จะมีค่าน้อยกว่า V_{CC} ประมาณ 0.5 โวลต์ มีค่าต่ำกว่า 1.4 โวลต์ คุณลักษณะนี้จะช่วยป้องกันการกินกระแสจากแบตเตอรี่ช่วยคงหน่วยความจำของวงจรเป็นปกติ เมื่อ V_{CC} มีค่าเป็น 0 กระแสรั่วไหลมีค่า 0.02 μA เมื่อป้อนแรงดันไม่เกิน 6.0 โวลต์ เข้าที่ V_{DD} โดยที่ขา 17 เปิดวงจรหรือต่อกับ V_{DD} หากขา 17 ต่อลงกราวด์ กระแสหลายร้อย μA จะไหลเข้า V_{DD} และไหลลงกราวด์ที่ขา 17



รูปที่ 2.9 กราฟแสดงความสัมพันธ์ระหว่าง V_{DD} และ I_{DD}

วงจรขยายสัญญาณจากไมโครโฟน

วงจรขยายสัญญาณจากไมโครโฟน (ขา 6,7,8) มีสัญญาณเข้าแบบผลต่าง (Differential) สัญญาณออกแบบซิงเกิลเอนด์ และอัตราขยายภายในคงที่ + 30 dB เอาท์พุทตรงเฟสกันกับ MC2 และสลับกันกับ MC1 อินพุทตามรูปที่ 2.10 มีความต้านทาน 20 กิโลโอห์มและแมตซ์ซึ่งเป็นอย่างดี เพื่อ CMRR (Common mode Rejection) ที่สูง (ประมาณ 26 dB) เพื่อที่จะมีการขจัดสัญญาณจากการเหนี่ยวนำจากสายนำสัญญาณที่ไม่ต้องการ (CMMR มีค่าสูง) ไมโครโฟนจึงมีการไบอัสจากความต้านทานที่มีค่าเท่ากันดังในรูปที่ 2.10



รูปที่ 2.10 วงจรส่วนอินพุทของ MC34114

เอาท์พุท (MCO) มีแรงดันไบอัสตรงอยู่ประมาณ 1.1 โวลต์ (เมื่อ Vcc มีค่ามากกว่า 3.0 โวลต์) มีอัตราการใช้กระแสประมาณ 2.0 โวลต์ (แกว่ง 500 mV เมื่อ Vcc มีค่า 1.2 โวลต์) เอาท์พุทอิมพีแดนซ์ มีค่า ประมาณ 270 โอห์มและมีกระแสสูงสุดประมาณ 160 uA ที่ 5 % ของ THD (Total Harmonic Distortion)

เมื่อ MC 34114 อยู่ในระหว่างการส่งสัญญาณหมุน วงจรขยายไมโครโฟนจะถูกลดกำลังการส่งลงประมาณ 70 dB (300 – 400 kHz) ซึ่งเพียงพอในการหยุดการทำงานของไมโครโฟนระดับแรงดันไฟตรงที่ MCO มีค่าประมาณ 80 mV เมื่อถูกลดกำลังลง

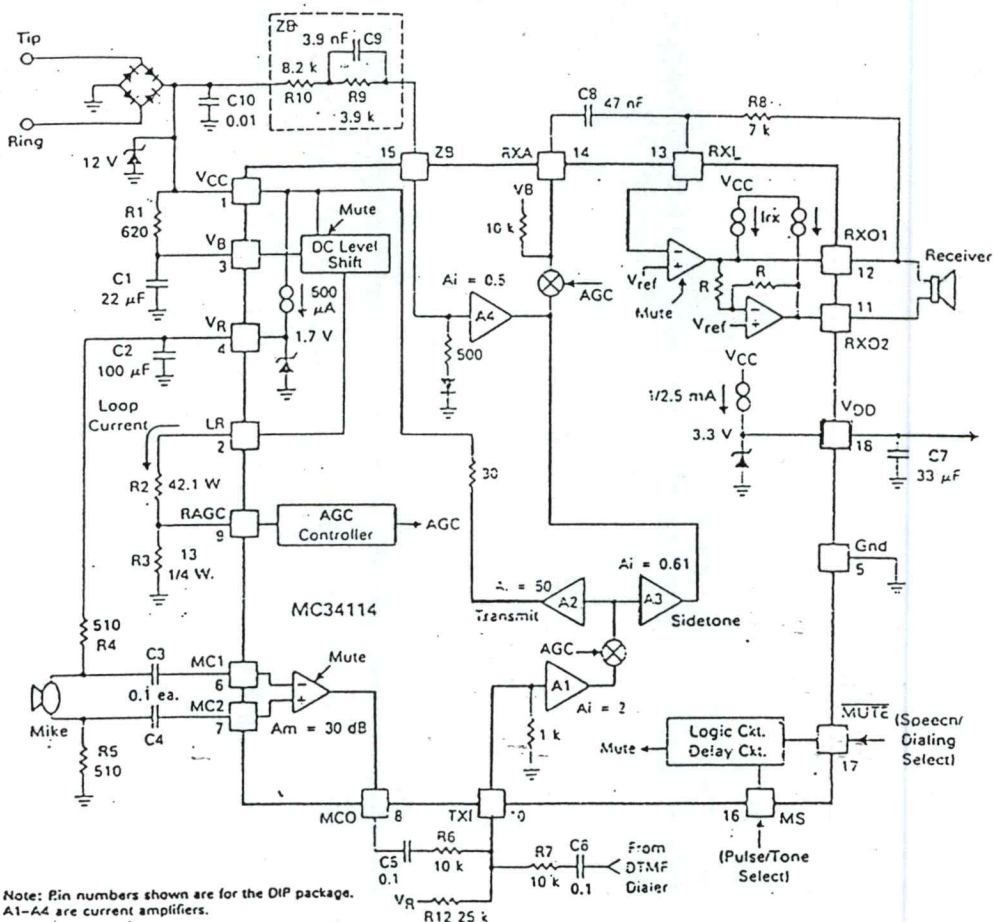
วงจรในการส่งสัญญาณ

วงจรในการส่งสัญญาณออกไปมีอุปกรณ์ดังรูปที่ 2.11 แรงดันเอาท์พุทที่ MCO ถูกเปลี่ยนไปเป็นกระแสเข้า TXI โดย C5, R6 และความต้านทานภายในของ TXI 1 กิโลโอห์ม A1 และ A2 คือ อุปกรณ์ขยายกระแสที่มีอัตราขยายรวมกันเป็น 100 AGC ที่เข้ามามีค่าเป็น 1 เมื่อมีกระแสป้อนน้อย และลดลงเป็น 0.5 เมื่อกระแสป้อนมีค่าเพิ่มขึ้น ดังนั้นจะทำให้อัตราขยายจาก TXI ไปจนถึง VCC กระทำต่อ R1 และอิมพีแดนซ์ของสายส่ง (ประมาณ 600) ก่อให้เกิดแรงดันที่ Vcc และเช่นกันที่ขั้วที่ปกับริง ระดับแรงดัน ระหว่างขา MCI – MC2 และขั้วที่ปกับริงมีค่าตามสมการ (2.1)

$$G_{TX} = (A_M * 100 * AGC * R_1 / Z_{LINE}) / (R_6 + 1000) \quad (2.1)$$

เมื่อ A_M เป็นอัตราขยายของอุปกรณ์ขยายไมโครโฟน (31.1 V/V) ที่กระแสรูปค่า น้อย ๆ G_{TX} มีค่าเป็น 42 V/V ที่กระแสรูปค่ามาก ๆ

สัญญาณที่ Vcc กลับเฟสกันกับสัญญาณที่ TXI และมีเฟสเดียวกันกับสัญญาณที่ MC 1



รูปที่ 2.11 ผังและอุปกรณ์ภายนอกของ MC 34114

วงจรในการรับสัญญาณ

วงจรที่ใช้รับสัญญาณเข้ามามีอุปกรณ์ในรูปที่ 2.11 ซึ่งโดยปกติมีค่า 600 โอห์ม จะเป็นตัวกำหนดจุดสิ้นสุดของสายส่ง (เป็น Return loss) ของสัญญาณที่ส่งมาจากขั้วทิปและริงสัญญาณที่ได้รับจะสร้างกระแสไฟฟ้าสลับผ่าน ZB Network Impedance Network) และความต้านทาน 500 โอห์ม ที่ขา ZB A 4 จะลดกระแสลงครึ่งหนึ่งแล้วส่งต่อไปให้ AGC แล้วผ่าน C8 ไปยัง RXI (จุดรวมอัตรการขยาย ซึ่งถ้า C8 มีค่ามากกว่า RXA จะเปรียบเป็นกราวด์เสมือน และไม่มีกระแสไฟสลับไหลผ่าน ความต้านทานภายใน 10 กิโลโอห์ม) แรงดัน RXO1 ถูกกำหนดโดยกระแสจาก C8 และความต้านทานป้อนกลับ R8 ออปแอมป์ตัวที่สอง (ที่ขา RXO2) มีการกำหนดไว้แล้วทำให้มีการขยายขั้วสลับขั้วและมีอัตรการขยายเป็น 1 (Inverting Unity Gain) อัตรการขยายแรงดันจากขั้วทิปกับริง ไปยัง RXO1 - RXO2 มีค่าตามสมการต่อไปนี้

$$GRX = (R 8 * AGC) / (ZB + 500) \tag{2.2}$$

เมื่อ $ZB = R 10 + R 9 = R 10 + R 9$

เมื่อใช้ค่าของอุปกรณ์ตามรูปที่ 2.11 อัตรการขยายจะมีค่าประมาณ 0.495 V/V (-6.1 dB)

เมื่อการเสถียรในลูบมีค่าน้อย และอัตรการขยายกลายเป็น = 0.25 V/V (-12 dB) เมื่อมีกระแสในลูบสูง

การเชื่อมต่อกันของสัญญาณลจิก

ขาอินพุตลจิก 2 ขาของ MC 34114 ถูกใช้ในการเปลี่ยนแปลงโหมดการทำงานดังตารางที่

2.1 ต่อไปนี้

| Mute | MS | Mode |
|------|------|---------------|
| High | - | Speech |
| Low | High | Pulse Dailing |
| Low | Low | Tone Dailing |

ตารางที่ 2.1 แสดงความสัมพันธ์ระหว่างโหมดการทำงานกับลจิกของ MUTE และ MS

ค่าของลจิก 1 ของขา MUTE มีค่าระหว่าง $V_{DD} - 0.5$ จนถึง V_{DD} ส่วนค่าลจิก 0 ของขา MUTE มีค่าระหว่าง 0 – 1 โวลต์ การเปลี่ยนแปลงของลจิก ต้องมากกว่าค่าเทรชโฮล 2.3 โวลต์ เมื่อขา MUTE เปลี่ยนไปเป็นค่า 0 หรือ ขา MS เกิดการเปลี่ยนแปลงลจิก การเปลี่ยนแปลงภายในวงจรจะเกิดขึ้น ภายใน 10 us แต่ถ้า ขา MUTE เปลี่ยนเป็นค่า 1 จะเปลี่ยนแปลงหลังจากมีการหน่วงเป็น 11 us เนื่องจากมีการป้องกันสัญญาณทรานเซียนส์ที่เกิดขึ้นจากสัญญาณพัลส์ อันจะทำให้ได้ยินเสียงคลิกที่หูฟัง ขา MS จะทำงานเมื่อขา MUTE มีลจิก 0 หน้าที่ที่แท้จริงของ MS ก็คือการให้ค่าแรงดันเลเวลชิฟท์แก่ V_{cc} และ LR ในการส่งสัญญาณแบบโทนค่าลจิกที่ 0 มีค่าระหว่าง 0 – 0.3 โวลต์ ค่าลจิก 1 มีค่า ระหว่าง $2 - V_{DD}$ โวลต์ ค่าเทรชโฮล มีค่า 0.75 โวลต์ เมื่อไม่มีการเลือกการทำงานระหว่างการส่งแบบพัลส์หรือ โทน ให้ต่อลงกราวด์หรือ V_{DD} ห้ามไม่ให้ปล่อยลอยไว้เป็นอันขาด เมื่ออยู่ในภาวะวางหูแรงดันไม่เกิน 6 โวลต์ ต่ออยู่กับ MUTE กระแสรั่วไหล 0.02 uA จะไหลถ้าขา MUTE และ V_{DD} แรงดันเท่ากัน แต่ถ้าแรงดันมีค่าไม่เท่ากันแล้ว กระแสจะไหลผ่านตัวต้านทานภายใน และไดโอด หากมีแหล่งจ่ายไฟเพื่อคงหน่วยความจำ ของวงจร เป็นกคต่ออยู่และปรากฏว่ามีแรงดันของแหล่งจ่ายไฟเพื่อคงหน่วยความจำของวงจรเป็นกคที่ V_{DD} ขา MUTE จะต้องต่ออยู่กับ V_{DD} หรือ กราวด์มิฉะนั้นแล้ว กระแส 100 – 200 uA จะไหลผ่าน V_{DD} และออกทางขา MUTE

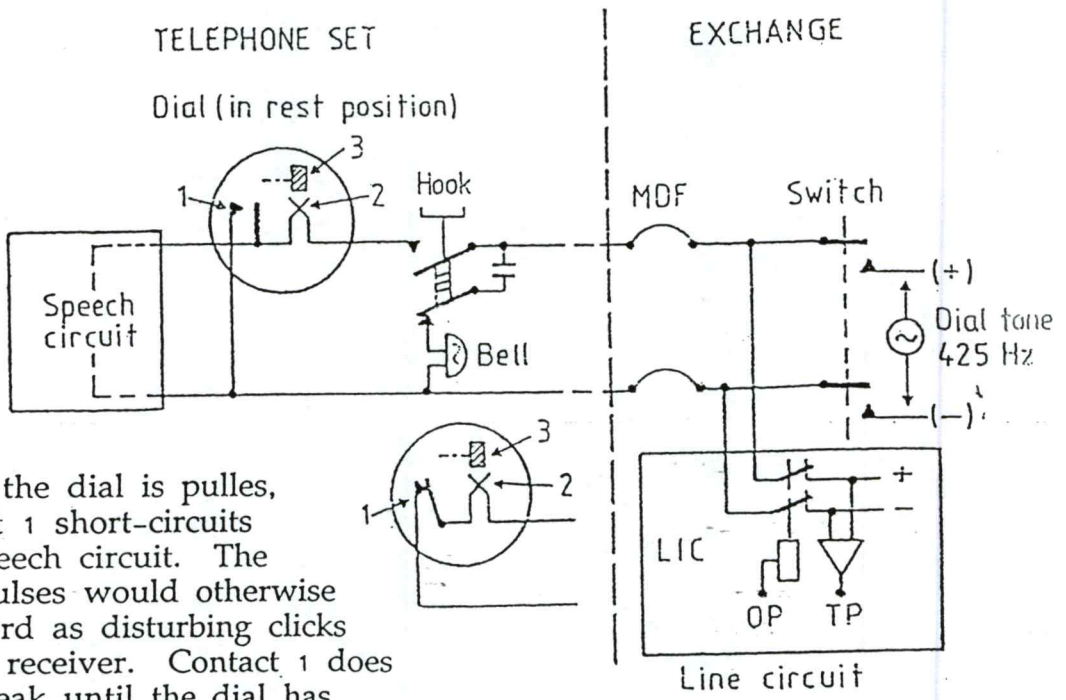
เมื่อ V_{cc} มีค่าเท่ากับ 0 และมีแรงดันไม่เกิน 6 โวลต์ ต่ออยู่ที่ขา MS จะมีกระแสรั่วไหลที่เกิดขึ้น 0.01 uA ตลอดเวลาที่ขา MUTE ปล่อยลอยหรือต่อกับ V_{DD} หากขา MUTE ต่อลงกราวด์จะมีความ

ด้านทาน 3.5 กิโลโอห์ม เกิดขึ้นที่ระหว่าง MS และ MUTE หาก $V_{cc} < 1.5$ โวลต์ ขา MUTE จะไม่ทำงานเป็นเหตุให้ MC 34114 อยู่ในการทำงานโหมคสนทนา

ส่วนที่ทำหน้าที่ส่งโค้ดเลขหมายของผู้ถูกเรียก

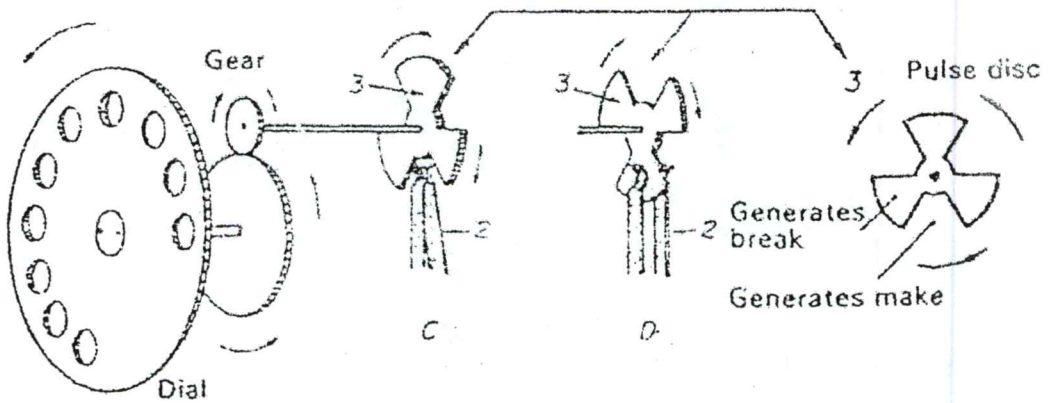
1. แบบ PULSE DIALING เป็นวิธีการส่งโค้ดของเลขหมาย โดยวิธีการตัดต่อเส้นทางเดินไฟกระแสตรงในสายช่วงขณะสั้น ๆ จากรูปที่ 2.12 ในการเรียกค่อออก (OUTGOING CALL) ผู้เข้าฝ่ายเรียก (A SUBSCRIBER) จะทำการยกหูโทรศัพท์ HOOK SWITCH จะทำการต่อวงจรเสียงพูด และวงจรหมุน เลขหมาย (DIAL) เข้ากับสายโทรศัพท์ ขุมสายโทรศัพท์ (EXCHANG) จะรับรู้การเรียกจากการตรวจสอบกระแสที่ไหลในสาย เช่นต้องมีค่ามากกว่า 10 มิลลิแอมป์ ขึ้นไป (ค่าความต้านของเครื่องโทรศัพท์ขณะยกหูต้องน้อยกว่า 375 โอห์ม มี กระแส 20 มิลลิแอมป์ ตามข้อกำหนดของฝ่ายวิศวกรรมปี 2525)

เมื่อขุมสายรับรู้เรียกขุมสายจะทำการเตรียมอุปกรณ์ต่าง ๆ ที่จะใช้รับสัญญาณตลอดจนอุปกรณ์ที่จะทำการต่อวงจร เมื่อทุกอย่างเรียบร้อยขุมสายจะทำการส่งสัญญาณ DIAL TONE สัญญาณให้หมุนเลขหมาย (สัญญาณต่อเนื่องความถี่ 425 Hz . MODULATED ด้วยความถี่ 50 Hz) ส่งไปยังผู้เรียก เพื่อบอกให้ส่งเลขหมายของผู้ถูกเรียกได้ (B SUBSCRIBER) เมื่อฝ่ายเรียกทำการหมุน หน้าสัมผัส ที่ 1 จะต่อเพื่อตัดเสียงคลิกที่หูฟัง หน้าสัมผัสนี้จะต่อตลอดเวลากว่า Dial จะหมุนกลับที่เดิม) เมื่อ DIAL ถูกปล่อย PULSE DIAC (3) จะเริ่มหมุน ในขณะที่เริ่มหมุน หน้าสัมผัส ที่ 2 จะต่อ ทำให้ขณะนี้กระแสในสายมีค่าสูงสุด จากรูปที่ 2.13 ประกอบ เมื่อผู้หมุนปล่อยนิ้วสปริงจะดึงหน้าปิดกลับ ปีกของ PULSE DISC จะหมุน ทำการตัดต่อหน้าสัมผัส ที่ 2 จำนวนครั้งที่ตัดจะเท่ากับตัวเลขที่ทำการหมุน เช่น ทำการหมุนเลข 1 กระแสถูกตัด 1 ครั้ง ในรูปที่ 2.14 เป็นสัญญาณที่เกิดจากการหมุนเลข 2 (เลข 0 จะถูกตัด 10 ครั้ง) ค่าของ PULSE RATIO (MAKE /BREAK) เท่ากับ 60/40 ส่วนอัตราการส่งเลขหมาย จะใช้ 10 หรือ 20 PPS (PULSE PER SEC) ข้อเสียของการส่งเลขหมายแบบนี้คือใช้เวลาในการส่งเลขหมายนาน ค่าเฉลี่ย 1.5 วินาที/เลขหมาย และยังคงต้องมีการปฏิบัติบำรุงรักษาเป็นระยะ เช่น การทำความสะอาดหน้าสัมผัส , การปรับเทียบอัตราความเร็วในการส่งเลขหมาย



When the dial is pulled, contact 1 short-circuits the speech circuit. The dial-pulses would otherwise be heard as disturbing clicks in the receiver. Contact 1 does not break until the dial has returned to its rest position.

รูปที่ 2.12 เครื่องโทรศัพท์และการเชื่อมต่อกับชุมสาย

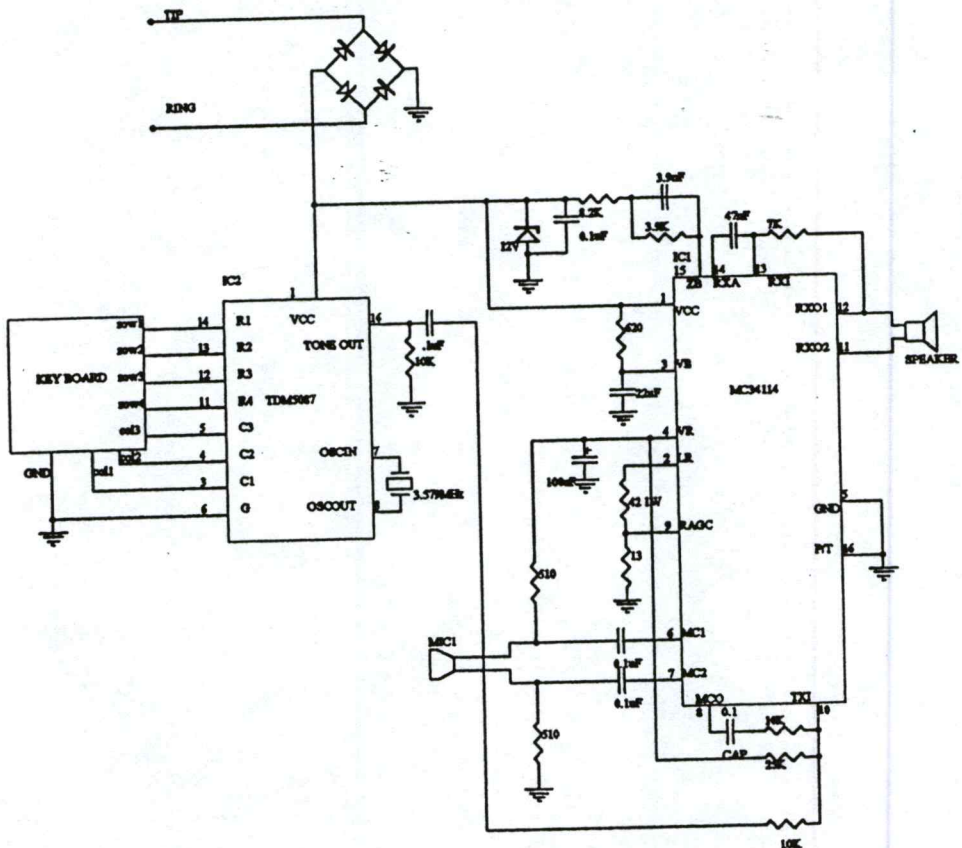


รูปที่ 2.13 การกำเนิดสัญญาณ โต้ดเลขหมายแบบ DIAL PULSE

2. แบบกดปุ่ม (PUSH BUTTON) สัญญาณโค้ดเลขหมายของเรียก ถูกส่งในรูปสัญญาณ 2 ความถี่ หรือ เรียกว่า DTMF (DUAL TONE MULTI FREQUENCY) ซึ่งมีข้อดี ในแง่ลดเวลา ในการส่งเลขหมายลงเฉลี่ย แล้วจะเหลือเพียง 0.7 วินาที / เลขหมาย ความผิดพลาดของโค้ดมี โอกาสน้อยมากเพราะมีการตรวจสอบความถี่ 2 ชุดพร้อม ๆ กัน นอกจากนั้น ยังสามารถให้จำนวน โค้ดได้มาก เช่น เพิ่มโค้ด (STAR) และ # (SQUARE) ซึ่งใช้ในการบริการพิเศษต่างๆเป็นต้น ไป เช่นบริการเลขหมายย่อ , ความถี่ที่กำหนดแบ่งออกเป็น 2 กลุ่ม คือกลุ่มความถี่สูงตั้งแต่ความถี่ 1205 HZ. เป็นต้นไปและกลุ่มความถี่ต่ำตั้งแต่ 942 Hz ลงมา ดังแสดงในรูปที่ 2.14 เมื่อปุ่มถูกกด หนึ่งปุ่ม ความถี่ 2 ความถี่จากกลุ่ม ความถี่สูงและกลุ่มความถี่ต่ำจะถูกส่งออกไปในสาย ค่าของ ความถี่ทั้งสองจะขึ้นอยู่กับปุ่มที่กด เช่น เมื่อ ทำการกดปุ่มหมายเลข 5 ความถี่ 770 HZ และ 1336 HZ ถูกส่งออกไปพร้อม ๆ กัน

การทำงานของวงจรถ้าเน็ด DIMF ใช้ IC TCM 5087

ภาคกำเนิด ความถี่ทำงานโดย IC ICM 5087 ซึ่งทำหน้าที่ผลิตความถี่ออกมาครั้งละ 2 ความถี่พร้อมกัน ตามตำแหน่งการกดปุ่มที่เครื่องโทรศัพท์ แล้วส่งออกที่ ขา 16 จากวงจรรภายใน IC ที่ขา 1 นี้ภายในเป็นขา อิมิตเตอร์ของทรานซิสเตอร์ซึ่งต่อลรอยไว้เมื่อต่อออกภายนอกจะต้องต่อตัวต้านทานให้กับทรานซิสเตอร์ ดังรูปที่ 2.14

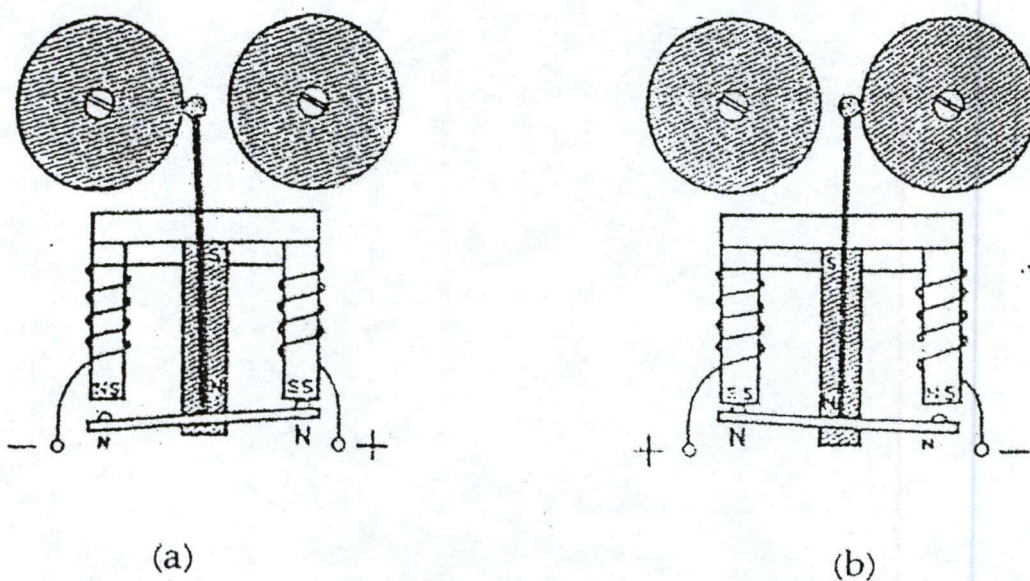


รูปที่ 2.14 วงจรผลิตสัญญาณ DTMF

ส่วนที่รับสัญญาณเรียก

1. แบบกระดิ่ง จากรูป 2.15 เมื่อผู้เช่าเป็นฝ่ายถูกเรียก (B SUBSCRIBER) สัญญาณเรียก (RINGING SIGNAL) ถูกส่งออกมาจากชุมสาย เป็นแรงไฟ AC ความถี่ 25 HZ ค่าแรงดันอยู่ในช่วง $70 \sim 90 \text{ V}_{\text{rms}}$ โดยการรวมเข้ากับไฟ DC 48 V. ในสภาพที่ผู้เช่าวางหูปกติ วงจรกระดิ่งจะถูกต่อกับสายโดยผ่าน CONDENSER ค่าประมาณ $1 \mu\text{F}$ ซึ่งจะทำหน้าที่กั้นไฟ DC ไม่ให้ผ่านวงจรกระดิ่ง แต่แรงไฟ AC จะผ่านไปยังขดลวดของกระดิ่งไฟฟ้าได้วงจรของกระดิ่งไฟฟ้าแสดงในรูปที่ 2.15 สัญญาณกระดิ่งเป็นสัญญาณที่เป็นส่งเป็นช่วง คือส่งสัญญาณ 1 วินาที และหยุด 4 วินาที กระแสที่ไหลผ่านขดลวด จะทำให้สนามแม่เหล็กที่ขั้วมากหรือน้อยขึ้นอยู่กับทิศทางกระแส ขั้ว S ของแกนและขั้ว N ของ ARMATURE เกิดจากการเหนี่ยวนำของแท่งแม่เหล็กถาวรที่อยู่ตรงกลาง ในรูป (a) ทิศทางกระแสทำให้ขั้วทางด้านขวามีความเป็นขั้วมากขึ้น ส่วนด้านซ้ายจะมีกำลังอ่อนลง ARMATURE จึงถูกดึงมาติดกระดิ่งทางด้านซ้าย เมื่อกระแสกลับทิศทาง ARMATURE ก็จะไปติดในทิศทางตรงกันข้าม ดังรูป (b)

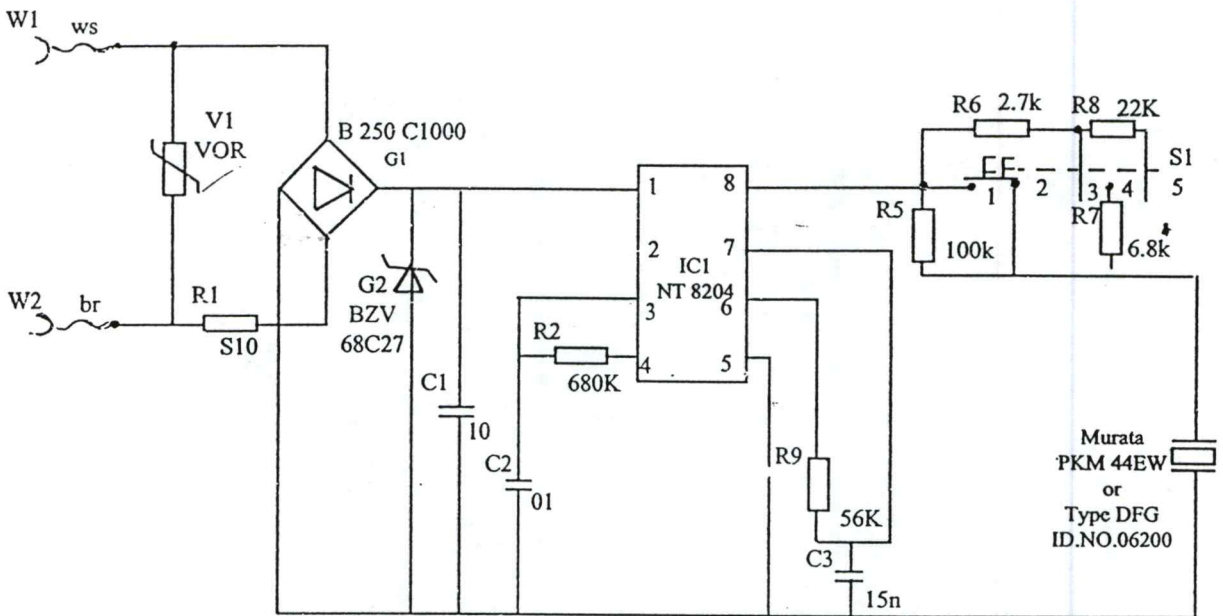
เมื่อผู้เช่าทำการยกหู HOOK SWITCH จะทำการต่อวงจรเสียงพูดเข้ากับสาย วงจรเสียง มีค่าความต้านทานทาง DC ต่ำ กระแสที่ไหลในสายจะทำให้ชุมสายทราบว่าผู้เช่ายกหู วงจรส่งสัญญาณกระดิ่งจะถูกตัดออก และชุมสายจะทำการต่อเส้นทาง เสียงพูดไปยังผู้เรียกให้พูดคุยกันได้



รูปที่ 2.15 วงจรกระดิ่ง

2.แบบ ELECTRONIC RINGER (TONE CALLER)

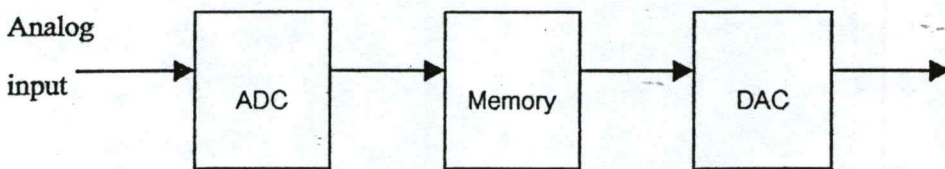
จะใช้วงจร ELECTRONIC แทนกระดิ่ง วงจรแสดงในรูปที่ 2.16 แรงไฟ AC 25 Hz. สัญญาณเรียกจะถูกนำมาแปลงให้เป็นแรงไฟกระแสตรง พร้อมทั้งลดขนาดของแรงดันลงโดย ZENER DIODE (G2) แรงไฟ DC นี้จ่ายให้กับ IC กำเนิดความถี่ 2 ความถี่ ซึ่งจะส่งสลับกันด้วยความถี่ประมาณ 10 HZ. สัญญาณ 2 ความถี่นี้จะส่งไปยัง TRANSDUCER ซึ่งในรูปใช้ PIEZO CERAMIA เสียงที่ได้จะได้ยินเป็นเสียงรัว 2 ความถี่ สวิตช์ S₁ ในสวิตช์เลื่อนปรับความดังของเสียง



รูปที่ 2.16 ELECTRONIC RINGER

2.4 การเปลี่ยนเสียง

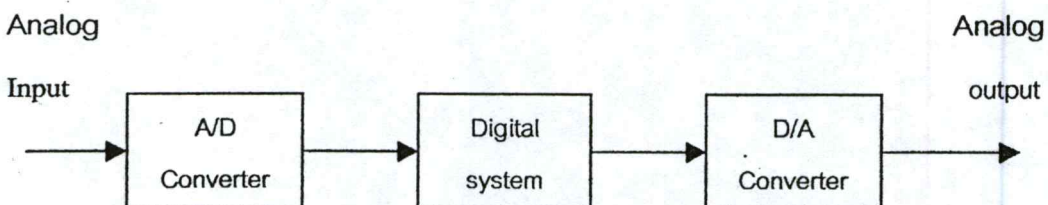
การเปลี่ยนเสียง คือการทำให้ผู้ฟังไม่สามารถตรวจจับได้ว่าใครกำลังพูด ไม่ใช่การพูดเสียง กระซิบ หรือกรองเสียงเบา ๆ แต่จริง ๆ แล้วเป็น การทำให้สัญญาณเสียงเปลี่ยนไป เช่น การเปลี่ยน ความถี่, การเปลี่ยนความเร็ว (Speed) ของเสียงให้มีความเร็วขึ้น หรือช้าลงกว่าความเร็วปกติ ซึ่งจะ ใช้หลักการ โดยการสุ่มสัญญาณ (Sampling) แล้วเปลี่ยนให้เป็นสัญญาณดิจิทัล และนำสัญญาณ ดิจิทัล มาทำการจัดใหม่ให้ความถี่ในการอ่านเร็วหรือช้ากว่าความถี่ในการสุ่มสัญญาณ สัญญาณเสียง ที่เอาท์พุทของ Digital-to-Analog Converter จะมีความเร็วที่ต่างจากอินพุท สัญญาณเสียงที่ได้จะ แตกต่างจากเสียงเดิม ฟังการทำงานมีส่วนประกอบตามรูปที่ 2.17



รูปที่ 2.17 ฟังการทำงานของชุดเปลี่ยนเสียง

D/C and A/D Conversion

ระบบดิจิทัลบ่อยครั้งจำเป็นต้องอินเทอร์เฟสกับเครื่องมือระบบอนาล็อกเนื่องจากสัญญาณ ดิจิทัลเป็นระดับสัญญาณที่มีระดับแรงดันเพียง 2 ระดับเท่านั้น แต่สัญญาณอนาล็อกมีสัญญาณที่ ไม่คงที่เปลี่ยนแปลงจากค่าต่ำสุดถึงค่าสูงสุดของแรงดันตลอดเวลาในรูปที่ 2.18 แสดงระบบที่มีอิน พุทและเป็นอนาล็อกที่มีแรงดันเปลี่ยนแปลงระหว่าง 0 ถึง 6 โวลต์ เข้ารหัสพิเศษเรียกว่า analog-to- digital converter เปลี่ยนอนาล็อกอินพุทให้เป็นสัญญาณดิจิทัล ทางเอาท์พุทของระบบดิจิทัลผ่าน ชุดถอดรหัส เปลี่ยนสัญญาณดิจิทัลให้เป็นอนาล็อก ชุดนี้เรียกว่า digital-to-analog converter



รูปที่ 2.18 การใช้ A/D และ D/A Converter ในระบบอิเล็กทรอนิกส์

Digital – to – Analog (D/A) และ Analog – Digital (A/D) Conversion ทั้งสองชนิดนี้สำคัญมากสำหรับ Digital data processing การเปลี่ยน ดิจิตอลเป็นอนาล็อก หมายถึงการเปลี่ยนข้อมูลทางดิจิตอลให้เป็นข้อมูลการเปรียบเทียบทาง อนาล็อก ได้

วิธีการเปลี่ยนสัญญาณอนาล็อกให้เป็นสัญญาณดิจิตอลคือการใช้ชุดสำรับของ A/D Converter ตัวอย่างเช่น A/D Converter ที่ใช้เปลี่ยนสัญญาณเอาต์พุต ที่เป็นอนาล็อก โดยใช้ทรานสดิวเซอร์ (transducer) (การวัดอุณหภูมิ ความกดดัน (pressure) การสั่น (Vibration) และอื่น ๆ) ให้เป็นสัญญาณดิจิตอล สัญญาณนี้จะต้องเหมาะสมในการเปลี่ยนฟอร์มที่จะจ่ายให้ระบบดิจิตอล A/D Converter (ADC) บ่อยครั้งจะเปรียบได้กับอุปกรณ์การเข้ารหัส ซึ่งใช้สำหรับ เข้ารหัสสัญญาณสำหรับจ่ายให้แกระบบดิจิตอล

Digital – to – Analog Conversion ในการออกแบบจะง่ายกว่า Analog – to – Digital Conversion ในความจริง D/A Converter ก็ส่วนหนึ่งของ A/D Converter ด้วยเหตุผลนี้เราจะพิจารณา D/A Conversion ก่อน

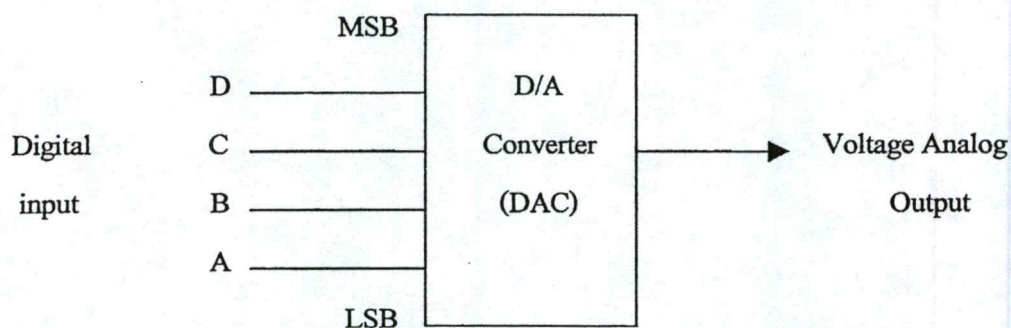
ปัญหาเบื้องต้นในการเปลี่ยนสัญญาณดิจิตอล ให้เป็นสัญญาณอนาล็อกคือการเปลี่ยนระดับแรงดันดิจิตอลจำนวน n ให้เป็น อนาล็อกเดคค่าเดียว วิธีการง่าย ๆ ที่สามารถ ใช้ได้คือการออกแบบด้วย resistive network ซึ่งจะเปลี่ยนแต่ละระดับของสัญญาณดิจิตอล ให้เป็น binary weighted voltage (หรือ current) จากตัวอย่างของการหา equivalent binary weight พิจารณา truth – table ของ 3 bit binary signal ในตาราง สมมุติ ว่าเราต้องการเปลี่ยน สัญญาณดิจิตอล 8 ค่าให้เป็นอนาล็อก โวลต์เดจ จำนวนที่น้อยที่สุดคือ 000 ซึ่งเราจะให้เป็น 0 โวลต์ จำนวน สูงสุด คือ 111 เราจะให้เท่ากับ + 7 โวลต์ ซึ่งจะเป็นย่านของสัญญาณ อนาล็อก ซึ่งจะเป็นไปได้

| 2^2 | 2^1 | 2^0 |
|-------|-------|-------|
| 0 | 0 | 0 |
| 0 | 0 | 1 |
| 0 | 1 | 0 |
| 0 | 1 | 1 |
| 1 | 0 | 0 |
| 1 | 0 | 1 |
| 1 | 1 | 0 |
| 1 | 1 | 1 |

ระหว่างค่า 000 ถึง 111 จะมี 7 ระดับ ดังนั้นเราจะหารค่า analog signal ด้วย 7 ค่าต่ำสุดของ สัญญาณดิจิทัล คือ least-significant bit (LSB) 2^0 ดังนั้นเราจะได้ บิตนี้ เปลี่ยนค่า อนาล็อกเอาต์พุต ซึ่งเท่ากับ $1/7$ ของ full - scale analog output voltage resistive divider จะออกแบบในตำแหน่ง 2^0 เท่ากับ $+7 \times 1/7 = +1 \text{ V}$ เมื่อ $2^1 = 2$ และ $2^0 = 1$ สามารถแทน บิต 2^1 ได้เป็น 2 เท่าของ บิต 2^0 ดังนั้นในตำแหน่งของ 2^1 จะมีการเปลี่ยนแรงดันอนาล็อก 2 เท่าของ LSB resistive divider ในตำแหน่งของ บิต 2^1 จะเปลี่ยน $+7 \times 2/7 = +2\text{V}$ ของแรงดันเอาต์พุต ในทำนองเดียวกัน $2^2 = 4 = 2 \times 2^1 = 4 \times 2^0$ และ บิต 2^2 จะมีแรงดันเปลี่ยนเป็น 4 เท่าของ LSB โดยที่ บิต 2^2 จะมี แรงดันเอาต์พุต เปลี่ยน $+7 \times 4/7 = +4 \text{ V}$ แต่ละตำแหน่งของบิตที่เพิ่มขึ้นจะเป็น 2 เท่าของ บิตก่อน ดังนั้นที่ ตำแหน่ง LSB จะให้ binary equivalent weight $1/7$ หรือ 1 ใน 7 ส่วน LSB ตำแหน่งที่ 2 จะให้ weight เป็น $2/7$ หรือ 2 เท่าของ LSB หรือ $2/7$ ส่วน ที่ตำแหน่ง MSB (กรณีนี้ใช้ 3 บิต) จะให้ weight เป็น $4/7$ ซึ่งจะเท่ากับ 4 เท่าของ LSB หรือ 4 ใน 7 ส่วน ผลบวกของ weight จะต้องเท่ากับ 1 คือ $1/7 + 2/7 + 4/7 = 7/7 = 1$ โดยทั่วไป binary equivalent weight สำหรับ LSB คือ $1/2^n - 1$ เมื่อ n คือ จำนวน bit จะพบว่า weight จะคูณด้วย 2, 4, 8 และ...

อนาล็อกเอาต์พุต (Analog output)

แรงดันเอาต์พุต (V_{out}) จะต้องเท่ากับค่า เลขฐาน 2 ทาง อินพุต เป็นแรงดันในทำนองเดียวกัน สามารถแทนด้วยค่ากระแสได้ ถ้า D/A output เป็นค่ากระแส (I_{out})



รูปที่ 2.19 D/A Converter

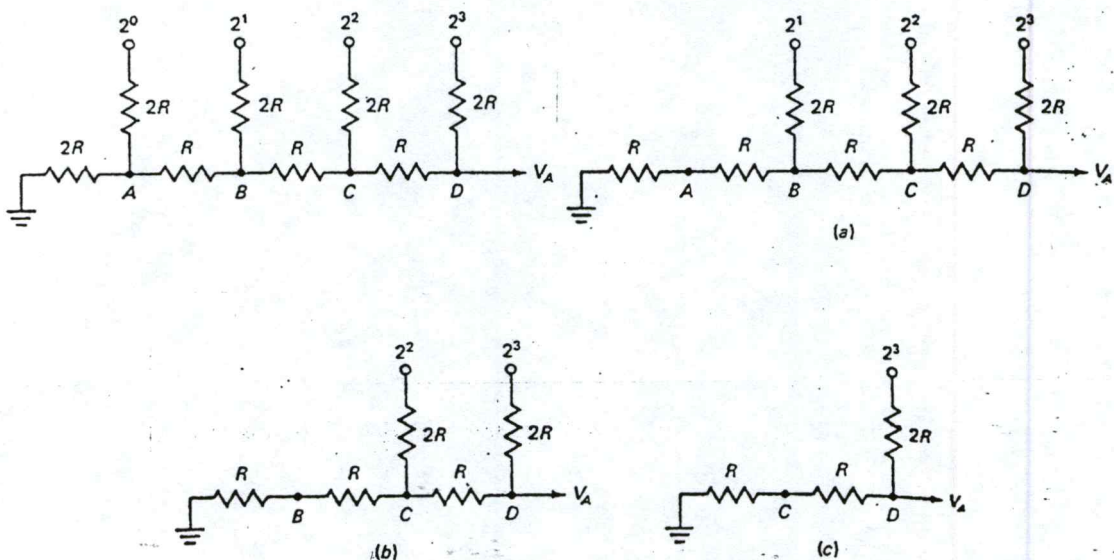
| D | C | B | A | Vout (Volt) |
|---|---|---|---|-------------|
| 0 | 0 | 0 | 0 | 0 |
| 0 | 0 | 0 | 1 | 1 |
| 0 | 0 | 1 | 0 | 2 |
| 0 | 0 | 1 | 1 | 3 |
| 0 | 1 | 0 | 0 | 4 |
| 0 | 1 | 0 | 1 | 5 |
| 0 | 1 | 1 | 0 | 6 |
| 0 | 1 | 1 | 1 | 7 |
| 1 | 0 | 0 | 0 | 8 |
| 1 | 0 | 0 | 1 | 9 |
| 1 | 0 | 1 | 0 | 10 |
| 1 | 0 | 1 | 1 | 11 |
| 1 | 1 | 0 | 0 | 12 |
| 1 | 1 | 0 | 1 | 13 |
| 1 | 1 | 1 | 0 | 14 |
| 1 | 1 | 1 | 1 | 15 |

ตารางที่ 2.2 ตารางแสดง 4 บิตดิจิตอลทูลอนาล็อก

BINARY LADDER

binary ladder คือ resistive network ที่มี แรงดันเอาต์พุตเกี่ยวข้องกับผลรวมของ weight ของ ดิจิตอลอินพุต ทั้งหมด ตัวอย่างของ ladder สำหรับ บิต ดังแสดงในรูป ความต้านทาน ที่ใช้มี เพียง 2 ค่าเท่านั้น ทางซ้ายมือสุดของ ladder ใช้ค่า $2R$ และเราจะต้องสมมุติให้ขณะนี้ทางขวามือสุดของ ladder (output) เป็นวงจรเปิด

ต่อไปเราจะแสดงคุณสมบัติของ network การสมมุติให้ ดิจิตอลอินพุตทั้งหมดเทียบกับ กราวนด์ เริ่มต้นที่ โหนด A ผลรวมของค่าความต้านทานที่ อินพุต 2^0 มีค่าเป็น $2R$ ด้วย ความต้านทาน ทั้ง 2 ตัวนี้ สามารถรวมกันได้ในรูปแบบของ equivalent resistor ดังรูปที่ 2.20



รูปที่ 2.20 Binary ladder

ต่อไปการเลื่อนถึง โหนด B เราจะเห็นผลรวมของ ความต้านทาน การมองเข้าไปที่สาขาถึง โหนด A คือ $2R$ คล้ายกับผลรวมของ ความต้านทานที่ทางออกคือ อินพุต 2^1 สามารถรวมกันได้ ง่ายๆ ดังรูป(b)

จากรูป (b) สามารถมองเห็นผลรวมของ ค่าความต้านทานโดยการมองจาก โหนด C ไปทาง โหนด B หรือมองออกไปทางสาขาของอินพุต 2^2 ก็ยังคงเป็น $2R$ วงจรในรูป (b) สามารถลดลง ให้ เป็นวงจร เปรียบเทียบได้ดังแสดงในรูป (c)

จากวงจรเปรียบเทียบนี้เป็นการเคลียร์(Clear)ว่าค่าความต้านทานที่มองจาก โหนด D ไปทาง โหนด C คือค่า $2R$ เหมือนความต้านทานที่มองจาก โหนด D ไปที่สาขาอินพุต 2^3

จากการพิจารณาที่ผ่านมาเราสามารถกล่าวได้ว่าผลรวมของค่าความต้านทานที่มองจากทุกๆ โหนดไปทางสาขาของโหนดอื่นๆ คือ $2R$ เราสามารถใช้ลักษณะสมบัติของค่าความต้านทานของ ladderหา แรงดันเอาต์พุตสำหรับค่าดิจิทัลเอาต์พุตต่างๆกันได้

สมการของแรงดันเอาต์พุตหาได้โดย

$$V_A = V/2 + V/4 + V/8 + V/16 + \dots + V/2^n$$

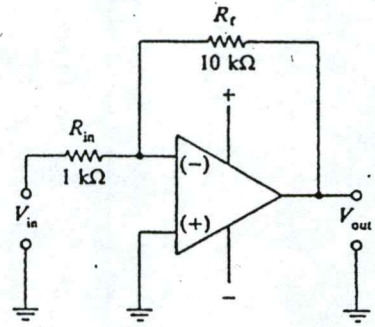
เมื่อ n คือผลรวมของจำนวน bit ทาง input

D/A Converter จะประกอบด้วย 2 ฟังก์ชัน ซึ่งประกอบด้วย resIter network และ summing amplifier

summing amplifier ใน D/A Converter ที่ใช้ Op-Amp Op-Amp เหล่านี้ จะทำหน้าที่ขยายได้หลายอย่าง ซึ่งมีลักษณะสมบัติสำคัญดังต่อไปนี้

1. High Input Impedance
2. Low output Impedance
3. voltage gain เปลี่ยนแปลงได้โดยใช้ตัวต้านทานภายนอก

ตามเหลี่ยมที่ใช้แสดงสัญลักษณ์ของ Op-Amp ดังแสดงในรูปที่ อินพุตทั้ง 2 จะแสดงขั้ว (-) และ(+) อินพุต(-)เรียกว่า Inverting Input และอินพุต(+) เรียกว่า nonInverting Input เอาท์พุทจะมีเพียง 1 ทาง Op-Amp ต้องการ power dc 2 ขุด ดังแสดงใน รูปที่ 2.21



รูปที่ 2.21 Op-Amp

Voltage gain ของ Op-Amp (Av) สามารถหาได้หรือสามารถปรับ โดยตัวต้านทานภายนอกหาได้จากสูตร

$$Av = Rf/RIn \text{ หรือ } Vout/VIn$$

สมมุติแรงดันอินพุต = 3.7 V. และแรงดัน Output = 1 V.

$$Av = Vout /Vin = 1/3.7 = 2.6$$

Gain Av ของ Op-amp คือ 0.266 หรือน้อยกว่า 1 ให้พิจารณารูป 2.23 noninverting input ต่อลงกราวนด์ Power Supply 2 ขุด คือ +12V และ -12V หมายถึง แรงดันอินพุตที่ Rin เป็น (+) Positive voltage เนื่องจากใช้ inverting input ดังนั้น Output ทางขวามือของ op amp จึงเป็น (-) Negative voltage ในวงจรเดิมถ้าใช้ noninverting input (+) แทน inverting input (-) ก็หมายความว่าถ้าจ่าย(+) positive voltage (Vin) ทางอินพุทให้แก่ op amp จะได้ (+) poaitive voltage ออกทาง output(Vout)

ด้วย voltage gain ของ opamp สามารถเปลี่ยนง่าย ๆ โดยใช้การเปลี่ยนอัตราส่วนระหว่างค่าของ input และ feedback resistor opamp วิธีนี้จะถูกนำมาใช้ใน summing amplifier ของ D/A Converter

A-Basic D/A Converter

สมมุติว่า digital to analog converter มีสัญญาณตาม truth table 2.3 ในตารางนี้แรงดันอนาล็อก จะเพิ่มขึ้นจาก 0-6 โวลต์ แต่ละค่าที่เพิ่มขึ้นของ binary count แรงดัน analog จะเพิ่มขึ้น 0.4 V โวลต์ ตัวอย่างเช่น binary count เพิ่มจาก 0001 เป็น 0010 แรงดัน analog เพิ่มจาก 0.4 V เป็น 0.8V วงจรพื้นฐานของ D/A converter ดังตารางที่ 2.3 จะประกอบด้วย 2 วงจร resistor network และ summing amplifier แรงดันอินพุต (V_{in}) จะจ่ายผ่าน สวิตช์ (D,C,B,A) อนาล็อกเอาต์พุต (V_{out}) ใช้ โวลท์มิเตอร์แสดงผล จะเปลี่ยนแปลง ตามรูปที่ 2.22

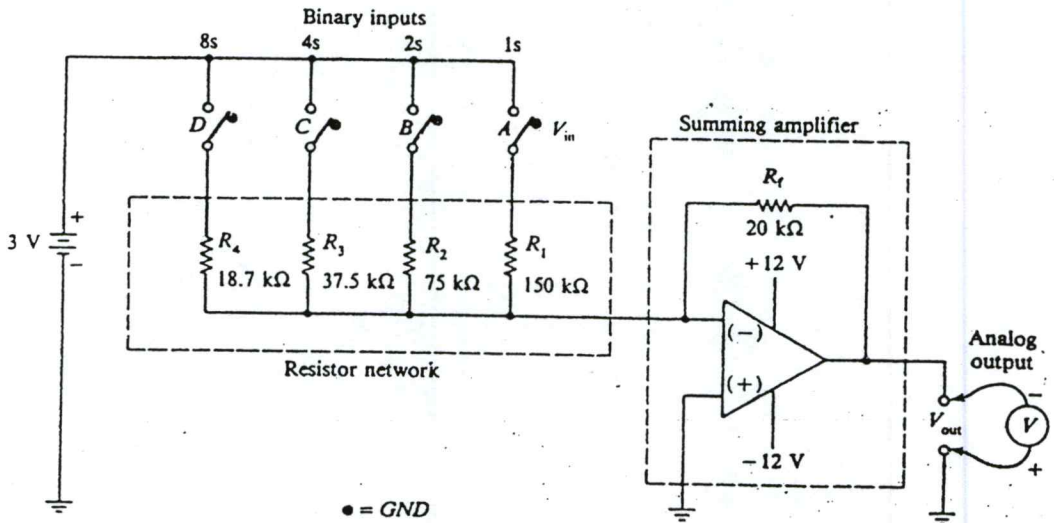
| Line | Binary input | Annalog output | Line | Binary input | Annaalog output |
|------|--------------|----------------|------|--------------|-----------------|
| | D C B A | Vout | | D C B A | Vout |
| 1 | 0 0 0 0 | 0 | 9 | 1 0 0 0 | 3.2 |
| 2 | 0 0 0 1 | 0.4 | 10 | 1 0 0 1 | 3.6 |
| 3 | 0 0 1 0 | 0.8 | 11 | 1 0 1 0 | 4.0 |
| 4 | 0 0 1 1 | 1.2 | 12 | 1 0 1 1 | 4.4 |
| 5 | 0 1 0 0 | 1.6 | 13 | 1 1 0 0 | 4.8 |
| 6 | 0 1 0 1 | 2.0 | 14 | 1 1 0 1 | 5.2 |
| 7 | 0 1 1 0 | 2.4 | 15 | 1 1 1 0 | 5.6 |
| 8 | 0 1 1 1 | 2.8 | 16 | 1 1 1 1 | 6.0 |

ตารางที่ 2.3 Truth - table for D/A converter

พิจารณาสถานะต่างๆในตารางที่ 2.3 เมื่อ binary input คือ 0000 สวิตช์ทุกตัวต่อลงกราวนด์ ดังนั้น $V_{in} = 0 V$ และ $V_{out} = 0 V$ ต่อไปพิจารณาเฉพาะ สวิตช์ A ครั้งแรกคำนวณ เกณฑ์ของ op amp เมื่อ feedback resistor (R_f) = 20 k และ input resistor (R_i) = 150 k

$$A_v = R_f / R_{in} = 20000 / 150000 = 0.133$$

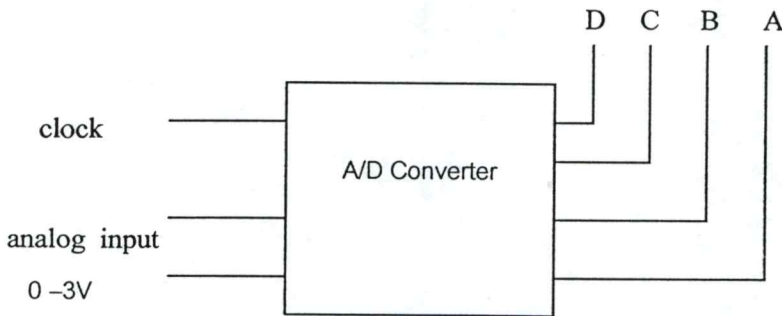
Voltage gain (A_v) ของ op amp จะถูกปรับให้เป็น 0.133 เมื่อ สวิตช์ A ต่อ แรงดันเอาต์พุตสามารถคำนวณได้ดังนี้ $V_{out} = V_{in} \times A_v = 3 \times 0.133 = 0.4 V$



รูปที่ 2.22 วงจร D/A Converter

Analog To Digital Converters

Analog To Digital (A/D converter) คือการทำให้กลับกันของ D/A converter โดย analog voltage ที่ไม่ทราบค่าป้อนให้แก่วงจร A/D converter แล้วได้สัญญาณทางเอาต์พุตเป็น ฐาน 2 ค่า ฐาน 2 ที่จะได้เป็นอัตราส่วนโดยตรงกับอนาล็อกทางอินพุต ของ A/D converter แสดงในรูปที่ 2.23 ที่มีการเปลี่ยน A/D analog output จาก 0-3V binary output จะอ่านเป็นค่า ฐาน 2 จาก 0000 ถึง 1111 หมายถึง A/D converter จะต้องมี clock input ด้วย



รูปที่ 2.23 A/D Converter

ในรูป 2.23 แสดงการทำงานของ A/D converter ทางด้าน input ในตารางแสดงถึง analog voltage และ output แสดงเป็น binary หมายถึง input voltage จะเปลี่ยนทีละ 0.2 V binary output จะเพิ่มขึ้น 1 ค่า โดย A/D converter ในตารางที่ 2.4 จะตรงกันข้ามกับ D/A converter ในตาราง ที่ 2.3

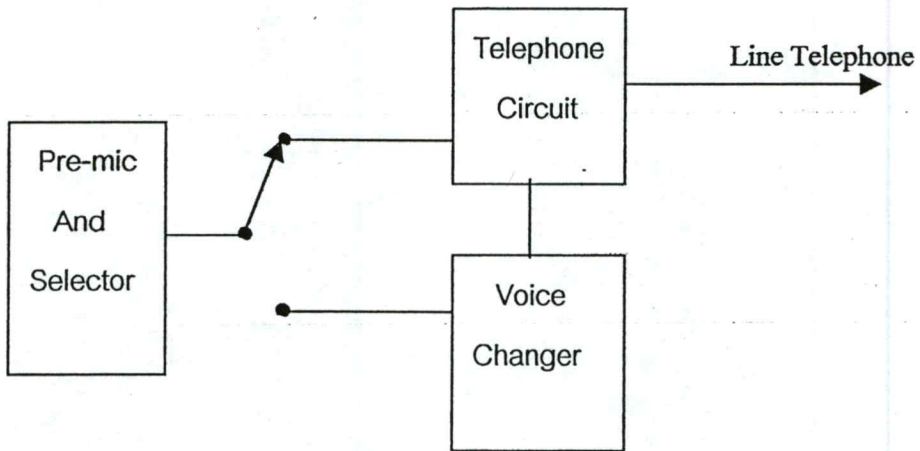
| Row | Analog input V_{in} | Binary output | | | | Row | Analog input V_{in} | Binary output | | | |
|-----|--------------------------|---------------|----|----|----|-----|--------------------------|---------------|----|----|----|
| | | 8s | 4s | 2s | 1s | | | 8s | 4s | 2s | 1s |
| | | D | C | B | A | | | D | C | B | A |
| 1 | 0 | 0 | 0 | 0 | 0 | 9 | 1 | 0 | 0 | 0 | |
| 2 | 0.2 | 0 | 0 | 0 | 1 | 10 | 1 | 0 | 0 | 1 | |
| 3 | 0.4 | 0 | 0 | 1 | 0 | 11 | 1 | 0 | 1 | 0 | |
| 4 | 0.6 | 0 | 0 | 1 | 1 | 12 | 1 | 0 | 1 | 1 | |
| 5 | 0.8 | 0 | 1 | 0 | 0 | 13 | 1 | 1 | 0 | 0 | |
| 6 | 1.0 | 0 | 1 | 0 | 1 | 14 | 1 | 1 | 0 | 1 | |
| 7 | 1.2 | 0 | 1 | 1 | 0 | 15 | 1 | 1 | 1 | 0 | |
| 8 | 1.4 | 0 | 1 | 1 | 1 | 16 | 1 | 1 | 1 | 1 | |

ตารางที่ 2.4 Truth – table for A/D converter

บทที่ 3

แนวทางการออกแบบและการสร้าง

ในโครงการนี้จะมีส่วนประกอบหลัก 3 ส่วนด้วยกันตามผังดังรูปที่ 3.1



รูปที่ 3.1 ผังของโครงการ

3.1 ส่วนของตัวเครื่องโทรศัพท์ (Telephone Set)

เครื่องโทรศัพท์ที่มีส่วนประกอบสำคัญดังนี้

3.1.1 วงจรเสียงพูด (Speech Network) ทำหน้าที่แปลงสัญญาณจากระบบทวิไวร์เป็นระบบโฟร์ไวร์ ขยายสัญญาณทั้งด้านรับและด้านส่ง ควบคุมระดับไซค์โทน วงจรเสียงพูดนี้จะใช้ไอซีเบอร์ MC34114

3.1.2 วงจรส่งเสียงพูด (Transmitter) เป็นส่วนที่ส่งเสียงพูดของผู้ใช้ไปยังคู่สนทนาโดยใช้ไมโครโฟนแปลงเสียงพูดเป็นสัญญาณไฟฟ้าผ่านวงจรเสียงพูดไป

3.1.3 วงจรรับเสียงพูด (Receiver) ใช้ลำโพงเพื่อแปลงสัญญาณไฟฟ้าที่มาจากสายโทรศัพท์ให้เป็นเสียง (Voice) ตามเดิม

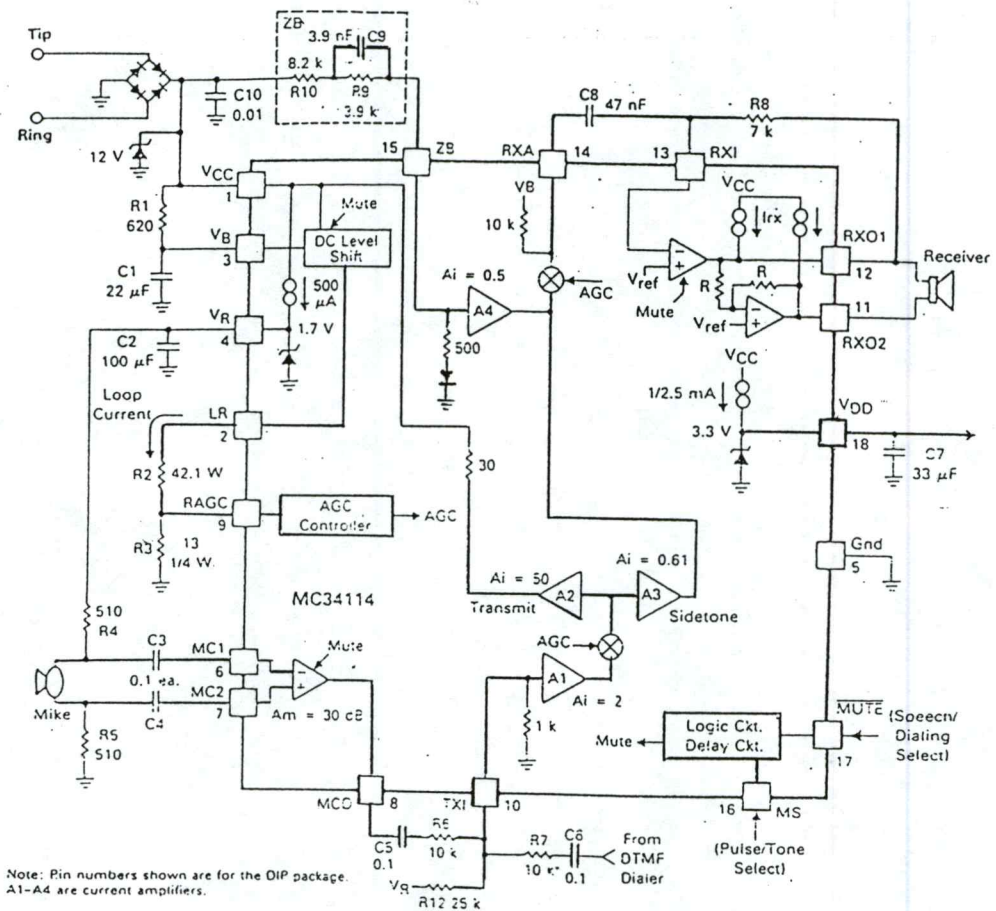
3.1.4 ไดอัลเตอร์ (Dialer) ทำหน้าที่กำเนิดสัญญาณหมายเลขโทรศัพท์ เพื่อส่งไปยังชุมสายโทรศัพท์ ซึ่งเครื่องโทรศัพท์ในโครงการนี้ใช้เป็นแบบโทน

3.1.5 วงจรกระดิ่ง (Ringer) ทำหน้าที่ตรวจจับสัญญาณเรียกจากชุมสายโทรศัพท์ แล้วแปลงเป็นสัญญาณเสียงเพื่อให้ผู้ใช้ทราบว่ามีผู้ต้องการจะติดต่อด้วย

3.1.6 สุกสวิทช์ (Hook Switch) ทำหน้าที่ตัดต่อเครื่องโทรศัพท์เข้ากับคู่สาย มี 2 สถานะ คือสถานะยกหู (Off Hook) และสถานะการวางหู

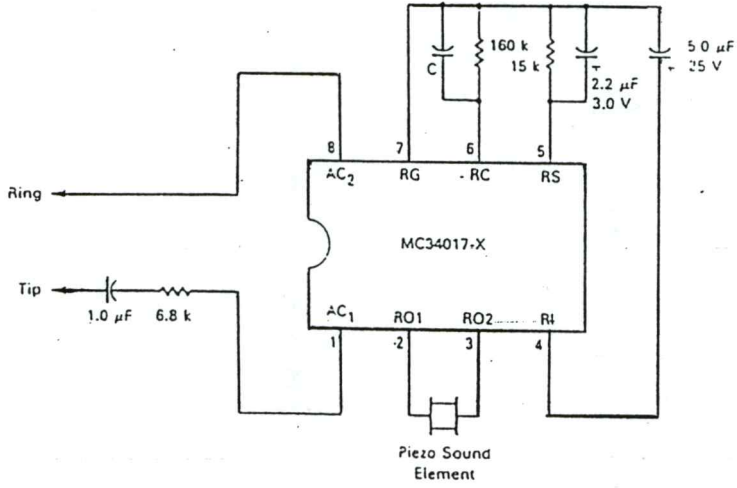
3.1.7 วงจรบริดจ์ (Polar Guard Bridge) ทำหน้าที่ผ่านกระแสไฟตรงจากคู่สายไปเลี้ยงวงจร และป้องกันการกลับขั้วของกระแสไฟ นอกจากนี้ยังทำหน้าที่ผ่านสัญญาณไฟฟ้าทั้งด้านบวกและลบไปในวงจร รวมทั้งเป็นส่วนสร้างกราวด์ให้แก่เครื่องโทรศัพท์

ในส่วนของวงจรเสียงพูด วงจรส่งเสียงพูด วงจรรับเสียงพูด จะใช้ไอซีเบอร์ MC34114 ร่วมกับไมโครโฟนและลำโพง ซึ่งจะได้เป็นวงจรดังรูปที่ 3.2



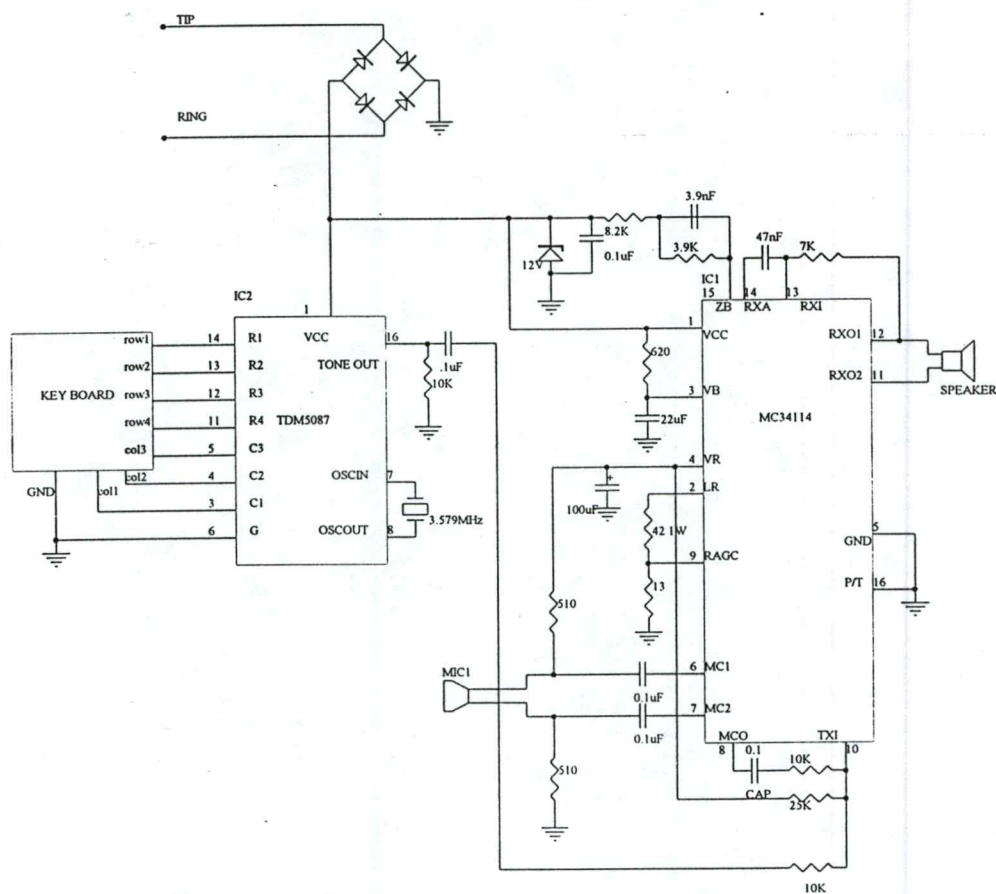
รูปที่ 3.2 วงจรเสียงพูด

วงจรกระตุ้นจะใช้ไอซีเบอร์ MC34017 จะได้วงจรรูปที่ 3.3



รูปที่ 3.3 วงจรกระตุ้น

วงจรไดอัลเลอร์ จะใช้ไอเบอร์ TCM5087 ทำการสร้างสัญญาณเลขหมายส่งให้กับวงจรเสียงพูด และเมื่อรวมเอาส่วนต่างๆของโทรศัพท์ก็จะได้เป็นรูปวงจรรวมดังรูปที่ 3.4



รูปที่ 3.4 วงจรรวมของเครื่องโทรศัพท์

3.2 ส่วนของชุดเปลี่ยนเสียง

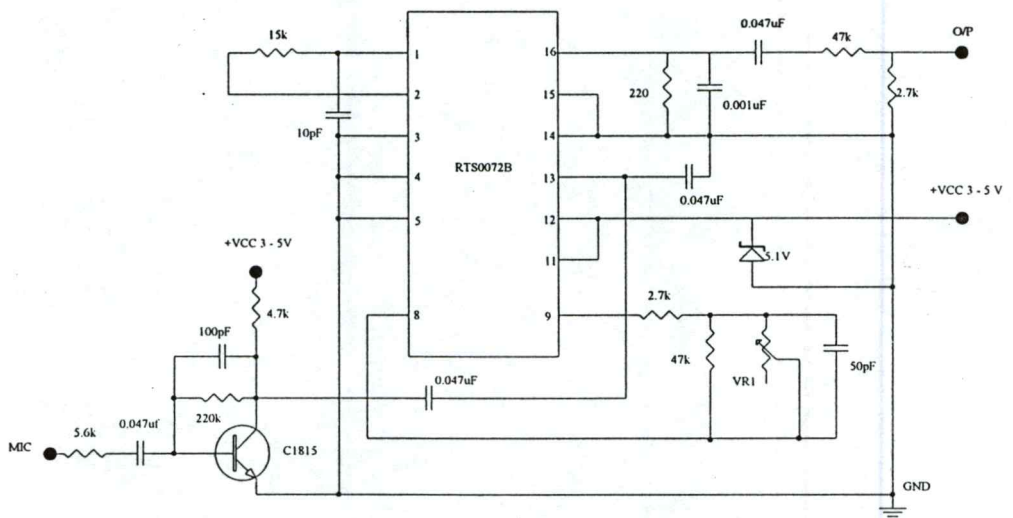
ชุดเปลี่ยนเสียงจะประกอบด้วยส่วนสำคัญ 3 ส่วนดังนี้

3.2.1 วงจรปรีไมค์ (Pre-microphone) ทำหน้าที่ขยายสัญญาณเสียงพูดจากไมโครโฟนให้แรงขึ้น

3.2.2 วงจรเปลี่ยนเสียงพูด (Voice) ทำหน้าที่เปลี่ยนเสียงพูดเพื่อไม่ให้ผู้อื่นจำเสียงได้ วงจรนี้จะใช้ไอซีเบอร์ RTS0072 เป็นตัวปรับความถี่เสียง

3.2.3 วงจรขยายเสียง (Audio amp.) ทำหน้าที่ขยายสัญญาณเสียงที่ผ่านการเปลี่ยนเสียงมาแล้วให้มีความแรงมากขึ้น

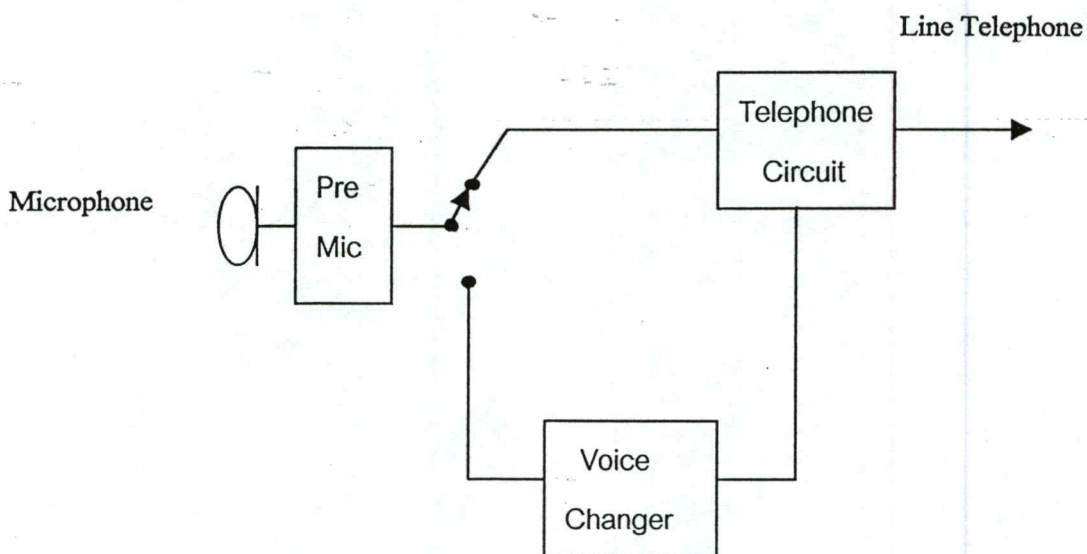
เมื่อรวมทั้ง 3 ส่วนเข้าด้วยกันจะได้วงจรรวมดังรูปที่ 3.5



รูปที่ 3.5 วงจรชุดเปลี่ยนเสียงพูด

3.3 การต่อร่วมกับเครื่องรับโทรศัพท์

การต่อชุดเปลี่ยนเสียงเข้ากับชุดโทรศัพท์ จะต่อสัญญาณเอาต์พุตของวงจรขยายเสียงเข้าที่ขา 10 ของชุดโทรศัพท์ (ไอซีเบอร์ MC34114) และจะใช้สวิทช์ เป็นตัวตัดต่อสัญญาณจากไมโครโฟนว่า จะต้องการต่อเข้าวงจรเสียงพูดโดยตรง กรณีไม่ต้องการเปลี่ยนเสียง หรือต่อเข้าวงจรเปลี่ยนเสียง กรณีที่ต้องการเปลี่ยนเสียงพูด ดังแสดงตามรูปที่ 3.6



รูปที่ 3.6 แสดงการต่อชุดเปลี่ยนเสียงพูดเข้ากับวงจร โทรศัพท์

บทที่ 4

การทดลองและผลการทดลอง

วงจรที่สร้างขึ้นและใช้ในการทดลองจะมี 2 ชุดคือ

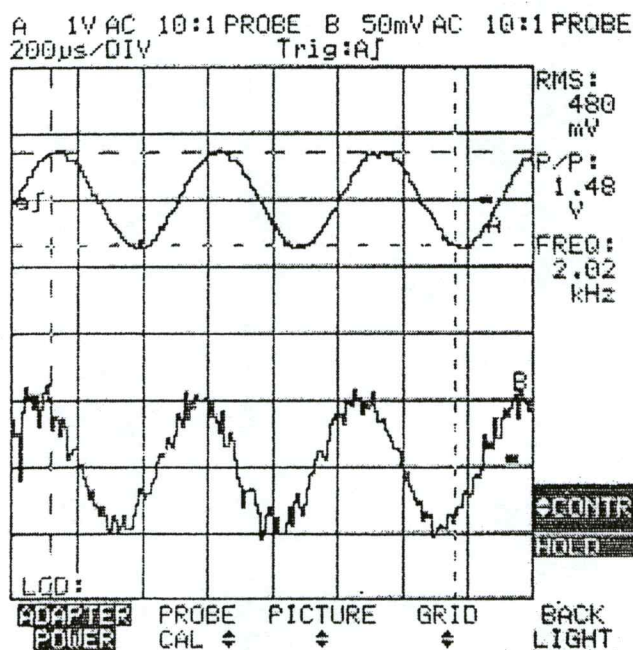
- ชุดโทรศัพท์
- ชุดเปลี่ยนเสียงพูด

4.1 การทดลองชุดเครื่องโทรศัพท์

4.1.1 การทดลองวงจรเสียงพูด

ขั้นตอนการทดลอง

1. ต่อวงจรตามรูปที่ 2.11 ซึ่งเป็นวงจรเสียงพูดที่สำหรับส่งและรับเสียงพูด
2. ต่อไฟตรง 12 โวลท์เข้าที่วงจรบริดจ์จะได้ไฟเลี้ยงให้แก่วงจร
3. ทำการป้อนสัญญาณไซน์เวฟความถี่ 2 KHz ที่ตำแหน่งที่เป็นไมโครโฟนอินพุต ของวงจรเสียงพูด (ขา 6,7 ของไอซี MC34114) แล้วทำการวัดเอาต์พุตที่ออกจากวงจรเสียงพูดที่ขา 1 และจะได้สัญญาณเอาต์พุตดังรูป 4.1

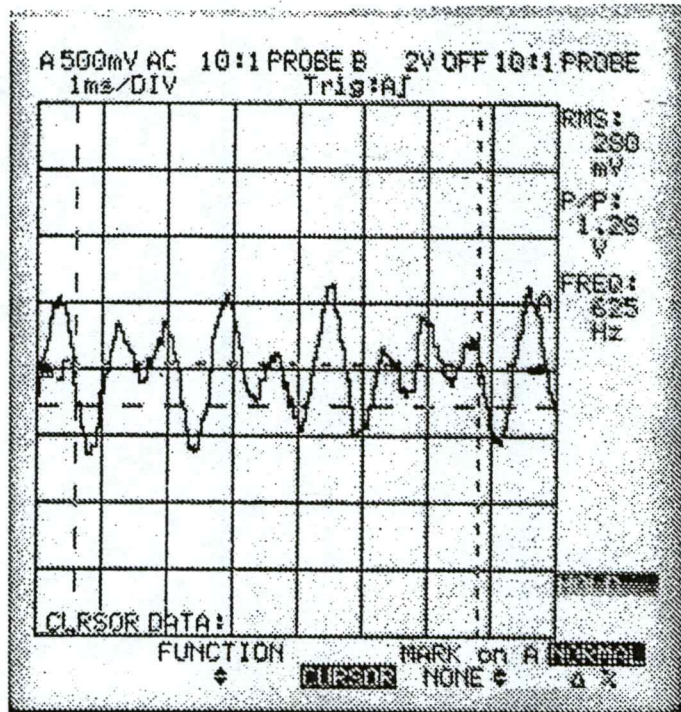


รูปที่ 4.1 กราฟแสดงสัญญาณอินพุตและเอาต์พุตของวงจรเสียงพูด

4.1.2 การทดลองวงจรไดอัลเลอร์

วงจรไดอัลเลอร์จะใช้ไอซีเบอร์ TCM5087 ใช้ร่วมกับวงจรเสียงพูดทำการต่อวงจรตามรูปที่ 2.14

การทดลองจะใช้การป้อนไฟตรงเข้าที่วงจรบริดจ์ และทำการทดลองกดปุ่มหมายเลข 1 บนแป้นหมายเลข วัดสัญญาณเอาต์พุตที่ขา 16 ของไอซี TCM5087 จะได้ผลของสัญญาณความถี่คู่ของหมายเลขต่างๆตามรูปที่ 4.2



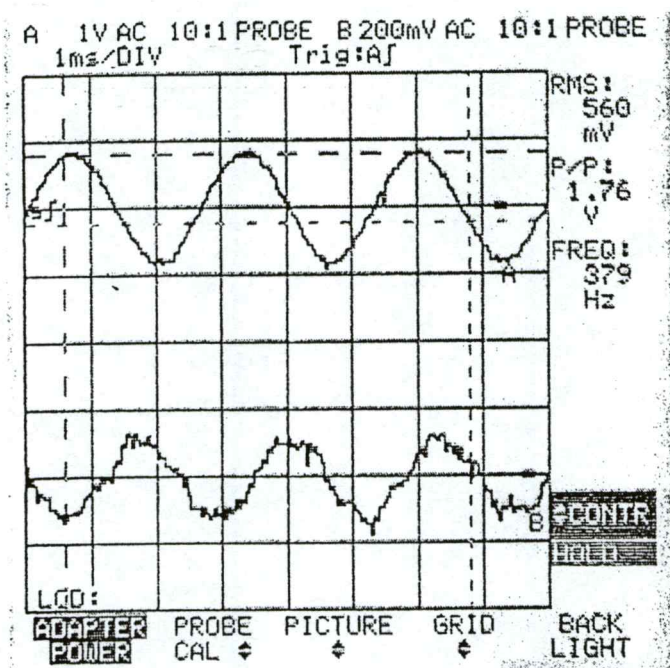
รูปที่ 4.2 สัญญาณความถี่คู่ที่ได้จากการกดหมายเลข 1

4.2 การทดลองชุดเปลี่ยนเสียงพูด

วงจรเปลี่ยนเสียงพูดจะใช้ไอซีเบอร์ RTS 0072B ใช้ร่วมกับวงจรเสียงพูด ทำการต่อวงจรตามรูปที่ 3.5

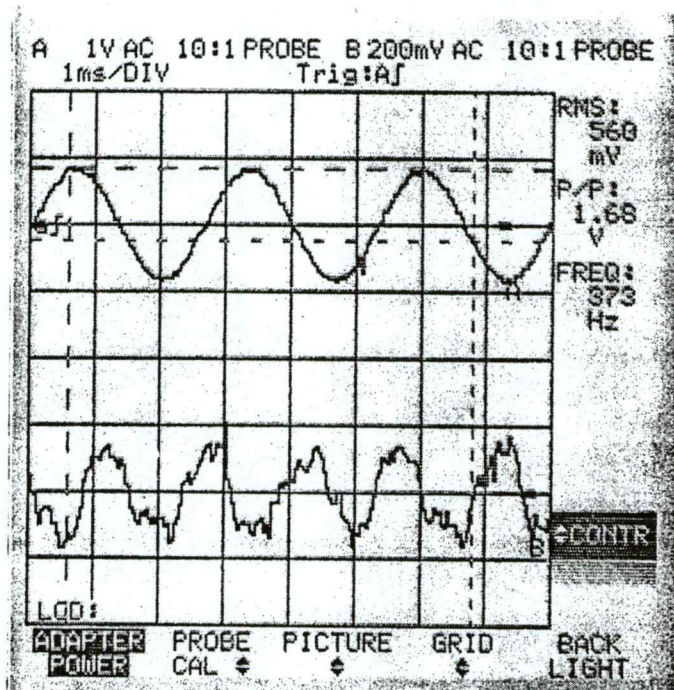
ขั้นตอนการทดลอง

1. ต่อไฟตรง 12 โวลต์เข้าที่วงจรบริดจ์จะได้ไฟเลี้ยงให้แก่วงจร
2. ป้อนสัญญาณไซน์เวฟ ความถี่ 400 Hz เข้าที่ไมโครโฟน
3. ปรับ VR ไว้ที่ตำแหน่งต่ำสุด
4. วัดสัญญาณเอาต์พุตของวงจรเสียงพูด (ขา 1 ของไอซี MC34114) จะได้ผลตามรูปที่ 4.3



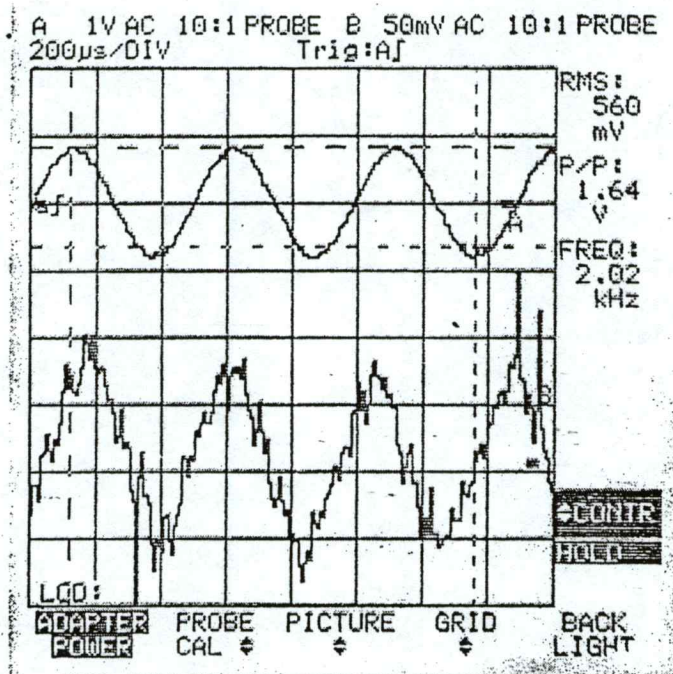
รูปที่ 4.3 กราฟเปรียบเทียบระหว่างอินพุตกับเอาต์พุต ที่ความถี่ 400 Hz VR ต่ำสุด

5.ปรับ VR ไว้ที่ตำแหน่งสูงสุด วัดสัญญาณเช่นเดียวกับข้อ 4. จะได้ผลตามรูปที่ 4.4

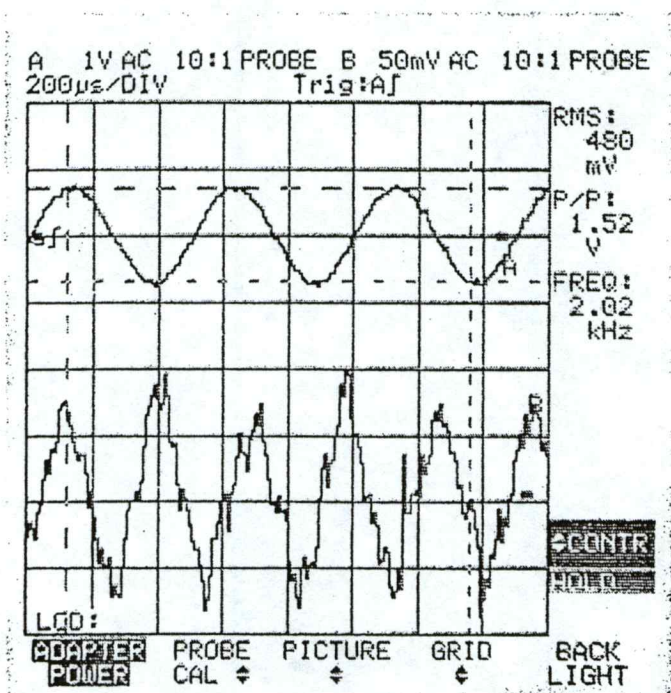


รูปที่ 4.4 กราฟเปรียบเทียบระหว่างอินพุตกับเอาต์พุต ที่ความถี่ 400 Hz VR สูงสุด

6. เปลี่ยนความถี่เป็น 2 KHz แล้วทำการทดลองตามข้อ 4.,5. จะได้ผลตามรูปที่ 4.5 และ 4.6



รูปที่ 4.5 กราฟเปรียบเทียบระหว่างอินพุตกับเอาต์พุต ที่ความถี่ 2 KHz VR ต่ำสุด



รูปที่ 4.6 กราฟเปรียบเทียบระหว่างอินพุตกับเอาต์พุต ที่ความถี่ 2K Hz VR สูงสุด

บทที่ 5 บทสรุปและวิจารณ์

บทสรุป

ในส่วนของเรื่องโทรศัพท์ที่ส่วนประกอบต่าง ๆ ที่สำคัญจะใช้ ไอซีโทรสำเร็จรูปการทดลองแยกเป็น 3 ส่วนที่สำคัญคือ ส่วนวงจรเสียงพูด, ส่วนวงจรกำเนิดหมายเลข และวงจรกระดิ่ง เพื่อนำส่วนต่าง ๆ มาประกอบกันได้เป็นเครื่องรับโทรศัพท์ ซึ่งนำมาใช้กับส่วนของชุดเปลี่ยนเสียงได้

ส่วนเปลี่ยนเสียงจะใช้ไอซี เบอร์ RTS0072 ซึ่งเป็นไอซี ที่ใช้เป็นตัวเปลี่ยน สัญญาณอนาล็อกเป็นดิจิทัล และดิจิทัลเป็นอนาล็อก สัญญาณเสียงที่เอาที่พูดจะเปลี่ยนจากสัญญาณเสียง ความเร็วปกติเอาที่พูดที่ออกมาจะมีความเร็วที่ไม่เท่าเดิม ทำให้สัญญาณเสียงพูดที่ผู้ฟังได้ยินเป็นเสียงที่ไม่สามารถรับรู้ว่าเป็นผู้พูด

เครื่องเปลี่ยนเสียงนี้สามารถเปลี่ยนเสียงได้จริงแต่ยังไม่สามารถเปลี่ยนรายละเอียดของเสียงได้มากนักเนื่องจาก สัญญาณเสียง ประกอบด้วยส่วนต่าง ๆ หลายส่วน เช่น ความถี่เสียง, ความเร็วของเสียง และโทนของเสียง ซึ่งเป็นที่บ่งบอกลักษณะของน้ำเสียงแต่ละผู้พูดฉะนั้นการเปลี่ยนส่วนประกอบทั้งหมดจึงไม่ใช่เรื่องง่าย

แนวทางการพัฒนา

สามารถนำเครื่องเปลี่ยนเสียงไปพัฒนาได้โดยใช้เทคโนโลยีของระบบ Digital Signal Processor เข้ามาช่วยซึ่งจะทำให้การเปลี่ยนเสียงได้ละเอียดยิ่งขึ้น แต่จะต้องศึกษาเกี่ยวกับเรื่องนี้ให้ชำนาญจึงสามารถนำมาประยุกต์ใช้กับเครื่องเปลี่ยนเสียงได้

บรรณานุกรม

ฉัฐมา สีปงษ์พันธ์ และ ปวีณ อุดสาห์ . เครื่องเตือนการเรียกโทรศัพท์ . กรุงเทพมหานคร :

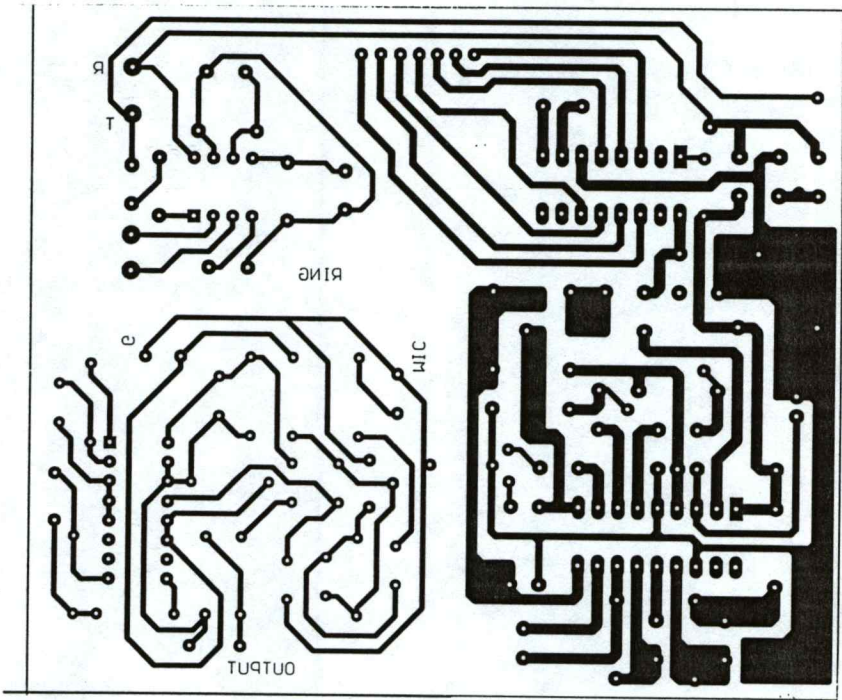
สถาบันเทคโนโลยีพระจอมเกล้าเจ้าคุณทหารลาดกระบัง 2540

วิวัฒน์ กิรานนท์ . วิศวกรรมสื่อสาร . กรุงเทพมหานคร: อักษรสยามการพิมพ์ 2540

กฤษฎา เอกพันธ์,คชา นิยมศิลป์ และ อภิญญา ชัยวิเศษเจริญ. กรุงเทพมหานคร :

สถาบันเทคโนโลยีพระจอมเกล้าเจ้าคุณทหารลาดกระบัง 2541

ภาคผนวก ก



ลายวงจรของเครื่องเปลี่ยนเสียงโทรศัพท์

ภาคผนวก ข

VOICE CHANGER

Features

- Wide operating voltage range: 3.0V to 5.0V
- Low power consumption
- Several selectable voice effects
 - Transposing voice (higher or lower)
 - Amplifying voice
 - Robotic voice
- External memory is not required.
- Variable resistors or switches can apply to adjust the transposed-voice effect.
- Built-in "Silence" function
- For applications in toys, masks, telephone systems and other voice fields

General Description

The RTS0072B is a single-chip CMOS LSI designed for voice changer applications, which transpose or distort one voice into another by encoding the input audio signals in normal speed, then transmit the output audio signals with an unusual speed. This is accomplished by sampling the input audio signals into digital signals and re-arranging the digital signals to generate a different voice from the original voice.

Specifications and Applications Information

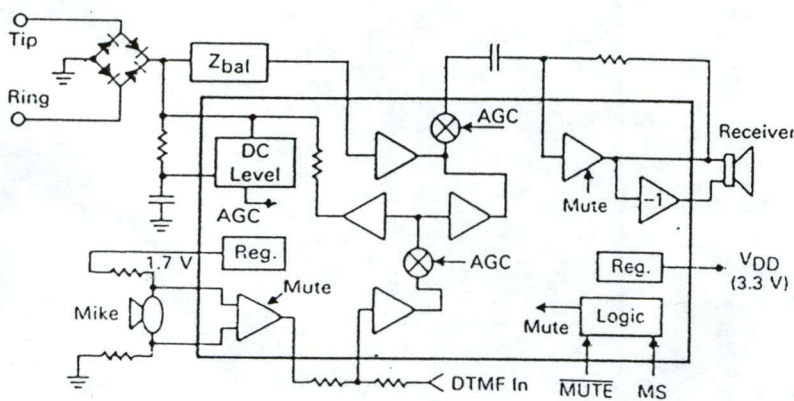
TELEPHONE SPEECH NETWORK WITH DIALER INTERFACE

The MC34114 is a monolithic integrated telephone speech network designed to replace the bulky magnetic hybrid circuit of a telephone set. The MC34114 incorporates the necessary functions of transmit amplification, receive amplification, and sidetone control, each with externally adjustable gain. Loop length equalization varies the gains based on loop current. The microphone amplifier has a balanced, differential input stage designed to reduce RFI problems. A MUTE input mutes the microphone and receive amplifiers during dialing. A regulated output voltage is provided for biasing of the microphone, and a separate output voltage powers an external dialer, microprocessor, or other circuitry. The MC34114 is designed to operate at a minimum of 1.2 volts, making party line operation possible.

A circuit using the MC34114 can be made to comply with Bell Telephone, British Telecom (BT), and NTT (Nippon Telegraph & Telephone) standards. It is available in a standard 18-pin DIP, and a 20-pin SOIC (surface mount) package.

- Operation Down to 1.2 Volts
- Externally Adjustable Transmit, Receive, and Sidetone Gains
- Differential Microphone Amplifier Input Minimizes RFI Susceptibility
- Transmit, Receive, and Sidetone Equalization on Both Voice and DTMF Signals
- Regulated 1.7 Volts Output for Biasing Microphone
- Regulated 3.3 Volts Output for Powering External Dialer or MPU
- Microphone and Receive Amplifiers Muted During Dialing
- Differential Receive Amplifier Output Eliminates Coupling Capacitor
- Operates with Receiver Impedances of 50 Ohms and Higher
- Complies with NTT, Bell Telephone and BT Standards

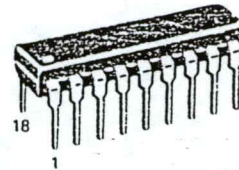
SIMPLIFIED BLOCK DIAGRAM



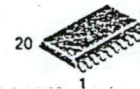
MC34114

TELEPHONE SPEECH NETWORK WITH DIALER INTERFACE

SILICON MONOLITHIC INTEGRATED CIRCUIT

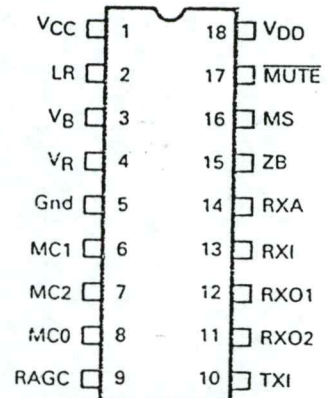


P SUFFIX
PLASTIC PACKAGE
CASE 707



DW SUFFIX
PLASTIC PACKAGE
CASE 751D

PIN CONNECTIONS (Top View) (DIP Package)



ORDERING INFORMATION

| Package | Part No. |
|----------------------|-----------|
| 18-Pin Plastic DIP | MC34114P |
| 20-Pin Surface Mount | MC34114DW |

ABSOLUTE MAXIMUM RATINGS

| Parameter | Value | Units |
|--|-----------------------------|-------|
| V _{CC} Supply Voltage | -1.0, +12 | Vdc |
| Voltage at V _{DD} (Externally Applied, V _{CC} = 0) | -1.0, +6.0 | Vdc |
| Voltage at $\overline{\text{MUTE}}$, MS (V _{CC} > 1.5 Volts) | -1.0, V _{DD} + 0.5 | Vdc |
| Voltage at $\overline{\text{MUTE}}$, MS (V _{CC} = 0) | -1.0, +6.0 | Vdc |
| Voltage at RAGC (0 < V _{CC} < 12 Volts) | -1.0, +6.0 | Vdc |
| Current through V _{CC} , LR | 130 | mA |
| Current into Z _B (Pin 15) | 3.0 | mA |
| Storage Temperature | -65, -150 | °C |

"Maximum Ratings" are those values beyond which the safety of the device cannot be guaranteed. They are not meant to imply that the devices can be operated at these limits. The "Recommended Operating Conditions" provides conditions for actual device operation.

RECOMMENDED OPERATING LIMITS

| Parameter | Min | Typ | Max | Units |
|--|--------------|-----|-----------------|-------|
| V _{CC} Voltage (Speech, Pulse Mode) (Tone Dialing Mode) | +1.2 +3.3 | — | +10.5 +10.5 | Vdc |
| Loop Current (into V _{CC}) (Speech, Pulse Mode) (Tone Dialing Mode) | 4.0 15 | — | 120 120 | mA |
| Receiver Impedance | 50 | — | — | Ω |
| Voltage at $\overline{\text{MUTE}}$, MS (V _{CC} > 1.5 Volts) | 0 | — | V _{DD} | Vdc |
| R1 (Resistor from V _{CC} to V _B) | 100 | — | 1800 | Ω |
| Ambient Temperature | -20 | — | +70 | °C |

All limits are not necessarily functional concurrently.

ELECTRICAL CHARACTERISTICS (T_A = 25°C, See Figure 1)

| Parameter | Symbol | Min | Typ | Max | Units |
|--|--------------------|-----|------|------|-------|
| SUPPLY CURRENT | | | | | |
| Supply Current into V _{CC} (Pin 2 open, R12 = 25 k, V _{DD} unloaded) | | | | | mA |
| Speech Mode (Figure 2) | I _{ccsp} | 4.0 | 5.0 | 5.5 | |
| V _{CC} = 1.2 Volts | | 9.0 | 11 | 12 | |
| V _{CC} = 3.5 Volts | | 10 | 12 | 14 | |
| V _{CC} = 8.0 Volts | | — | 13 | — | |
| V _{CC} = 10.5 Volts | | — | 14 | — | |
| Tone Mode (Figure 4) | I _{cct} | — | 16 | — | |
| V _{CC} = 3.3 Volts | | — | 18 | — | |
| V _{CC} = 8.0 Volts | | — | — | — | |
| V _{CC} = 10 Volts | | — | — | — | |
| VOLTAGE REGULATORS | | | | | |
| V _R Voltage (I _R = 65 μA, V _{CC} = 2.5 V, Figure 5) | V _R | 1.6 | 1.7 | 1.85 | Vdc |
| Load Regulation (0 < I _R < 300 μA, V _{CC} = 2.5 V) | | — | 0.2 | 0.5 | Vdc |
| Line Regulation (I _R = 65 μA, 2.5 < V _{CC} < 10.5 V) | | -70 | ±20 | +70 | mVdc |
| V _{DD} Voltage (V _{CC} ≥ 3.8 V, I _{DD} = 0, Figure 6) | V _{DD} | 3.1 | 3.3 | 3.7 | Vdc |
| Line Regulation (I _{DD} = 0, 5.0 V < V _{CC} < 10.5 V) | | -70 | ±30 | +70 | mVdc |
| Maximum Output Current (V _{CC} = 3.8 V, V _{DD} ≥ 3.0 V) | I _{DDMAX} | 0.8 | 1.0 | — | mA |
| Speech Mode | | 2.2 | 2.5 | — | |
| Pulse, Tone Mode | | — | — | — | |
| Input Leakage Current (V _{CC} = 0, 3.3 Volts applied to V _{DD}) | I _{lkg} | — | 0.02 | 0.5 | μA |
| $\overline{\text{Mute}}$ open or at V _{DD} | | — | 180 | — | |
| $\overline{\text{Mute}}$ = 0 Volts | | — | — | — | |

ELECTRICAL CHARACTERISTICS — continued ($T_A = 25^\circ\text{C}$. See Figure 1)

| Parameter | Symbol | Min | Typ | Max | Units |
|--|--------------------------------------|------------------|--|----------------------------|---------------|
| MICROPHONE AMPLIFIER | | | | | |
| Gain ($\overline{\text{Mute}} = V_{DD}$) | G_{MIC} | 28 | 30 | 32 | dB |
| Input Common Mode Rejection Ratio (1.0 kHz) | CMRR | 20 | 26 | — | dB |
| Input Impedance (Each Input) | R_{INMIC} | 14 | 20 | 27 | k Ω |
| MCO DC Bias Voltage ($V_{CC} > 3.4\text{ V}$, $\overline{\text{Mute}} = \text{Hi}$) ($V_{CC} = 1.2\text{ V}$, $\overline{\text{Mute}} = \text{Hi}$) ($\overline{\text{Mute}} = 0\text{ V}$) | $V_{MCO DC}$ | 0.85 0.6 — | 1.1 0.71 0.08 | 1.25 0.93 — | Vdc |
| MCO Max Voltage Swing (THD = 5%, $V_{CC} > 2.7\text{ V}$) (THD = 5%, $V_{CC} = 1.2\text{ V}$) | $V_{MCO AC}$ | — — | 2.0 500 | — — | Vp-p mVp-p |
| MCO Output Impedance | Z_{MCO} | — | 270 | — | Ω |
| MCO Output Current Capability (THD = 5%) | I_{MCO} | — | 160 | — | μA |
| Gain Reduction when Muted ($\overline{\text{Mute}} = 0\text{ Volts}$, $f = 1.0\text{ kHz}$) | G_{MUT} | 55 | 70 | — | dB |
| RECEIVE AMPLIFIER | | | | | |
| RXI Bias Current ($\overline{\text{Mute}} = \text{Hi}$) | I_{BR} | — | 50 | — | nA |
| RXO1, RXO2 Bias Voltage ($V_{CC} = 1.2\text{ V}$) ($V_{CC} > 3.0\text{ V}$) | R_{XDC} | 580 585 | 630 650 | 695 720 | mVdc |
| RXO1–RXO2 Offset Voltage ($V_{CC} > 3.0\text{ V}$) | R_{XVOS} | –35 | 0 | +35 | mVdc |
| RXO1–RXO2 Max Voltage Swing (Figure 9) (THD = 5%, Receiver = ∞) (THD = 5%, Receiver = 150 Ω) | V_{RXAC} | — — | 2.2 800 | — — | Vp-p mVp-p |
| Internal Feedback Resistor (for muting) | R_{FINT} | — | 1.0 | — | k Ω |
| RXO1 & RXO2 Source Current | I_{RX} | 2.6 | 3.2 | 3.5 | mA |
| INTERNAL CURRENT AMPLIFIERS | | | | | |
| TXI Input Impedance | R_{TXI} | 0.85 | 1.0 | 1.15 | k Ω |
| ZB Input Impedance | R_{ZB} | — | 500 | — | Ω |
| RXA Output Impedance | R_{RXA} | — | 10 | — | k Ω |
| AC Current Gain TXI to V_{CC} ($V_{RAGC} = 0\text{ V}$) TXI to V_{CC} ($V_{RAGC} = 1.3\text{ V}$) ZB to RXA ($V_{RAGC} = 0\text{ V}$, RXA = AC Gnd) ZB to RXA ($V_{RAGC} = 1.3\text{ V}$, RXA = AC Gnd) TXI to RXA ($V_{RAGC} = 0\text{ V}$, RXA = AC Gnd) TXI to RXA ($V_{RAGC} = 1.3\text{ V}$, RXA = AC Gnd) | G_{TX} G_{ZB} G_{STA} | — — — | 100 50 0.5 0.25 1.22 0.61 | — — — — — — | A/A |
| DC INTERFACE | | | | | |
| LR Level Shift ($V_{CC} - V_{LR}$) ($I_{LOOP} = 20\text{ mA}$, $\overline{\text{Mute}} = V_{DD}$) ($I_{LOOP} = 80\text{ mA}$, $\overline{\text{Mute}} = V_{DD}$) ($I_{LOOP} = 20\text{ mA}$, $\overline{\text{Mute}} \& \overline{\text{MS}} = 0\text{ V}$) ($I_{LOOP} = 80\text{ mA}$, $\overline{\text{Mute}} \& \overline{\text{MS}} = 0\text{ V}$) | ΔV_{LRS} ΔV_{LRT} | — — | 2.8 3.5 3.8 5.0 | — — — — | Vdc |
| V_{CC} Boost ($I_{LOOP} = 20\text{ mA}$, $\overline{\text{Mute}} \& \overline{\text{MS}}$ switched from Hi to Lo, $R_1 = 620\ \Omega$) | ΔV_{LRB} | 0.7 | 1.0 | 1.2 | Vdc |
| RAGC Current ($V_{RAGC} = 0\text{ V}$) ($V_{RAGC} = 1.0\text{ V}$) | I_{RAGC} | — — | –40 –12 | — — | μA |

ELECTRICAL CHARACTERISTICS — continued ($T_A = 25^\circ\text{C}$, See Figure 1)

| Parameter | Symbol | Min | Typ | Max | Units |
|---|--------|----------------|-----------|----------|--------------------------|
| LOGIC INPUTS | | | | | |
| MUTE Input Impedance ($V_{CC} > 1.2\text{ V}$) ($V_{CC} = 0\text{ V}$, $0 < \overline{\text{Mute}} < 6.0\text{ V}$) | RMUT | — | 60 >60 | — | k Ω M Ω |
| Input Low Voltage | VILMT | 0 | — | 1.0 | Vdc |
| Input High Voltage | VIHMT | $V_{DD} - 0.5$ | — | V_{DD} | Vdc |
| Holdover (Delay for Receive amplifier to return to full gain after Pin 17 switches from 0 to V_{DD}) | TMUT | 8.0 | 11 | 25 | mSec |
| MS Input Impedance ($V_{CC} > 1.2\text{ V}$) ($V_{CC} = 0\text{ V}$, $\overline{\text{Mute}} = \text{open or } V_{DD}$) ($V_{CC} = 0$, $\text{Mute} = 0$) | RMS | — | 60 >50 | — | k Ω M Ω |
| Input Low Voltage | VILMS | 0 | — | 0.3 | Vdc |
| Input High Voltage | VIHMS | 2.0 | — | V_{DD} | Vdc |

SYSTEM SPECIFICATIONS ($f = 1.0\text{ kHz}$ unless noted, $T_A = 25^\circ\text{C}$, Refer to Figure 1)

| Parameter | Symbol | Min | Typ | Max | Units |
|--|--------------|---------------|--------------------|---------------|------------------|
| LINE INTERFACE | | | | | |
| V_{CC} DC Voltage (Pin 1) | V_{CC} | | | | Vdc |
| Bell Telephone Standard and NTT Specs. ($R_2 = 43\ \Omega$, $R_3 = 13\ \Omega$) | | | | | |
| Speech Mode $I_{LOOP} = 10\text{ mA}$ | | 1.7 | 2.0 | 2.3 | |
| $I_{LOOP} = 20\text{ mA}$ | | 3.0 | 3.4 | 3.7 | |
| $I_{LOOP} = 30\text{ mA}$ | | 3.5 | 4.1 | 4.5 | |
| $I_{LOOP} = 120\text{ mA}$ | | 8.5 | 9.9 | 10.5 | |
| Tone Mode $I_{LOOP} = 20\text{ mA}$ | | 3.9 | 4.1 | 4.3 | |
| $I_{LOOP} = 30\text{ mA}$ | | 4.5 | 5.1 | 5.5 | |
| British Telecom Standard ($R_2 = 43\ \Omega + 2.5\text{ V Zener}$, $R_3 = 13\ \Omega$) | | | | | |
| Speech Mode $I_{LOOP} = 10\text{ mA}$ | | — | 4.3 | — | |
| $I_{LOOP} = 20\text{ mA}$ | | — | 5.9 | — | |
| $I_{LOOP} = 30\text{ mA}$ | | — | 6.9 | — | |
| $I_{LOOP} = 70\text{ mA}$ | | — | 10 | — | |
| AC Terminating Impedance ($I_{LOOP} = 20\text{ mA}$, Figure 11) | ZAC | 500 | 600 | 700 | Ω |
| RECEIVE PATH | | | | | |
| Gain (V_{CC} to RXO1–RXO2, Figures 14, 15) $I_{LOOP} = 20\text{ mA}$ $I_{LOOP} = 100\text{ mA}$ | GRX | -7.2 -13.5 | -6.1 -11 | -5.0 -9.5 | dB |
| Δ Gain (GRX @ 100 mA versus 20 mA) | Δ GRX | -7.5 | -6.0 | -4.5 | dB |
| Muted Gain ($\overline{\text{Mute}} = \text{Logic 0}$, $I_{LOOP} = 20\text{ mA}$) | GRXM | — | -22 | -20 | dB |
| Distortion (at RXO1–RXO2, $V_{CC} = 250\text{ mVrms}$) $f = 300\text{ Hz}$ $f = 1.0\text{ kHz}$ $f = 3.4\text{ kHz}$ | THDR | — | 0.3 0.2 0.02 | — 2.0 — | % |
| Output Noise Across RXO1–RXO2 (@ 1.0 kHz) | NRXO | — | 4.0 | — | μVrms |
| TRANSMIT PATH | | | | | |
| Gain (MC1–MC2 to V_{CC} , Figures 12, 13) $I_{LOOP} = 20\text{ mA}$ $I_{LOOP} = 100\text{ mA}$ | GTX | 36 29 | 38.5 32.5 | 40.5 35.5 | dB |
| Δ Gain (GTX @ 100 mA versus 20 mA) | Δ GTX | -7.5 | -6.0 | -4.5 | dB |
| Max V_{CC} Voltage Swing (THD = 5%, Figure 8) $I_{LOOP} = 20\text{ mA}$ $I_{LOOP} = 100\text{ mA}$ | VTXMAX | — — | 3.0 2.3 | — — | Vp-p |
| Gain Reduction when muted (MC1–MC2 to V_{CC} , $\overline{\text{Mute}} = 0\text{ V}$) | GTXM | — | 68 | — | dB |
| Distortion (0 dBm @ V_{CC}) $f = 300\text{ Hz}$ $f = 1.0\text{ kHz}$ $f = 3.4\text{ kHz}$ | THDT | — | 0.5 1.5 1.3 | — 3.0 — | % |
| Output Noise at V_{CC} (@ 1.0 kHz) | NTXO | — | 17 | — | μVrms |
| SIDETONE | | | | | |
| Sidetone Gain (Gain from V_{CC} to RXO1–RXO2 with signal applied to MC1/MC2, $I_{LOOP} = 20\text{ mA}$) | GST | — | -27 | -22 | dB |

PIN DESCRIPTIONS

| Symbol | Pin Number | | Description |
|--------|------------|-------|---|
| | (SOIC) | (DIP) | |
| VCC | 1 | 1 | Power supply pin for the IC. Supply voltage is derived from loop current. Transmit amp output operates on this pin. |
| LR | 2 | 2 | Resistors R2 + R3 at this pin set the DC characteristics of the circuit. The majority of the loop current flows through these resistors. Other components may be used to produce required DC characteristics for individual regulatory agencies. |
| VB | 3 | 3 | A resistor or appropriate network (R1) connected from this pin to VCC sets the AC terminating impedance (return loss spec). |
| VR | 4 | 4 | A 1.7 volt regulated output which can be used to bias the microphone. Additionally, this voltage powers a portion of the internal circuitry. Can nominally supply 300-500 μ A. |
| GND | 5 | 5 | Ground pin for the entire IC. Normally this is not connected to, nor to be confused with earth ground. |
| MC1 | 6 | 6 | Inverting differential input to the microphone amplifier. Input impedance is typically 20 k Ω . |
| MC2 | 7 | 7 | Non-inverting differential input to the microphone amplifier. Input impedance is typically 20 k Ω . |
| MC0 | 8 | 8 | Microphone amplifier output. Amplifier's gain is fixed at 30 dB. |
| RAGC | 10 | 9 | Loop current sensing input. The voltage at this pin, determined by the loop current and R3, operates the loop length equalization circuit. |
| TXI | 11 | 10 | Input to the transmit amplifier from the microphone amplifier, DTMF source, and other sources. Input impedance \approx 1.0 k Ω . |
| RX02 | 12 | 11 | Receive amplifier non-inverting differential output. Current capability to the receiver is typically set at \approx 3.0 mA peak. |
| RX01 | 14 | 12 | Receive amplifier inverting differential output. Current capability to the receiver is typically \approx 3.0 mA peak. Gain is set by R8. |
| RXI | 15 | 13 | Summing input to the receive amplifier. This pin is an AC virtual ground. |
| RXA | 16 | 14 | Summed outputs of the receive current amplifier, sidetone amplifier, and an AGC point. Normally connected to the receive amplifier input (RXI) through a coupling capacitor. |
| ZB | 17 | 15 | Input to the receive current amplifier. A balance network (ZB) is connected between this pin and VCC. The network affects the receive level and sidetone performance. Input impedance is \approx 500 Ω in series with a diode. |
| MS | 18 | 16 | Mode Select Input. A logic "1" sets the IC for pulse dialing. A logic "0" sets the IC for tone (DTMF) dialing. Effective only if MUTE is at a logic "0". Input impedance is \approx 60 k Ω . |
| MUTE | 19 | 17 | Mute input. A logic "1" sets normal speech mode. A logic "0" mutes the microphone and receive amplifiers and allows MS to be functional. Input impedance is \approx 60 k Ω referenced to VDD. An internal fixed delay of 11 mSec minimizes clicks in the receiver when returning to the speech mode. |
| VDD | 20 | 18 | A regulated 3.3 volt output for an external dialer. Output source current capability is 1.0 mA in speech mode, 2.5 mA in tone dialing mode. |

FIGURE 1 — BLOCK DIAGRAM AND TEST CIRCUIT

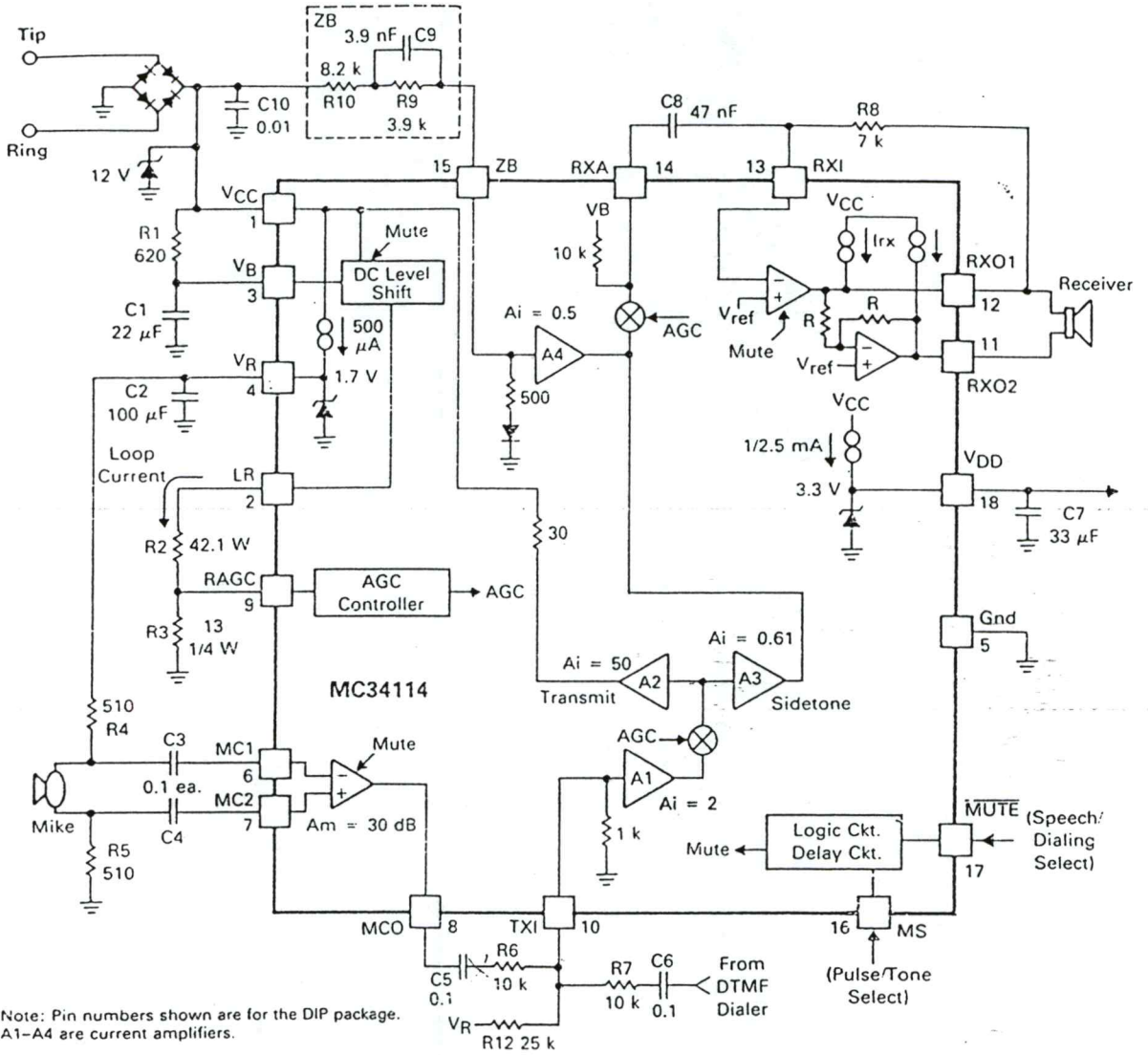


FIGURE 2 — I_{CC} versus V_{CC} (SPEECH MODE)

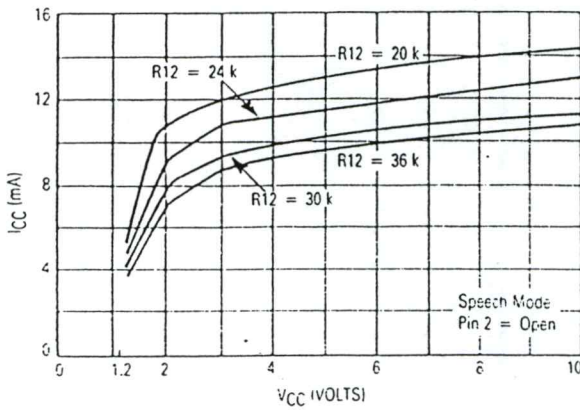


FIGURE 3 — I_{CC} versus V_{CC} (PULSE DIALING MODE)

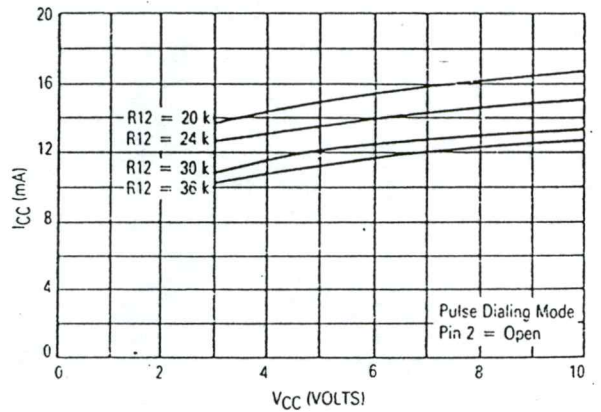


FIGURE 4 — I_{CC} versus V_{CC} (TONE DIALING MODE)

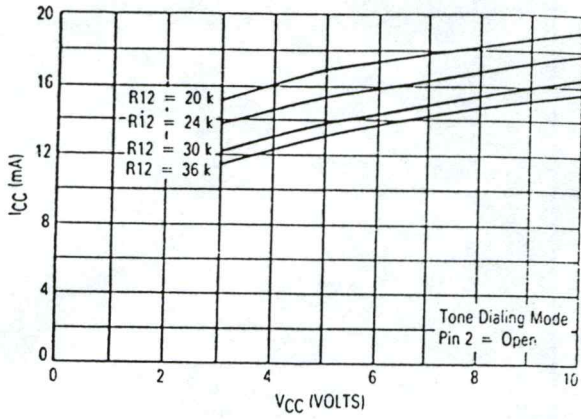


FIGURE 5 — V_R versus I_R versus V_{CC}

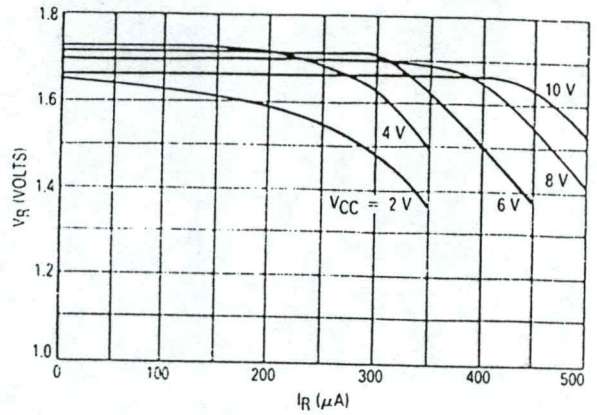


FIGURE 6 — V_{DD} versus I_{DD}

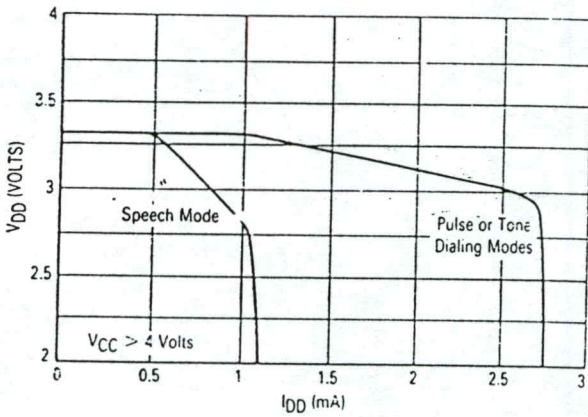


FIGURE 7 — AGC GAIN versus VOLTAGE AT PIN 9

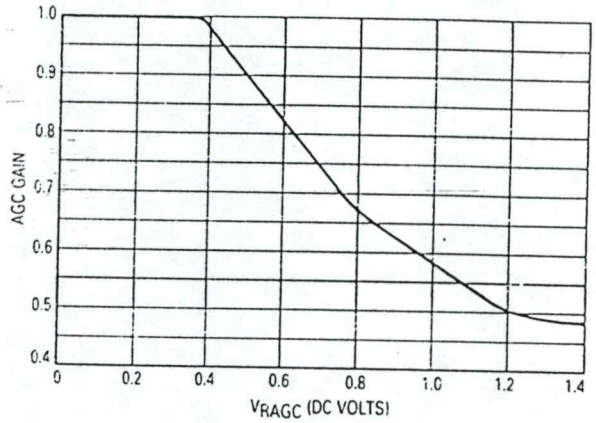


FIGURE 8 — MAXIMUM TRANSMIT SIGNAL AT V_{CC}

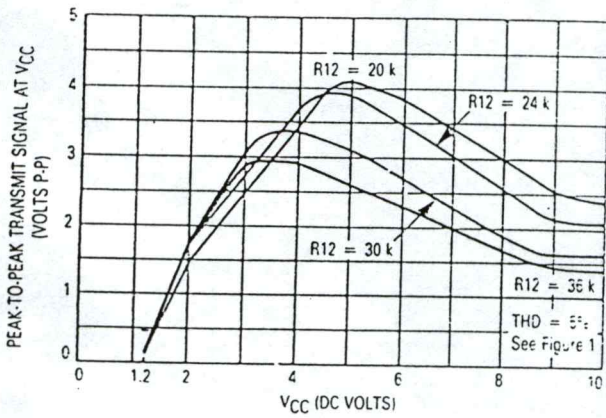
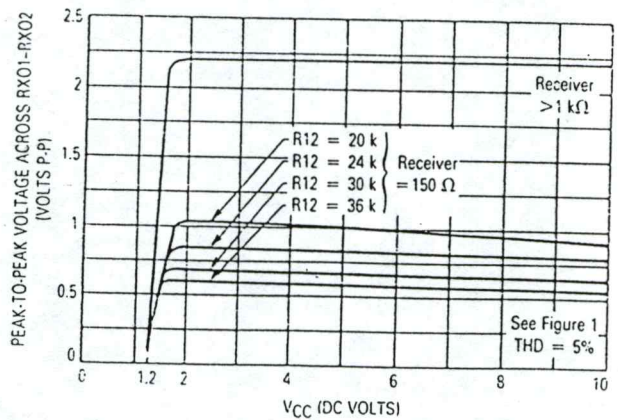


FIGURE 9 — MAXIMUM RECEIVER SIGNAL



SYSTEM PERFORMANCE

FIGURE 10 — TIP/RING VOLTAGE versus LOOP CURRENT

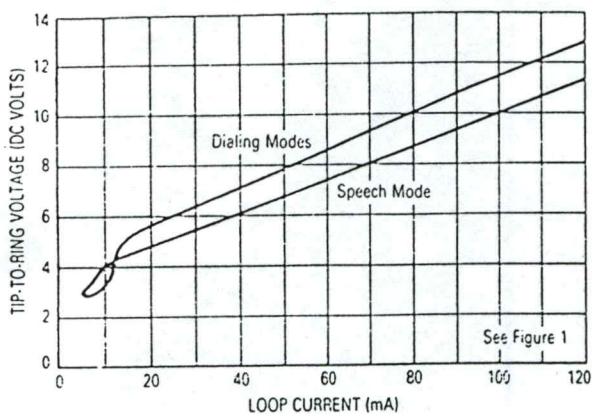


FIGURE 11 — AC TERMINATING IMPEDANCE versus LOOP CURRENT

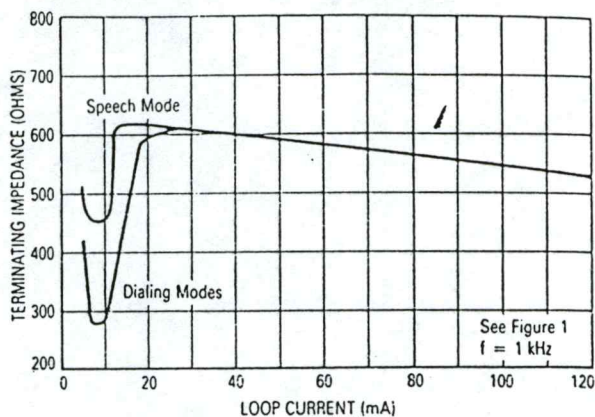


FIGURE 12 — TRANSMIT GAIN versus LOOP CURRENT

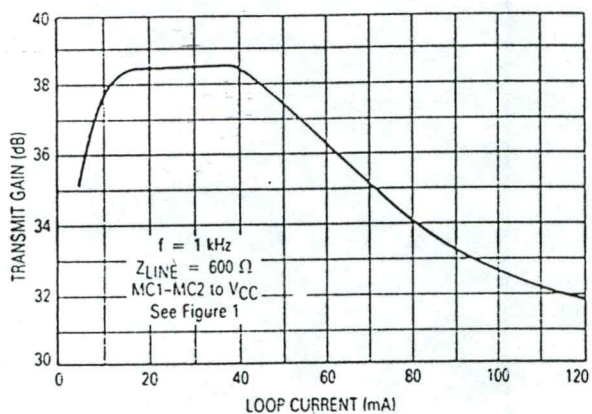


FIGURE 13 — TRANSMIT GAIN versus FREQUENCY

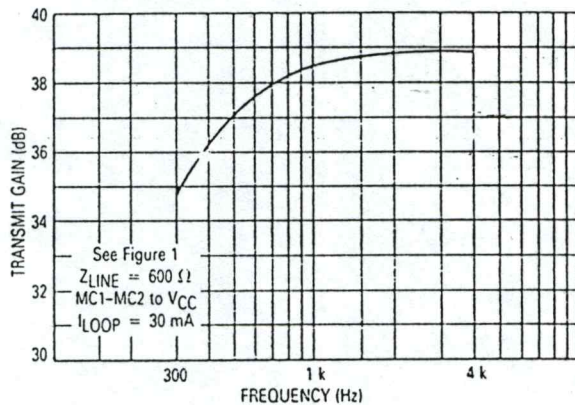


FIGURE 14 — RECEIVE GAIN versus LOOP CURRENT

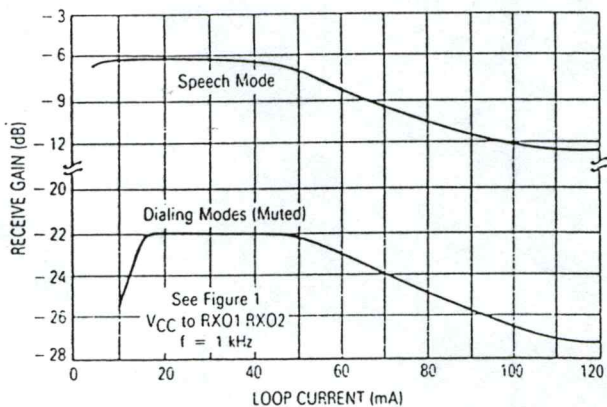
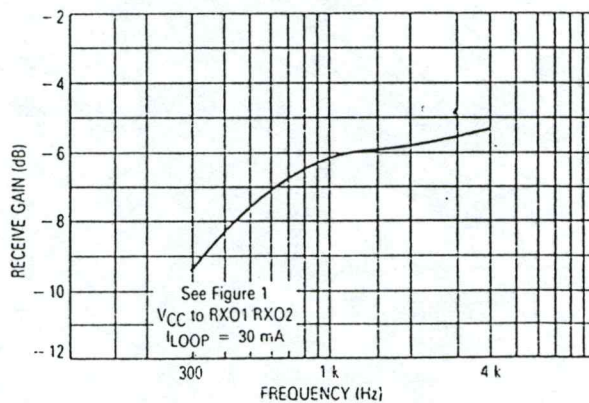


FIGURE 15 — RECEIVE GAIN versus FREQUENCY



SYSTEM PERFORMANCE

FIGURE 16 — TRANSMIT NOISE SPECTRUM

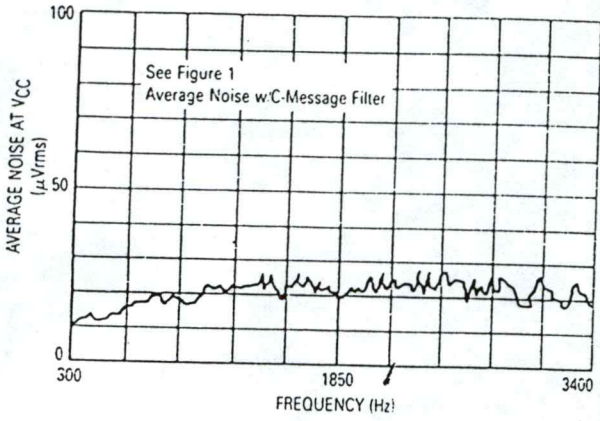


FIGURE 17 — RECEIVE NOISE SPECTRUM

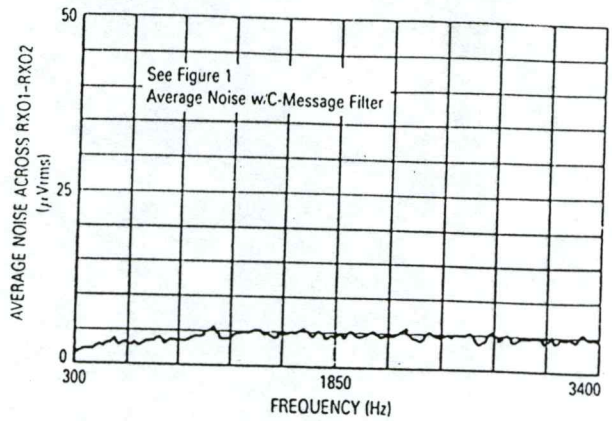


FIGURE 18 — V_{CC} versus TEMPERATURE

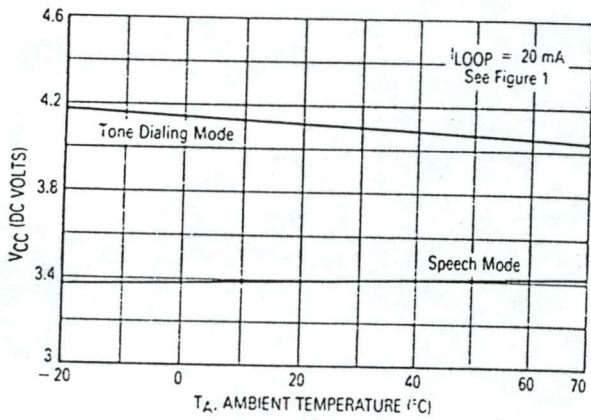


FIGURE 19 — TRANSMIT GAIN versus TEMPERATURE

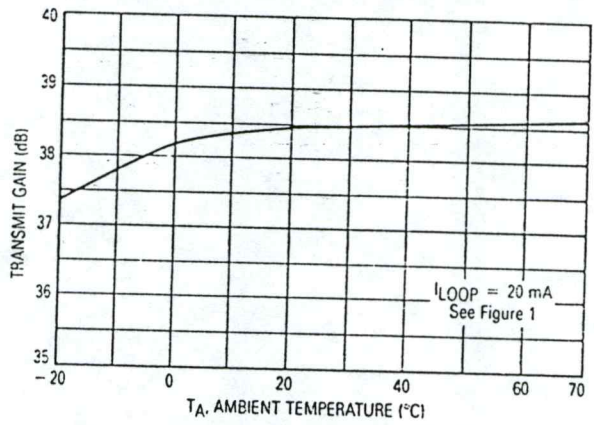


FIGURE 20 — RECEIVE GAIN versus TEMPERATURE

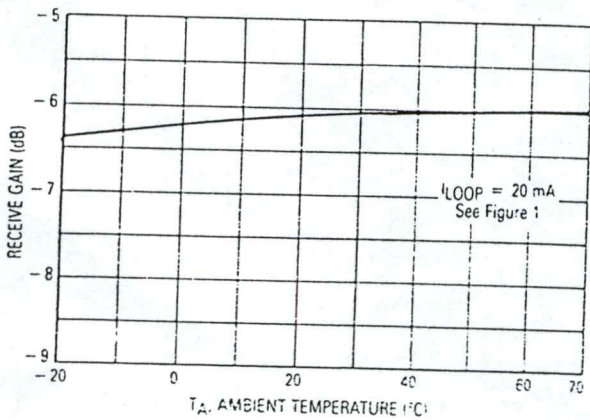
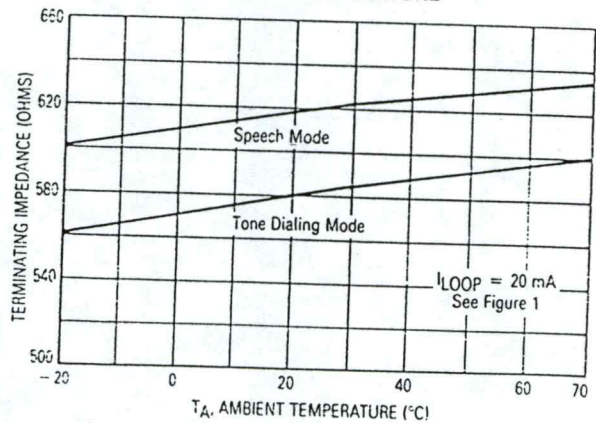


FIGURE 21 — AC TERMINATING IMPEDANCE versus TEMPERATURE



FUNCTIONAL DESCRIPTION

INTRODUCTION

The MC34114 is a speech network which provides the hybrid function and the DC loop current interface of a telephone, and is meant to connect to Tip and Ring through a polarity guard bridge. The transmit, receive, and sidetone gains are externally adjustable, and additionally, line length compensation varies the gains with variations in loop current. The microphone amplifier employs a differential input to minimize RFI susceptibility.

The loop current interface portion determines the dc voltage versus current characteristics, and provides the required regulated voltages for internal and external use.

The dialer interface provides three modes of operation: speech (non-dialing), pulse dialing and tone (DTMF) dialing. When switching among the modes, some parameters are changed in order to optimize the circuit operation for that mode. The following table summarizes those changes:

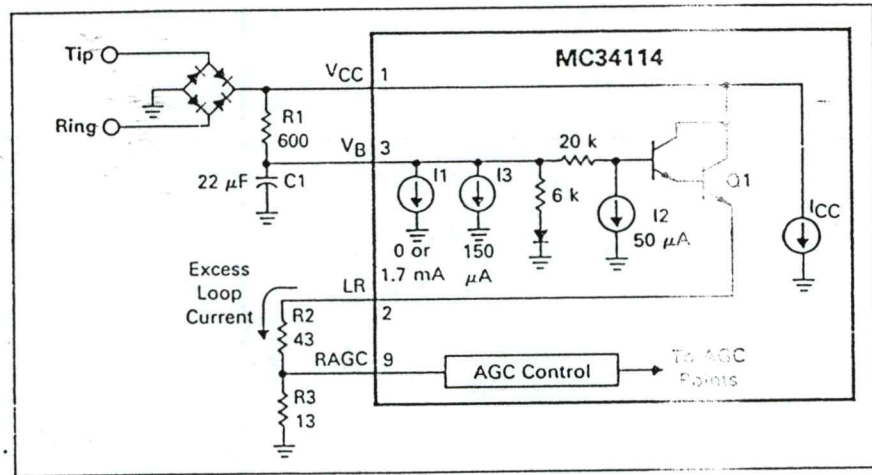
TABLE 1 — OPERATING PARAMETERS versus OPERATING MODE

| Function | Speech | Pulse | Tone |
|---|--------------|-------------|-------------|
| LR Level Shift ($V_{CC} - V_{LR}$) | 2.8 V | 2.8 V | 3.8 V |
| V_{DD} Current Capability | 1.0 mA | 2.5 mA | 2.5 mA |
| Microphone Amplifier | Functional | Muted | Muted |
| Receive Amp. Internal Feedback Resistor | Switched Out | Switched In | Switched In |

DC LINE INTERFACE AND LINE LENGTH COMPENSATION

The DC line interface circuit (Pins 1, 2, 3) sets the DC voltage characteristics with respect to loop current. See Figure 22.

FIGURE 22 — DC LINE INTERFACE EQUIVALENT



The DC voltage at V_{CC} is determined by the level shift from V_{CC} to LR, plus the voltage across R2 and R3. I_{CC} is the internal bias current required by the MC34114, nominally in the range of 10 mA. I_{CC} can be reduced, if necessary, by increasing R12, consistent with the transmit and receive signal requirements (see the Transmit Path section). See Figures 2-4, 8 and 9.

In the speech and pulse dialing modes current source I1 is off, and the level shift is due to Q1's base-emitter drop (≈ 1.4 V), 1.0 volt across the 20 k resistor, and the voltage across R1, which varies with V_{CC} from 0.15 volts to ≈ 1.0 volt. When the loop current coming in from Tip and Ring exceeds the I_{CC} requirement, the excess current flows through Q1, R2 and R3, to set the slope of the V-I characteristic for the circuit (Q1 has an equivalent resistance of ≈ 10 Ω). See Figure 10.

In the tone dialing mode, current source I1 is on, drawing an additional 1.7 μ A through R1, increasing the level shift by ≈ 1.0 volts ($R_1 = 600$ Ω). This feature ensures that, at low loop currents, sufficient voltage is present at V_{CC} for the DTMF signals, and that the V_{DD} regulator supplies sufficient voltage to an external dialer. The LR current increases by ≈ 1.3 mA in this mode.

R1 must be kept in the range of 100 to 1800 Ω . If it is too large, insufficient current will flow into V_B to bias up the circuit. If it is too small, insufficient filtering of V_B will result unless C1 is increased accordingly. Speech signals must be well filtered from V_B .

The voltage across R3 determines the operation of the AGC circuit (line length compensation). As the voltage at RAGC increases from ≈ 0.4 volts to ≈ 1.2 volts, the AGC Control varies the current gain of the two A

points (Figure 1) from 1.0 to 0.5, thereby reducing the gain of the transmit and receive paths by 6.0 dB. See Figure 7. Pin 9 is a high impedance input.

The values of R2 and R3 can be varied as required to comply with various regulatory agencies, to compensate for additional circuitry powered by the loop current (microprocessor, etc.), or to change the starting point of the AGC function. If the AGC is not used, Pin 9 should be connected to ground for high gains, or to V_R for low gains.

VOLTAGE REGULATORS

The MC34114 has two internal voltage regulators which are used to power external as well as internal circuitry.

The V_R regulator provides 1.7 volts at a maximum current of 500 μA (see Figure 5). This output is normally used to set the DC bias into TXI (Pin 10), and to bias the electret microphone. V_R will typically be $\approx 300\text{ mV}$ less than V_{CC} when V_{CC} is below 2.0 volts.

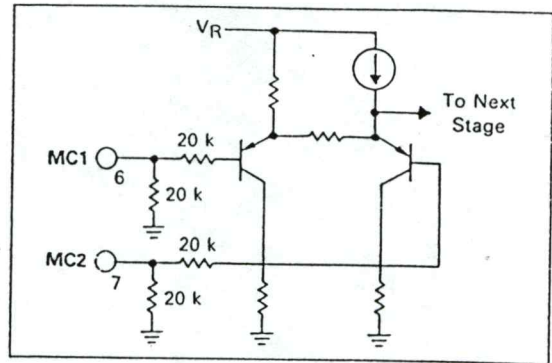
The V_{DD} regulator provides 3.3 volts at a maximum of 1.0 mA in the speech mode, and 2.5 mA in the pulse or tone dialing modes (see Figure 6). It is normally used to power an external dialer, and other associated circuitry. V_{DD} is normally ≈ 0.5 volts less than V_{CC} until V_{DD} regulates. It is a shunt type regulator which automatically switches to a high impedance mode when V_{CC} falls below 1.4 volts. This feature prevents excessive battery drain in the event a memory sustaining battery is used with the external dialer. Leakage current (with $V_{CC} = 0$) is typically 0.02 μA with an applied voltage of up to 6.0 volts at V_{DD} , with pin 17 open or at V_{DD} . If Pin 17 is at ground, a current of several hundred microamps will flow into V_{DD} and out of pin 17 (see paragraph on Logic Interface).

MICROPHONE AMPLIFIER

The microphone amplifier (Pins 6, 7, 8) has a differential input, single ended output, and a fixed internal gain of +30 dB (31.1 V/V). The output is in phase with

MC2, and out of phase with MC1. The inputs (see Figure 23) have a nominal impedance of 20 k Ω , and are matched to provide a high common mode rejection (typically 26 dB).

FIGURE 23 — INPUT STAGE



To preserve a high CMRR against unwanted signals induced in the microphone leads, the microphone should be biased with two equal value resistors as shown in Figure 1.

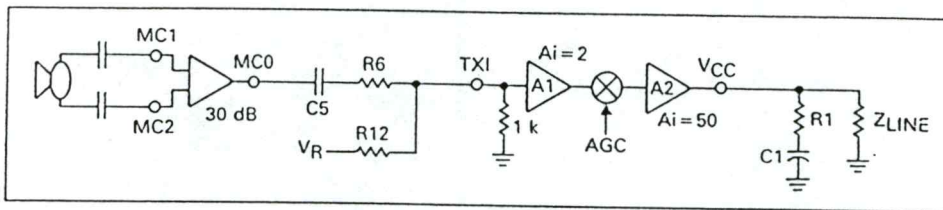
The output (MCO) has a DC bias voltage of ≈ 1.1 volts ($V_{CC} > 3.0$ volts), and can nominally swing ≈ 2.0 volts p-p (500 mV p-p at $V_{CC} = 1.2$ volts). The output impedance is $\approx 270\ \Omega$, and has a peak current capability of $\approx 160\ \mu\text{A}$ for 5% THD.

When the MC34114 is switched to either dialing mode, the microphone amplifier is muted by ≈ 70 dB (300 Hz–4 kHz), effectively disabling the microphone. The DC voltage at MCO is ≈ 80 mV when muted.

TRANSMIT PATH

The AC transmit path consists of the components shown in Figure 24 (taken from Figure 1).

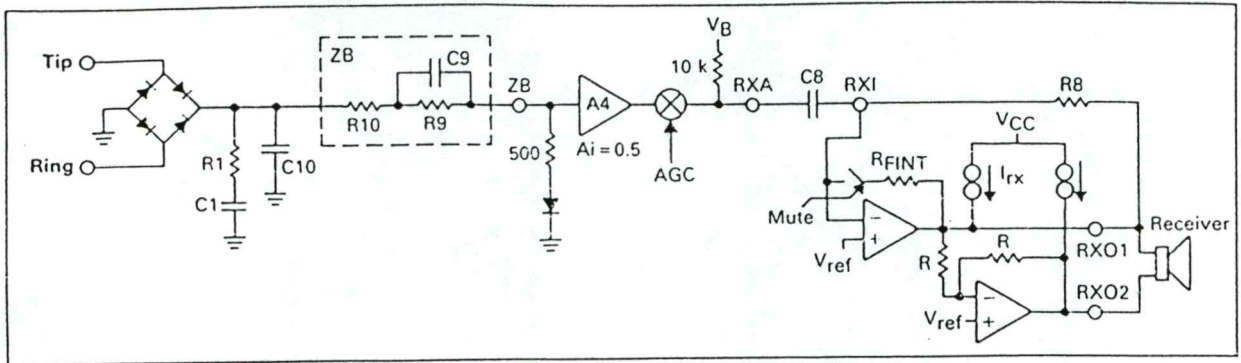
FIGURE 24 — TRANSMIT PATH



The voltage output at MCO is converted to a current into TXI by C5, R6, and TXI's 1.0 k input impedance (with a slight error due to R12). A1 and A2 are current amplifiers with a combined gain of 100. The AGC point has a current gain of 1.0 at low loop currents, and

decreases to 0.5 as loop current increases. Therefore the current gain from TXI to V_{CC} varies from 100 to 50 as loop current is increased. The resulting current output at V_{CC} acts on R1 and the line impedance (nominally 600 Ω each, C1 is an AC short) to generate a voltage

FIGURE 25 — RECEIVE PATH



signal at V_{CC} , and consequently, at Tip and Ring. The voltage gain from MC1–MC2 to Tip and Ring is therefore (first order):

$$G_{TX} = \frac{A_m \times 100 \times AGC \times R1/Z_{LINE}}{(R6 + 1.0 \text{ k})} \quad (\text{Equation 1})$$

where A_m is the gain of the microphone amplifier (31.1 V/V). At low loop currents $G_{TX} \approx 84$ V/V (38.5 dB), and decreases to ≈ 42 V/V (32.5 dB) at higher loop currents, for the component values shown in Figure 1 (@ 1.0 kHz).

For more precise calculations, consideration should be given to the effects of C5 (in series with R6), R12 and R7 (each in parallel with TXI's 1.0 k impedance), and C10 and the ZB network (each in parallel with R1 and Z_{LINE}). The cumulative effects of these additional components is ≈ 1.5 dB.

The voltage signal at V_{CC} is out of phase with that at TXI, and in phase with that at MC1.

The maximum available voltage swing at V_{CC} is a function of the impedance at V_{CC} ($R1/Z_{LINE}$), the DC bias current at A2's output, and the V_{CC} DC voltage. A2's bias current is determined by the bias current through R12 ($V_R/(R12 + 1.0 \text{ k})$) which is gained up by A1, A2 and the AGC point. Figure 8 indicates the maximum voltage swing at V_{CC} (with 5% THD).

RECEIVE PATH

The AC receive path consists of the components shown in Figure 25 (taken from Figure 1).

R1, typically 600 Ω , provides the AC termination (return loss) for the receive signals coming in on Tip and Ring (C1 is an AC short). The receive signal creates an AC current through the ZB network and the 500 Ω resistor at the ZB pin. A4 reduces that current by 1/2, and then feeds it through the AGC point which has a gain of 1.0 at low loop currents. The AGC gain is reduced to 0.5 as loop current increases. The AC current out of the AGC point feeds through C8 to RXI, the receive amp's summing node (If C8 is large, RXA can be considered a virtual ground, and no AC current flows through the internal 10 k resistor). The voltage swing at RXO1 is then determined by the current through C8 and the R8 feedback resistor. The second op amp (at

RXO2) is internally configured for inverting unity gain. The voltage gain from Tip and Ring to RXO1–RXO2 (differential) is (first order):

$$G_{RX} = \frac{R8 \times AGC}{(ZB + 500)} \quad (\text{Equation 2})$$

where $ZB = R10 + R9/C9 (\approx R10 + R9)$.

For more precise calculations, the effects of C9 and C8 must be considered. C9 provides a phase shift to aid sidetone cancellation (see paragraph on Sidetone), and C8 can be selected to provide low frequency roll-off. High frequency roll-off can be obtained by adding a feedback capacitor across R8. For the component values shown in Figure 1, the receive gain measured ≈ 0.495 V/V (–6.1 dB) at low loop currents, and reduces to ≈ 0.25 V/V (–12 dB) at higher loop currents (@ 1.0 kHz).

When the MC34114 is switched to either dialing mode (Mute = low), the receive gain is muted by the switching in of the internal feedback resistor (R_{FINT} from RXO1 to RXI) — typically 1.0 k Ω . The effective feedback resistor for the amplifier is now the parallel combination of R8 and R_{FINT} . The amount of muting (in dB) can be calculated from:

$$GR_{XM} = 20 \times \log \left(\frac{R8 + R_{FINT}}{R_{FINT}} \right) \quad (\text{Equation 3})$$

The internal resistor is switched in coincident with Mute (Pin 17) switching low. However, when Mute is switched high, a delay (nominally 11 mSec) occurs before the internal resistor is switched out. This feature prevents dialing transients (particularly during pulse dialing) from being heard as loud clicks in the receiver.

The DC bias voltages at RXI, RXO1 and RXO2 is ≈ 0.65 volts. The bias current at RXI is ≈ 50 nA into the pin. The maximum voltage swing at RXO1 and RXO2 is a function of the receiver impedance (typically 100–150 Ω), and the value of the two I_{RX} current sources in Figure 25. I_{RX} , set by R12 (between V_R and TXI), is equal to:

$$I_{RX} = \frac{V_R \times 50 \times AGC}{(R12 + 1.0 \text{ k})} \quad (\text{Equation 4})$$

Figure 9 indicates the maximum voltage swing available to the receiver.

SIDETONE CANCELLATION

Sidetone cancellation is provided by current amplifier A3 (see Figure 1) which generates a current representative of the transmit signal to cancel the reflected sidetone signal coming in through ZB and A4. To achieve perfect cancellation (no AC current out of RXA), it is necessary that:

$$ZB = (40 \times R1/Z_{LINE}) - 500 \Omega \quad (\text{Equation 5})$$

where ZB is the network composed of R9, R10, and C9, and Z_{LINE} is the AC impedance of the line. The reactive components of the line's impedance can be compensated for by making the ZB network comparably reactive. In Figure 1, C9 provides a phase shift to compensate for the phase shift created by the phone line.

LOGIC INTERFACE ($\overline{\text{Mute}}$ and MS)

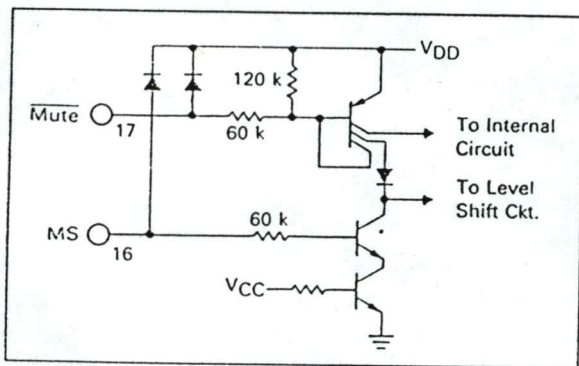
The two logic inputs ($\overline{\text{Mute}}$ and MS) are used to switch the MC34114 between the speech and dialing modes according to the following table:

TABLE 2 — LOGIC INPUTS

| $\overline{\text{Mute}}$ | MS | Mode |
|--------------------------|------|---------------|
| High | X | Speech |
| Low | High | Pulse Dialing |
| Low | Low | Tone Dialing |

Table 2, together with Table 1, describes the condition of the MC34114 in the various modes. Figure 26 shows the input configuration for the $\overline{\text{Mute}}$ and MS pins.

FIGURE 26 — LOGIC INPUTS



The $\overline{\text{Mute}}$ input has a nominal input impedance of 60 k Ω , referenced to V_{DD} . This pin may be left open for a logic "1," or connected to V_{DD} . A logic "1" is defined as between $V_{DD}-0.5$ volts and V_{DD} . A logic "0" is defined as between ground and 1.0 volt. The switching threshold is ≈ 2.3 volts. When $\overline{\text{Mute}}$ is switched low (speech to dialing), the changes listed in Table 1 will occur within 10 μs . Upon switching high (back to speech mode), however, the receive amplifier feedback resistor will be switched out after a delay of (typically) 11 ms. This feature prevents dialing transients (particularly during pulse dialing) from being heard as loud clicks in

the receiver. The other functions listed in Table 1 transfer within 10 μs .

The MS pin is functional only when $\overline{\text{Mute}}$ is low and its only function is to provide an additional voltage level shift between V_{CC} and LR in the tone dialing mode (see the section on DC Interface). The input impedance is ≈ 60 k Ω when $V_{CC} > 1.5$ volts. A logic "0" is between ground and 0.3 volts, and a logic "1" is between 2.0 volts and V_{DD} . The switching threshold is typically 0.75 volts. If unused, this pin must be connected to ground or V_{DD} , and not left open.

When $V_{CC} = 0$ (on-hook condition), and a voltage in the range of 0 to 6.0 volts is applied to $\overline{\text{Mute}}$, a leakage current of (typically) 0.02 μA will flow if $\overline{\text{Mute}}$ and V_{DD} are at the same voltage. If $\overline{\text{Mute}}$ is at a voltage different from V_{DD} , current will flow through the internal resistors and/or diode. If a memory sustaining battery is used in conjunction with an external dialer, and is configured so that its voltage appears at V_{DD} , $\overline{\text{Mute}}$ must be allowed to float or be connected to V_{DD} — otherwise current (in the range of 100–200 μA) will flow from the battery through V_{DD} and out of the $\overline{\text{Mute}}$ pin.

When $V_{CC} = 0$, and a voltage in the range of 0 to 6.0 volts is applied to MS, a leakage current of (typically) 0.01 μA will result as long as $\overline{\text{Mute}}$ is open or at V_{DD} . If $\overline{\text{Mute}}$ is at ground, an equivalent 3.5 k Ω parasitic resistance exists between MS and $\overline{\text{Mute}}$.

When $V_{CC} < 1.5$ volts, the Mute function is non-existent and the MC34114 will be in the speech mode.

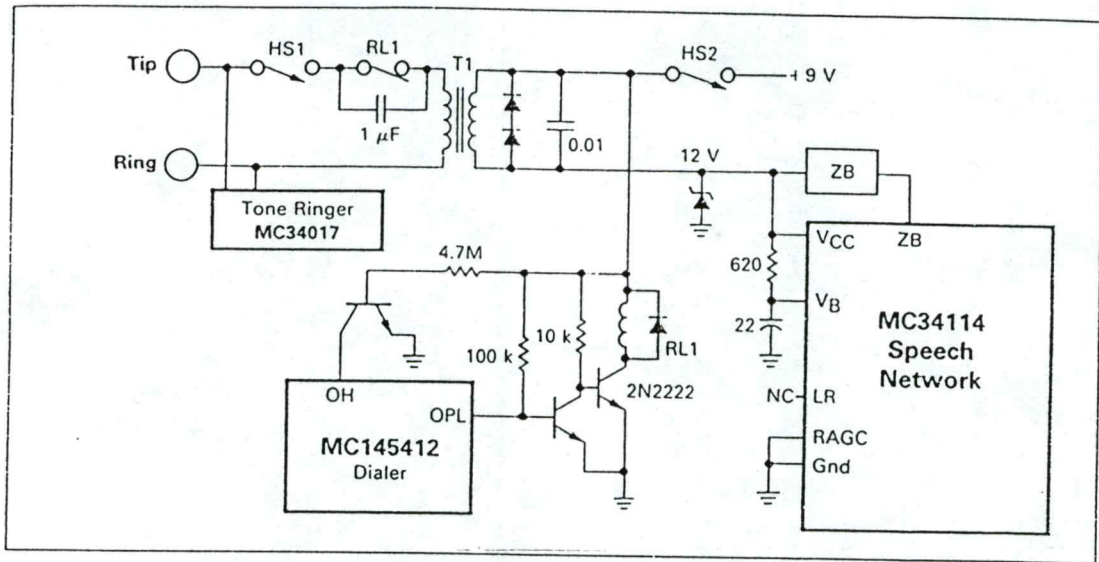
APPLICATIONS INFORMATION

DESIGN SEQUENCE

The design sequence for incorporating the MC34114 into most applications will be as follows (refer to Figure 1):

- 1) Decide on the AC terminating impedance (return loss), and select R1 to be that value (typically 600 Ω). If there are other devices powered by the loop current which will be in parallel with R1 (such as a pulse dialing circuit) which lower the effective terminating impedance, R1 can be increased accordingly.
- 2) Select the maximum value of R12 which will provide the minimum required transmit and receive signals according to Figures 8 and 9.
- 3) Select the sum (R2 + R3) to provide the desired Tip and Ring DC voltage versus loop current characteristics. Then select R2 for the desired starting point of the loop length compensation. The compensation begins when the voltage across R3 is ≈ 0.4 volt.
- 4) Select R4 and R5 (they should be equal) to properly bias the microphone. The microphone's manufacturer should be consulted for this information.
- 5) Select R6 for proper transmit gain. See equation 1. Then select C5 to provide low frequency roll-off. Adjust R6 as required.
- 6) Select the ZB network (R9, R10, C9) to provide sidetone cancellation. See equation 5.
- 7) Select R8 for proper receive gain (depends on the specific receiver used). See equation 2. Then select C8 to provide low frequency roll-off. Adjust R8 as required.

FIGURE 28 — USE WITH A POWER SUPPLY



A transformer (T1) is required at Tip and Ring to provide the isolation required between the phone line and any AC power and earth ground. (The transformer must be rated to handle the loop current.) Since the loop current does not pass through the MC34114, loop length compensation is not possible in this circuit, and pin 2 (LR) is left open. The RAGC pin is grounded, setting the transmit and receive gains to their maximum.

The transformer provides a path for the power supply to reach the MC34114, while simultaneously coupling speech signals between Tip/Ring and the MC34114. The two series diodes provide transient clamping, as does the 12 volt zener diode. Although a +9.0 volt supply is shown, other voltages can be used as long as the MC34114 receives between 4.0 and 10.5 volts at V_{CC}.

Because of the isolation requirement, the MC145412 dialer requires a relay (RL1) to break the loop current during pulse dialing. The relay is normally off, and energized only during pulse dialing. The 1.0 μF capacitor (rated 250 volts min., NPO) across the relay contacts helps absorb transients generated during pulse dialing.

ALTERNATE MICROPHONE CONFIGURATIONS

The MC34114 is designed for use with electret microphones, although dynamic microphones can be used. Carbon microphones are not recommended as they generally require considerable bias current which is not available from the MC34114's regulators.

When using an electret microphone which requires more than 1.7 volts, but less than 1.0 mA for bias, it can be biased from V_{DD} instead.

If a three terminal electret microphone (containing an internal biasing resistor or equivalent) is used, it should be connected to the MC34114 as shown in Figure 29. The common mode rejection of the balanced circuit shown in Figure 1 is not present however, and care should be taken to prevent unwanted signals (radio sta-

tions, noise, etc.) from being picked up by the microphone leads.

FIGURE 29 — 3-TERMINAL MICROPHONE

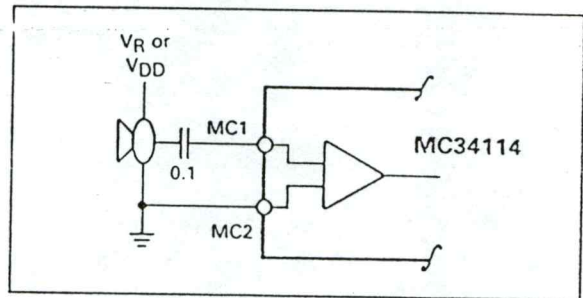
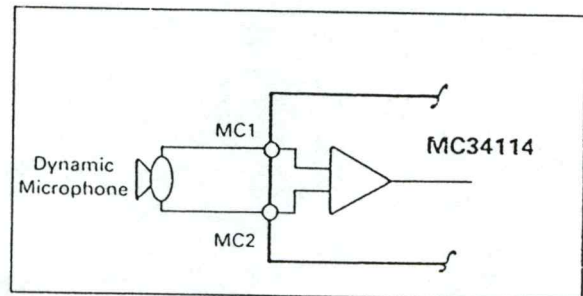


Figure 30 indicates use of the MC34114 with a dynamic microphone. The output level of dynamic microphones is generally lower than electret units, and so the gain of the transmit path will have to be adjusted accordingly.

FIGURE 30 — DYNAMIC MICROPHONE



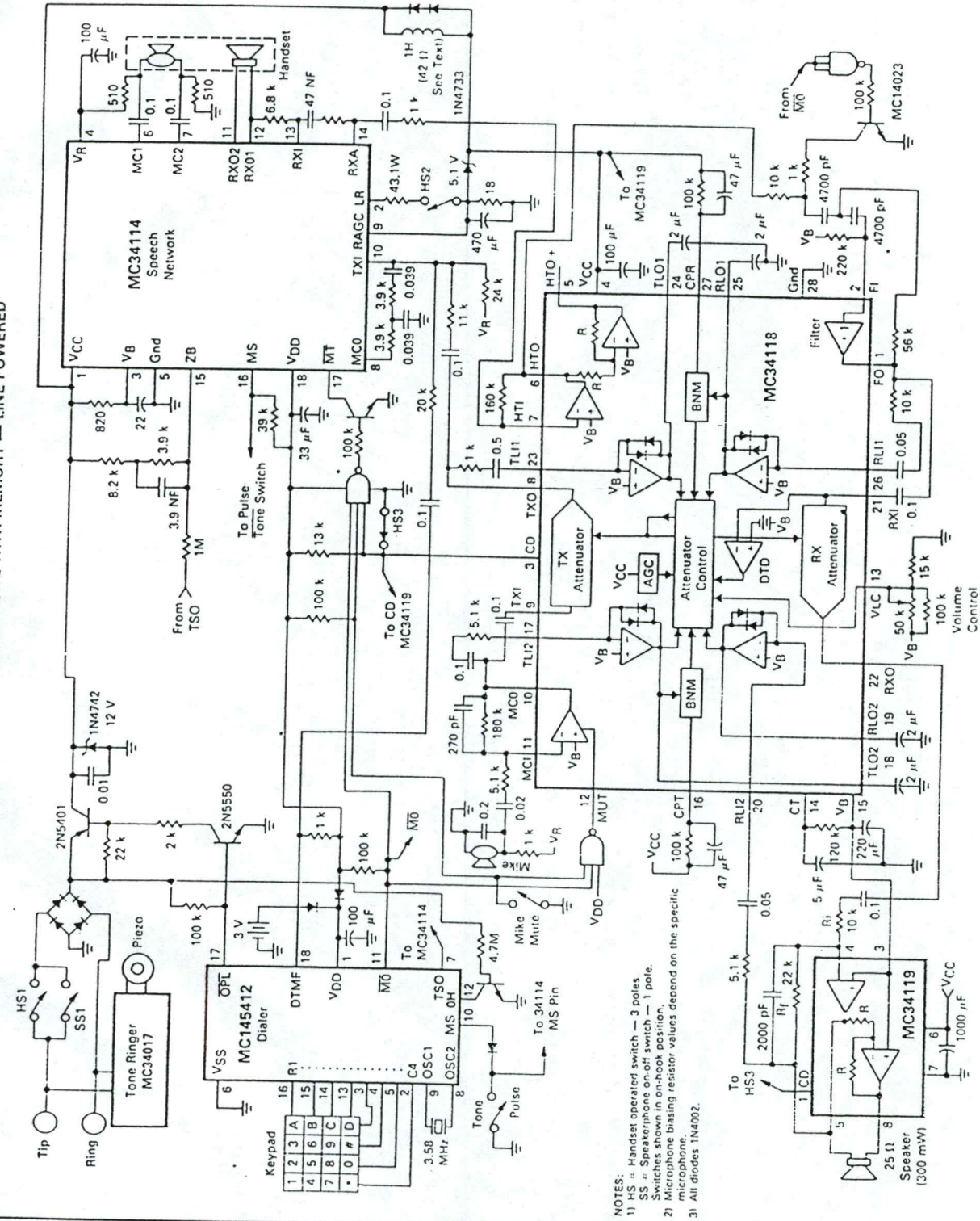
Low frequency roll-off for the receive signals can be set by adjusting C8, and high frequency roll-off can be set by placing a capacitor across R8.

(Mike mute) function, and line length compensation for both handset and speakerphone operation. Figure 32 uses the MC34018 speakerphone IC, while Figure 33 uses the MC34118 speakerphone IC. Application notes AN1002 and AN1004 (for Figure 32 and Figure 33 respectively) should be consulted for design and performance details, as well as variations of these two circuits.

FEATUREPHONE DESIGN

Figure 32 and Figure 33 depict two featurephone circuits which include the following functions: selectable handset and speakerphone operation, ten number memory pulse/tone dialer, tone ringer, a "Privacy"

FIGURE 33 — PULSE/TONE FEATUREPHONE WITH MEMORY — LINE POWERED



- NOTES:
 1) HS = Handset operated switch — 3 poles.
 2) SS = Speakerphone on/off switch — 1 pole.
 Switches shown in on-hook position.
 3) Microphone biasing resistor values depend on the specific microphone.
 4) All diodes 1N4002.

EMI SUSCEPTIBILITY

Potential EMI susceptibility problems should be addressed early in the electrical and mechanical design of the telephone. EMI may enter the circuit through Tip and Ring, through the microphone wiring, or through any of the PC board traces. The most sensitive pins on the MC34114 are the microphone amplifier inputs (MC1, MC2). Board traces to these pins should be kept short, and the associated components should preferably be

physically close to the pins. TXI, RXI, and ZB should also be considered sensitive to EMI signals.

The microphone wires within the handset cord can act as an antenna, and pick up nearby radio stations. If this is a problem in the final design, adding RF filters (consisting of ferrite beads and small (0.001 μ F) ceramic capacitors) to the PC board where the wires attach to the board can generally reduce the problem.

SUGGESTED VENDORS**Microphones**

Primo Microphones Inc.
Bensenville, Ill. 60106
312-595-1022
Model EM-60

MURA Corp.
Westbury, N.Y. 11590
516-935-3640
Model EC-983-7

Hosiden America Corp.
Elk Grove Village, Ill. 60007
312-981-1144
Model KUC2123

Telecom Transformers

Microtran Co., Inc.
Valley Stream, N.Y. 11528
516-561-6050
Ask for Applications
Bulletin F232

Stancor Products
Logansport, IN 46947
219-722-2244

PREM Magnetics, Inc.
McHenry, Ill. 60050
815-385-2700

Onan Power/Electronics
Minneapolis, MN 55437
612-921-5600

Motorola Inc. does not endorse or warrant the suppliers referenced.

Compliance with FCC or other regulatory agencies of the circuits described herein is not implied or guaranteed by Motorola Inc.